

ΚΩΝ)ΝΟΥ ΤΡ. ΣΟΛΔΑΤΟΥ
ΦΥΣΙΚΟΥ ΚΑΙ ΧΗΜΙΚΟΥ

ΟΙ
ΗΦΑΙΣΤΙΔΑΙ ΤΗΣ ΑΛΜΩΠΙΑΣ

ΔΙΑΤΡΙΒΗ ΕΠΙ ΔΙΔΑΚΤΟΡΙΑΙ
ΥΠΟΒΛΗΘΕΙΣΑ ΕΙΣ ΤΗΝ ΦΥΣΙΚΟΜΑΘΗΜΑΤΙΚΗΝ ΣΧΟΛΗΝ
ΤΟΥ ΠΑΝΕΠΙΣΤΗΜΙΟΥ ΘΕΣΣΑΛΟΝΙΚΗΣ

ΘΕΣΣΑΛΟΝΙΚΗ

1955

ΚΩΝ)ΝΟΥ ΤΡ. ΣΟΛΔΑΤΟΥ
ΦΥΣΙΚΟΥ ΚΑΙ ΧΗΜΙΚΟΥ

ΟΙ

ΗΦΑΙΣΤΙΑΙ ΤΗΣ ΑΛΜΩΠΙΑΣ

(Μετά 6 πινάκων και ένδος χάρτου έκτός κειμένου)

ΕΙΓ. ΤΟΥ ΣΕΒΑΣΤΟΝ ΝΟΥ ΚΑΣΙΜΟΥ

Κ. ΠΕΤΡΟΝ ΚΟΚΚΟΡΗ

ΜΕΤΕΠΙΧΩΣΙΟΥΝΗ

ΑΦΙΕΡΟΥΤΑΙ

ΔΙΑΤΡΙΒΗ ΕΠΙ ΔΙΔΑΚΤΟΡΙΑΙ
ΥΠΟΒΛΗΘΕΙΣΑ ΕΙΣ ΤΗΝ ΦΥΣΙΚΟΜΑΘΗΜΑΤΙΚΗΝ ΣΧΟΛΗΝ
ΤΟΥ ΠΑΝΕΠΙΣΤΗΜΙΟΥ ΘΕΣΣΑΛΟΝΙΚΗΣ

Είναι έπος μελαγχολικός επικινδυνός επινοεύεται Η^η
θεατρική παράσταση της αρχαίας θεατρικής τέχνης
ΘΕΣΣΑΛΟΝΙΚΗ
1955

«Η ξγκρισις διδακτορικης διατριβης ήπο της Φυσικομαθηματικης Σχολης του Πανεπιστημιου Θεσσαλονίκης δεν υποδηλοι και άποδοχην των γνωμων του συγγραφέως».

στάθμην θυρανθρωπίας και σταλακτίδες θέρμας (100), (610), (310) και
τούτο το βασικό είναι έπιστημα θηραρεος. Έτσι μεριήν στάθμην
θυρανθρωπίκου πετρώντος ή αρχαιοτητή θερμότητος μάζα παρου
σίζετ ποικίλων χρονισμών από λεικοτεφρού θέρμα καστανομέλανος.

Ήδη τοδι κολατικού μακροσκοπού εξετάσεις παρέχει τα σκό-
λουδια στουχεία: Οι δαστροί είναι κυρίως φαγοκρύσταλλοι πλαγιο-
κλάστεν και στοραβικούς σαντούνεος, συνήθως Ιδιόμορφοι. Έντονοι
παρουσιάζονται και τιμές δαστρού με σχήμα δικανδύετον συνε-
κάρι μαχατικής διαδρομούς. Τα πλαγιόκλαστα είναι διδύμους και
πολυθύρων δομής, σπανικές συνάντενεναι δελθυντικούς κρυστάλλους, πλε-
ριθύουν έγκλεισματος άσλαρ, βιστίτου, καραστήληρος, άπατρος και
στα γιαθετικά ζιρκόνιος. Είναι Σφαλέρος θερμής με φασικότερον τὸν
κυρίως τοδι κρυστάλλου, παρατηρεται δυση πολλός το διανύσενον
τῆς οντότητος τῶν ζωνῶν ως πορός τὴν περιεκτικότητα εἰς μνεοθ-
ηρά. Όποιο αυτούς ο πυρήνας είναι τῷρες περίκοντρος πορείας με
διακόλουν εύρισκομέναν πληντούν τῆς έξοπλομής στράβως τοδι κρο-
στάλλου, ένθα τοπέσθησαν τοποθετημένοι μέρους πλαγιοθ-
κλάστεν ή πλευράς

ΕΙΣ ΤΟΝ ΣΕΒΑΣΤΟΝ ΜΟΥ ΚΑΘΗΓΗΤΗΝ

κ. ΠΕΤΡΟΝ ΚΟΚΚΟΡΟΝ

ΜΕ ΕΥΓΝΩΜΟΣΥΝΗΝ

ΑΦΙΕΡΟΥΤΑΙ

Παρέχουμεν κατοτερες φωτογραφίες πλαγιοθκλάστεν γεω-
μηνας ήδη τῆς περιστρέψτου τραπέζης Fedorov, βάσει τῶν δυοίσιν
καθαρίσθη ἢ εἰς μνεοθηρά περιεκτικότητος κατόπιν. Διὰ τὸν προσδιο-
ριζόμον αὐτὸν έχρησιδοκοινῆσαν ἐκ τῶν καρπούκων τῶν σχετικῶν
διστυρωμάτων εἰς θυράν. Θερμοκρασίαν, αἱ δυοίσι
πολλήνες παραποτάσιμη σπινθετικής σποκάλεως ὅπος τὰς ιδιότη-
ταν εἴη χρήσει. (20).

Ζωνάνης θέρμαστης

α) Πυρήνη τοδι κρυστάλλου

Τηγάνια	N=106	H=80	Ψ=K=30	O.A.
	N=15	H=100	X	2 V _z =80°
Τρίποντα	N=29	H=45	Ψ=K=34	O.A.
	N=209	H=200	X	2 V _z =78°
	ΨΑΨ= 103°, 47°, Aη			
	ΧΛΧ= 193°, 47°, Aη			

β) Περιφέρεια κρυστάλλου

Τηγάνια	N=91	H=160	Ψ=K=39	O.A.
	N=356	H=110	X	2 V _z =80°

ΕΙΣΑΓΩΓΗ

Κατά τὸν τριτογενῆ αἰῶνα ἔξεδηλώθη εἰς τὴν Βαλκανικὴν Χερσόνησον καὶ εἰς τὴν Αίγυπτον ἐντονος ἡφαιστεία δράσις, συνεπείᾳ τῆς ὁποίας σημαντικαὶ ποσότητες μάγματος προερχόμεναι ἀπὸ βαθύτερα σημεῖα τοῦ στερεοῦ φλοιοῦ τῆς Γῆς ἔφθασαν μέχρι τῆς ἐπιφανείας αὐτῆς καλύψασι μεγάλας ἐκτάσεις μὲ τὰ προϊόντα τῶν ἐκρήξεων τῶν, λάβας καὶ ἡφαιστείους τόφους. Ἡ ζωηρὰ αὕτη ἐνδογενῆς δραστηριότης ὑπῆρξεν ἀποτέλεσμα τῶν μεγάλων τεκτονικῶν μετακινήσεων, τὰς ὁποίας ὑπέστη τὸ τμῆμα τούτο τῆς γῆς κατὰ τὰς διαφόρους φάσεις τῆς ἀλπικῆς πτυχώσεως. Αἱ τεκτονικαὶ αὕται μετακινήσεις εἶχον ώς συνέπειαν τὸν σχηματισμὸν ἐντὸς τοῦ στερεοῦ φλοιοῦ πολλαπλῶν ρηγμάτων, ἅτινα ἔχρησιμευσαν ώς πόροι ἀνδρὸς τῶν ὑποκειμένων περιφερειακῶν μαγματικῶν μαζῶν. Τὰ κέντρα τῶν ἡφαιστείων ἐκρήξεων περιορίζονται εἰς τὰς μεσαίας ζώνας ὁρογενέσεως τῆς Βαλκανικῆς, ἥτοι εἰς τὸ ἐσωτερικὸν τμῆμα τῶν Βαλκανίων, τὰ Καρπάθια, τὴν Ροδόπην, τὴν ζώνην τοῦ Ἀξιοῦ καὶ εἰς τὴν Αίγυπτον εἰς τὸ ἐσωτερικὸν τμῆμα τοῦ δειναροταυρικοῦ τόξου.

‘Η ἐκδήλωσις τῆς ἡφαιστείου δράσεως ἐντὸς τῶν ἀνωτέρω περιοχῶν ἥρχισε κατὰ τὰς ἀρχὰς τοῦ Ἡώκαίνου, ἵσως καὶ ἐνωρίτερον, συνεχίζεται δὲ εἰς τινα κέντρα εἰς τὴν Νότιον Αίγυπτον μέχρι καὶ τῆς συγχρόνου ἐποχῆς (ἡφαιστείον Σαντορίνης), ἐνῷ ἀλλαχοῦ ώς τελευταῖαι ἐκδήλωσεις τῆς φθινούσης ἡφαιστειακῆς ἐνεργείας ἀπομένουν θερμαὶ καὶ μεταλλικαὶ πηγαί, θειωνιαὶ καὶ μοφέτται.

Εἰς τὴν Ἐλλάδα ἐμφανίζονται πολυάριθμα ἡφαιστειακὰ κέντρα τριτογενοῦς ἢ τεταρτογενοῦς ἡλικίας εἰς πλείστας τῶν νήσων τοῦ Αἰγαίου καὶ ἐκ τῆς Βορείου Ἡπειρωτικῆς Ἐλλάδος εἰς τὴν Μακεδονίαν καὶ τὴν Θράκην. ‘Η διανομή των καθορίζεται ἀπὸ τὴν γεωλογικὴν ἴστορίαν τῶν ἐλληνικῶν χωρῶν κατὰ τρόπον χαρακτηριστικὸν τῆς στενῆς σχέσεως, ἡ δποία συνδέει τὴν ἡφαιστειότητα πρὸς τὰ τεκτονικὰ φαινόμενα. Τὰ τμήματα ἐκεῖνα τῆς Ἐλλάδος τὰ ὁποῖα εύρισκονται ἐπὶ τοῦ δειναροταυρικοῦ τόξου, Ἡπειρος, Στερεά Ἐλλάς, Πελοπόννησος, Κρήτη, Κάσος, Κάρπαθος, Ρόδος, στερούνται

παντελῶς ἡφαιστειογενῶν πετρωμάτων. Οὐδαμού τῶν δειναροταυρικῶν πτυχῶν ἔξεδηλώθη ἡφαιστεία δρᾶσις. Αὕτη περιορίζεται ἐν Ἐλλάδι εἰς τὴν ἐνδοχώραν, τὴν δποίαν περιβάλλει τὸ τόξον τοῦτο. Οὕτως εἰς τὸ Νότιον Αἴγαλον μία σειρὰ ἡφαιστειακῶν κέντρων διατάσσεται εἰς καμπύλην ζώνην δριζομένην ἀπὸ τὸ κοῖλον ἐσωτερικὸν τοῦ δειναροταυρικοῦ τόξου κατὰ τὰ δριά του πρὸς τὰ κράσπεδα τῶν κρυσταλλοπαγῶν μαζῶν τῶν Κυκλάδων καὶ τῆς Καρίας, ἔνθα τεκτονικὰ ρήγματα καὶ μεταπτώσεις παρέσχον εύνοϊκάς συνθήκας πρὸς ἀνέξιδον τοῦ μάγματος. Ἀνάλογοι συνθῆκαι δημιουργηθεῖσαι ἀπὸ τὰ τεκτονικὰ φαινόμενα, τὰ δποῖα προεκάλεσαν τὸν τεμαχισμὸν καὶ τὴν καταβύθισιν τῆς Αἴγητδος, ἔδωσαν γένεσιν ἡφαιστειακῶν κέντρων εἰς νήσους τοῦ Αἴγαλου καὶ εἰς τὴν Μακεδονίαν καὶ τὴν Θράκην.

Ἐκ τῶν ἡφαιστειτῶν τῶν Ἐλληνικῶν Χωρῶν αἱ ἐμφανίσεις τῶν νήσων τοῦ κεντρικοῦ καὶ νοτίου Αἴγαλου, μικραὶ ὡς τὸ πολὺ εἰς ἔκτασιν καὶ μεμονωμέναι, παρουσιάζουν ποικιλίαν πετρογραφικῶν τύπων ἀπὸ τῶν μᾶλλον δξίνων ρυσολίθων μέχρι καὶ τῶν βασικῶν βασαλτῶν. Πολὺ σημαντικῶτεραι εἰς ἔκτασιν εἶναι αἱ ἡφαιστειοὶ ἐμφανίσεις τῶν νήσων τοῦ Β. Αἴγαλου καὶ ίδιᾳ τῆς Μυτιλήνης. “Ολα σχεδόν τὰ ἡφαιστεια ταῦτα κέντρα ἐνωρὶς ἡοευνήθησαν κατὰ τὸ πλεῖστον ὑπὸ ἡμετέρων καὶ ξένων ἐρευνητῶν. Ἡ κατὰ τὰς τελευταίας δεκαετηρίδας ἐγκαινιασθεῖσα πετροχημικὴ ἀνάλυσις τῶν μαγμάτων ἀνεζωγόνησε τὸ ἐνδιαφέρον τῶν πετρογράφων πρὸς συμπλήρωσιν τῆς μελέτης τῶν ἐκρηκτιγενῶν σχηματισμῶν τῆς πατρίδος μας, δι’ ἐφαρμογῆς τῶν νεωτέρων μεθόδων ἐρεύνης (4, 5, 9, 11, 14). Αἱ λάβαι τοῦ βορείου τμήματος τῆς ἡπειρωτικῆς Ἐλλάδος, αἱ τῆς Μακεδονίας καὶ τῆς Θράκης, πολὺ σημαντικῶτεραι εἰς ἔκτασιν ἀπὸ τὰς τῶν λοιπῶν τμημάτων αὐτῆς, μέχρι τινὸς ἀτελῶς μόνον εἶχον μελετηθῆ. Πλήρη γεωλογικὴν καὶ πετρογραφικὴν μελέτην ἐπὶ μέρους τῶν λαβῶν τοῦ νομοῦ Ἐβρου ἐδημοσίευσεν ὁ Λιάτσικας (11). Δύο ἄλλαι σημαντικῆς ἔκτάσεως ἡφαιστειογενεῖς περιοχαὶ ἀπαντῶσιν εἰς τὴν Ἀνατολικὴν Μακεδονίαν εἰς τὸν νομὸν Δράμας κατὰ τὰ σύνορα πρὸς τὴν Βουλγαρίαν καὶ εἰς τὴν δρεινὴν περιοχὴν τῆς Ἀλμωπίας, κατὰ τὰ σύνορα πρὸς τὴν Γιουγκοσλαβίαν. Τῶν περιοχῶν τούτων τμῆμα περιλαμβάνεται ἐντὸς τοῦ ἐδάφους τῶν γειτονικῶν κρατῶν.

Τὸ τμῆμα τῆς ἡφαιστείου περιοχῆς τῆς Ἀλμωπίας τὸ κείμενον ἐντὸς τοῦ γιουγκοσλαβικοῦ ἐδάφους ἐμελετήθη ἀπὸ πετρογραφικῆς ἀπόψεως λεπτομερῶς ὑπὸ τοῦ Tajder (17, 18). Ἐπὶ τῆς συστάσεως τῶν ἡφαιστειτῶν τῶν περιλαμβανομένων ἐντὸς τοῦ ἐλλη-

νικού ἔδαφους ἔξαιρουμένων γενικῆς φύσεως πληροφοριῶν παρεχομένων ύπό τοῦ Cvičic (2) καὶ μεταγενέστερον ύπό τοῦ Kossamat (8), οὐδεμία εἰδικὴ μελέτη ἔχει μέχρι τοῦδε δημοσιευθῆ. Τῆς περιοχῆς ταύτης τὴν πετρογραφικὴν μελέτην μοὶ ύπέδειξεν ὁ Καθηγητὴς κ. Π. Κόκκορος ὡς θέμα τῆς ἐπὶ διδακτορίᾳ διατριβῆς μου. 'Η πρὸς ἔκτελεσιν ἔργασία συνίστατο εἰς τὴν δι' ἐπιτοπίου ἔξετάσεως λεπτομερῆ γεωλογικήν χαρτογράφησιν τῶν ἐκρηκτιγενῶν ἐμφανίσεων καὶ τὴν ἔργαστηριακὴν ἔξετασιν τῆς ὀρυκτολογικῆς καὶ χημικῆς συστάσεως δειγμάτων τῶν ἥφαιστιτῶν τούτων πρὸς καθορισμὸν τῶν πετρογραφικῶν τύπων, εἰς τοὺς διποίους ύπάγονται. Τὸ πρῶτον μέρος τῆς ἔργασίας, τὸ τῆς ὑπαιθρίου ἔξετάσεως, ἔξετελέσθη κατὰ τὸ Θέρος τοῦ 1953. Δεδομένου δὲτι ἡ ὀρεινή, ἐκτάκτως ἀνωμάλου μορφολογίας, δύσβατος καὶ δασώδης αὕτη περιοχὴ κεῖται μακράν κατωκημένων χώρων, προσφάτως δὲ ἀπετέλει κέντρον πολεμικῶν ἐπιχειρήσεων μὲν ὑπονομευμένους διὰ ναρκῶν χώρους, θάτο διὰ τοὺς ἀνωτέρω λόγους ἀπολύτως ἀπρόσιτος εἰς τοιαύτην ἔρευναν ἄνευ τῆς πολυτίμου συμπαραστάσεως τῶν Στρατιωτικῶν Ἀρχῶν, αἱ διποίαι μοὶ παρέσχον εὐγενῶς καὶ προθύμως πᾶσαν δυνατὴν συνδρομὴν διὰ τὴν ἔκτελεσιν τοῦ ἔργου μου. Θεωρῶ ὑποχρέωσίν μου νὰ ἐκφράσω καὶ ἐντεῦθεν τὰς θερμοτάτας εὐχαριστίας μου τόσον πρὸς τὰς προϊσταμένας Στρατιωτικὰς Ἀρχάς, δύον καὶ πρὸς τοὺς ὅδηγούς τοὺς διποίους ἔθεσαν εἰς τὴν διάθεσίν μου καὶ οἱ διποίοι μὲ ὠδήγησαν δι' ἀσφαλῶν ὁδῶν κατὰ τὰς πυκνάς διαδρομάς, τὰς διποίας ἀπῆτησεν ἡ χαρτογράφησις, καὶ παντοιοτρόπως μὲ ἐβοήθησαν κατὰ τὴν συλλογὴν τοῦ ὄλικοῦ.

Τὴν γεωλογικὴν μελέτην ἡκολούθησε λεπτομερῆς μικροσκοπικὴ ἔξετασις μικροσκοπικῶν τομῶν ἐκ τῶν συλλεγέντων δειγμάτων καὶ ἡ ἔκτελεσις δέκα χημικῶν ἀναλύσεων ἀντιπροσωπευτικῶν τύπων τῶν ἥφαιστιτῶν τῆς ἐν λόγῳ περιοχῆς.

"Ολη ἡ ἔργασία ἐγένετο ἐν τῷ Ἑργαστηρίῳ Ὀρυκτολογίας καὶ Πετρογραφίας τοῦ Πανεπιστημίου Θεσσαλονίκης, διπου εύρισκεται κατατεθειμένη ἡ συλλογὴ τῶν πετρωμάτων καὶ ἡ σειρά τῶν μικροσκοπικῶν παρασκευασμάτων.

Καὶ ἐντεῦθεν θεωρῶ καθῆκον μου νὰ εὐχαριστήσω θερμῶς τὸν Καθηγητὴν κ. Π. Κόκκορον, ύπό τὴν καθοδήγησιν τοῦ διποίου ἐγένετο ἡ παροῦσα μελέτη.

'Εκφράζω ἐπίσης τὰς εὐχαριστίας μου πρὸς τὸν συνάδελφον κ. Παν. Ρεντζεπέρην, δοτις μὲ ἐβοήθησεν εἰς τὸ τεχνικὸν μέρος τῆς ἔργασίας μου.

πολεμώντα πόλεων της Ελλάδας και της Αιγαίου από την οποία προέρχεται η ονομασία της Καστελλής (8). Τα επόμενα χρόνια το έθνος αποτελείται από μικρές περιοχές που διατηρούνται από την ιδιοκτησία των κατοίκων. Η πόλη της Καστελλής στην οποία η ονομασία της πόλης παρατηρείται στην παραδοσιακή γλώσσα, ήταν γνωστή ως Καστελλή ή Καστελλάνη.

ΓΕΩΛΟΓΙΚΗ ΘΕΣΙΣ ΤΩΝ ΗΦΑΙΣΤΙΤΩΝ ΤΗΣ ΑΛΜΩΠΙΑΣ

Η πρός Β. τής Εδέσσης και τῶν Γιαννιτσῶν κειμένη κοιλάδας τῆς Αλμωπίας, καλούμενη ἀλλως κατὰ τὴν Βυζαντινὴν περίοδον Μογλενά καὶ ἐπὶ Τουρκοκρατίας γνωστὴ ὑπὸ τὸ ὄνομα Καρατζόβα ὁρίζεται ἀπὸ Βορρᾶ ἀπὸ ἐπίμηκες ὁρεινὸν συγκρότημα διευθύνσεως ΒΑ - ΝΔ, δπερ ἀποτόμως καὶ μὲ κλιτῦς κατὰ χώρους ἀσυνήθως ἀποκρήμνους ὑψοῦται ὑπὲρ τὴν μέσην στάθμην τῶν 150 μέτρων τῆς κοιλάδος εἰς ὅψη πολλάκις ὑπερβαίνοντα τὰς 2000 μ. Ἐντὸς τοῦ ὁρεινοῦ τούτου τμήματος, τὸ ὅποιον ἀποτελεῖ ρηξιγενὲς ἔξαρμα, περιλαμβάνεται ἐκτεταμένη κλειστὴ ἡφαιστειογενῆς περιοχὴ μεταξὺ τῶν κορυφῶν Ντομπροπόλεως, ὑψομέτρου 1889 μ. ἀπὸ Δ. καὶ Πόρτας, ὑψομέτρου 2181 μ. ἀπὸ Α. ἐπιφανειακῆς ἐκτάσεως περίπου 200 τετρ. χιλιμ. Διὰ τῆς περιοχῆς αὐτῆς διέρχεται ἡ μεταξὺ Γιουγκοσλαβίας καὶ Ἑλλάδος ὁροθετικὴ γραμμὴ διχάζουσα αὐτὴν εἰς δύο ἴσα περίπου εἰς ἕκτασιν τμήματα.

Η λεπτομερὴς γεωλογικὴ καὶ πετρογραφικὴ ἔρευνα τῶν ἡφαιστιτῶν τῆς Ἑλληνικῆς περιοχῆς ἀποτελεῖ τὸ θέμα τῆς παρούσης ἔργας. Προτοῦ εἰσέλθωμεν εἰς τὴν λεπτομερῆ ἔξετασιν τῶν ἔμφαντεσων αὐτῶν εἶναι ἀνάγκη νὰ προτάξωμεν εἰς γενικάς γραμμὰς βραχεῖαν ἐπισκόπησιν τῆς γεωλογικῆς ιστορίας καὶ κατασκευῆς τῆς περιοχῆς αὐτῆς, δπως τὴν παρέχουν αἱ γεωλογικαὶ ἔρευναι τῶν Cvijic (2), Kossmat (8) καὶ Osswald (13).

Η περιοχὴ αὐτὴ ἀνήκει εἰς τὴν γεωλογικὴν ζώνην τοῦ Ἀξιοῦ, τὴν διόποιαν διέγνωσε πρῶτος ὁ Kossmat ὡς ἀποτελούσαν πετρογραφικῶς καὶ τεκτονικῶς ἰδίαν γεωλογικὴν ἐνότητα, χωρίζουσαν τὴν πρὸς Α. αὐτῆς κρυσταλλοπαγὴν μᾶζαν τῆς Ροδόπης ἀπὸ τὴν πρὸς δυσμάς αὐτῆς κρυσταλλοπαγὴν μᾶζαν τῶν ὁρέων τῆς Δ. Μακεδονίας. Η ζώνη τοῦ Ἀξιοῦ κληθεῖσα οὕτω, διότι ἡ κοίτη τοῦ ὁμώνυμου ποταμοῦ κινεῖται ἐντὸς αὐτῆς, ἔχει μορφὴν λωρίδος εὔρους ποικιλολογίας ἀπὸ 40 - 70 χλμ. ἀρχομένης ἀπὸ τῆς βορείως τῶν Σκοπίων περιοχῆς, κατερχομένης μὲ διεύθυνσιν ΒΑ - ΝΔ μέχρι τοῦ Σαρωνικοῦ κόλπου καὶ συνεχιζομένης καὶ ἐντὸς τῆς Αιγαίου. Τὰ ἀνατολικὰ αὐτῆς ὅρια συναντῶνται εἰς τὴν Χαλκιδικὴν κατὰ τὴν Χερσόνησον τῆς Σιθωνίας. Εἰς τὴν σύστασιν τῆς ζώνης αὐτῆς μετέ-

χουν μεσοζωϊκά καὶ παλαιοζωϊκά στρώματα καὶ κρυσταλλοπαγές ύπόβαθρον ἀρχαιότερον αὐτῶν καὶ ἐν μέρει διαφέρον τὴν σύστασιν ἀπὸ τὸ κρυσταλλοπαγές σύστημα τῆς Ροδόπης. Εἰς πολλὰ τμήματα τῆς ζώνης ἔμφαντονται ἐπίσης ἐκτεταμέναι ἐπιφάνειαι βασικῶν ἐκρηξιγενῶν σχηματισμῶν μεσοζωϊκῆς ἡλικίας. Εἰς τὴν ζώνην αὐτὴν διέκρινε μεταγενεστέρως ὁ Osswald τρεῖς κλάδους α) τὸν κλάδον τῆς Δοϊράνης, τὸν ἀρχαιότερον καὶ κυριώτερον, δστις διήκει καθ' ὅλον τὸ μῆκος τῆς ζώνης, β) τὸν κλάδον τοῦ Ἐριγάνου, δστις ἀρχόμενος ΒΔ τῶν Σκοπίων ἀπὸ κοινοῦ μὲ τὸν κλάδον τῆς Δοϊράνης χωρίζεται ἀπ' αὐτοῦ, ἔξασθενεῖ νοτίως τῶν Μογλενῶν καὶ ἔξαφανίζεται εἰς τὸ Βέρμιον καὶ γ) τὸν κλάδον τοῦ Πατίκου ἐκτεινόμενον μεταξὺ τῶν δύο ἄλλων μὲ διεύθυνσιν ΒΑ - ΝΔ καὶ συμβάλλοντα πρὸς τὸν κλάδον τοῦ Ἐριγάνου παρὰ τὴν "Ἐδεσσαν. Ἡ ἡφαιστειογενὴς περιοχὴ τῆς Ἀλμωπίας διακόπτει ἐγκαρσίως τὸν κλάδον τοῦ Ἐριγάνου.

"Ἡ ζώνη τοῦ Ἀξιοῦ ὑπῆρξε γεωσύκλινον σχηματισθὲν μεταξὺ τῶν δύο κρυσταλλοπαγῶν μαζῶν κατὰ τὸ Πέρμιον ἢ τὸ κάτω Τριαδικόν. Ἡ πρώτη ἀσθενῆς ἐφαπτομενικὴ κίνησις ἔξεδηλώθη εἰς τὰ ίζηματα τοῦ γεωσυγκλίνου τούτου κατὰ τὸ μέσον Κρητιδικόν, ἢ σημαντικωτέρα δύμας καὶ τελικὴ ἐφαπτομενικὴ κίνησις, ἢ ὅποια καὶ καθώρισε τὴν τεκτονικὴν μορφὴν τῆς Μακεδονίας συμπίπτει μὲ τὸ Ἡώκαινον. Συνεπειὰ αὐτῆς τὰ ίζηματα τοῦ γεωσυγκλίνου συμπτυχθέντα μεταξὺ τῶν ἐκατέρωθεν αὐτοῦ κινουμένων πρὸς ἀλλήλας κρυσταλλοπαγῶν μαζῶν ὑπέστησαν ἔντονον ἀναλεπισμόν, δ ὅποιος καὶ χαρακτηρίζει τὴν τεκτονικὴν τῶν στρωμάτων τῆς ζώνης αὐτῆς. Εἰς τὴν ὑπὸ μελέτην περιοχὴν νοτίως τοῦ ἡφαιστειογενοῦς τμήματος τὰ στρώματα ἀποτελοῦνται κατὰ τὰ δυτικὰ $\frac{1}{2}$, ἀπὸ σχηματισμούς τοῦ ἀλγαγκίου ἀναλεπισμένους, μεταξὺ τῶν ὅποιων παρεμβάλλονται παλαιοζωϊκοὶ σχιστόλιθοι, φυλλίται καὶ σερπεντίναι καὶ κατὰ τὸ ἀνατολικόν $\frac{1}{2}$, ἀπὸ σερπεντίνην, φυλλίτην καὶ λέπη κρητιδικοῦ ἀσβεστολίθου σχηματίζοντος εἰς τὸν ὀρεινὸν ὅγκον τοῦ Πινόβου τὸ ἄνω τμῆμα τοῦ δλου συστήματος λεπτῶν.

Κατὰ τὸ ἄνω δλιγύκαινον ἐπηκολούθησαν ἐντὸς τῆς περιοχῆς τῆς Ἀλμωπίας ἔντονοι διαταράξεις τοῦ στερεοῦ φλοιοῦ κατὰ μῆκος συστήματος βαθυτάτων ρηγμάτων διευθύνσεως ΒΑ - ΝΔ. Ἡ τεκτονικὴ αὕτη γραμμὴ διαταράξεων τῆς ὅποιας ἢ καταβολὴ ἀναγεται εἰς τὸ Ἡώκαινον δὲν ἔχει τοπικὴν σημασίαν, ἀλλ' ἐκδηλούται καὶ ἐφ' δλοκλήρου τῆς Βορείου Αἰγαίου μὲ ἄξονα κείμενον ἐπὶ τῆς γραμμῆς Β. Εύβοίας—Δαρδανελίων. Ἐντὸς τῆς πάχειας αὐτῆς ζώνης διαρρήξεων τῶν Μογλενῶν ἔξεδηλώθη ἡ ἡφαιστειος δρᾶσις,

τοῦ εἰς βάθος εύρισκομένου μάγματος εύρόντος διὰ μέσου τῶν σχηματισθειῶν ρωγμῶν πόρους ἀνόδου πρὸς τὴν ἐπιφάνειαν.³ Ανατολικῶς τοῦ Πινόβου εἰς τὴν περιοχὴν Γκρέδα ἐκτεταμένη φλεβικὴ μᾶζα ἡφαιστίου διασχίζει τοὺς παλαιοζωϊκούς σχιστολίθους μὲ διεύθυνσιν ΒΑ - ΝΔ. "Ετεραι ρωγμαὶ καταθρύπτουσι τὸν ρουδιστικὸν ἀσβεστόλιθον τοῦ Πινόβου εἰς πολλὰ τεμάχη μὲ τὴν αὐτὴν παράταξιν. Κατὰ ταῦτα αἱ ἔκρήξεις τῶν ἡφαιστείων τῆς Ἀλμωπίας εἶναι τὸ ἀποτέλεσμα τῶν τεκτονικῶν φαινομένων, διαρρήξεων καὶ κατακορύφων μετακινήσεων, αἱ δόποιαὶ συνέβησαν κατὰ τὸ ἄνω ὀλιγόκαινον. Ως ἡλικίαν τῶν ἔκρηξεων διακρίνεται τὸ κατώτατον μειόκαινον, ἐνῷ δὲ Cvičić δέχεται διτὶ ἥρχισαν ἐνωρίτερον κατὰ τὸ ἄνω ὀλιγόκαινον συνεχισθεῖσαι κατὰ διάφορα χρονικὰ διαστήματα καὶ εἰς τὸ Νεογενές.

"Ως ἔλεχθη ἀνωτέρω τὰ στρώματα τὰ δοποῖα ἀποτελοῦν τὴν περιοχὴν αὐτὴν εἶναι γνεύσιοι καὶ μάρμαρα τοῦ κρυσταλλοσχιστῶδους συστήματος, παλαιοζωϊκοὶ σχιστόλιθοι καὶ φυλλῖται, ἀσβεστόλιθος τοῦ ἄνω κρητιδικοῦ καὶ σερπεντίναι. Ἐντὸς τῆς ἡφαιστειογενοῦς περιοχῆς καλυπτομένης κατὰ τὸ πλεῖστον τῆς ἐκτάσεως τῆς ἀπὸ τόφους ἀνέχουσι θολοειδῆ κωνόμορφα ἢ φλεβοειδοῦς μορφῆς σώματα ἐκ συμπαγοῦς λάβας, 24 τὸν ἀριθμόν, ἐπισημαίνοντα τὰ κέντρα τῶν ἡφαιστείων ἔκρηξεων, ἀπογυμνωθέντα συνεπείᾳ τῆς διαβρώσεως ἀπὸ τὸ περιβλημα τῶν ἡφαιστείων ἀναβλημάτων, τὸ δοποῖον κατὰ τὸν σχηματισμὸν τῶν τὰ ἔκάλυπτεν.

Κατὰ τὴν γεωλογικὴν ἔξετασιν τῆς περιοχῆς οὐδαμοῦ αὐτῆς συνηντήσαμεν ἵζηματα νεώτερα τοῦ μεσοζωϊκοῦ εἰς ἐπαφὴν πρὸς τοὺς ἔκρηξιγενεῖς σχηματισμούς, ὥστε νὰ προκύψουν λεπτομερέστερα στοιχεῖα ἐπὶ τῆς ἡλικίας τῶν ἔκρηξεων. Εἰς τὸ ἐντὸς τοῦ γιουγκοσλαվικοῦ ἐδάφους τμῆμα ἔχουν παρατηρηθῆ ἐπισημαία ἀποθέματα τοῦ νεογενοῦς κροκάλαι ἡφαιστειογενοῦς ὅλικοῦ ταυτίζομένου πρὸς ἡφαιστίτας τῆς περιοχῆς αὐτῆς. (17, σ. 218) Τὰ εύρήματα αὐτὰ μαρτυροῦν διτὶ ἔκρήξεις συνέβησαν μέχρι καὶ τοῦ νεογενοῦς.

Μετὰ τὴν σύντομον αὐτὴν ἐπισκόπησιν τῆς γεωλογικῆς θέσεως τῶν ἡφαιστιτῶν τῆς Ἀλμωπίας εἰσερχόμεθα εἰς τὴν λεπτομερῆ πετρογραφικὴν ἔξετασιν αὐτῆς. Κατὰ τὴν ἐργαστηριασκὴν αὐτὴν ἔρευναν προετάξαμεν τὴν μακροσκοπικὴν ἔξετασιν καὶ κατόπιν τὴν μικροσκοπικὴν 80 παρασκευασμάτων ἐκ τῶν συλλεγέντων δειγμάτων. Βάσει τῶν πορισμάτων τῆς ἔξετάσεως αὐτῆς ἐγένετο ἡ ἐπιλογὴ 10 δειγμάτων ὡς ἀντιπροσωπευτικῶν τύπων τοῦ συνόλου τῶν ἡφαιστιτῶν, τῶν δοποίων ἔκριθη ἀπαραίτητον νὰ γίνῃ χημικὴ ὀνάλυσις

διὰ τὸν προσδιορισμὸν τῶν πετροχημικῶν σταθερῶν τῶν ὑπὸ μελέτην πετρωμάτων. Δεδομένου δτὶ προκειμένου περὶ ἡφαιστίτῶν ἡ μικροσκοπικὴ ἔξετασις μόνη δὲν εἶναι ἐπαρκής διὰ τὸν ἀκριβῆ προσδιορισμὸν τοῦ πετρώματος, οἱ εἰς τὴν ἀκολουθούσαν μικροσκοπικὴν περιγραφὴν ἀναφερόμενοι χαρακτηρισμοὶ τῶν πετρωμάτων ἀποτελοῦν κατὰ προσέγγισιν προσδιορισμόν. Οἱ δριστικός δίδεται βάσει τῶν ἀποτελεσμάτων τῆς πετροχημικῆς ἀναλύσεως, ἅτινα ἔκτιθενται εἰς τὸ τελευταῖον κεφάλαιον τῆς παρούσης ἐργασίας.

ΜΟΡΦΟΛΟΓΙΚΗ ΚΑΙ ΠΕΤΡΟΓΡΑΦΙΚΗ ΕΞΕΤΑΣΙΣ ΤΩΝ ΗΦΑΙΣΤΙΤΩΝ

Ἡ δλη ἡφαιστειογενῆς περιοχὴ τῆς Ἀλμωπίας (ἔλληνικὸν καὶ γιουγκοσλαվϊκὸν τμῆμα) ἔκτείνεται ἀπὸ ΒΑ πρὸς ΝΔ ὑπὸ μορφὴν λωρίδος μήκους 32 χιλμ. καὶ εὔρους 9 περίπου χιλμ. Ἐντὸς τοῦ ἔλληνικοῦ ἐδάφους ἡ λωρίς αὕτη κατὰ μῆκος αὐτῆς ἀπὸ ΝΔ πρὸς ΒΑ εύρισκεται εἰς ἐπαφὴν μὲ τὸ κρυσταλλοσχιστῶδες σύστημα, σερπεντίνας, φυλλίτας καὶ τὸν ἀσβεστολιθικὸν ὅγκον τοῦ Πινόβου, ὃστις ἀπομονώνει πρὸς ἀνατολὰς ἐντὸς τῆς ἔλληνικῆς περιοχῆς μικρὸν ἀριθμὸν κέντρων ἐκρήξεων ἀπὸ τὴν ὑπόλοιπον συνεχῆ ἡφαιστ. περιοχήν, ἐντὸς τῆς δοπίας συγκεντροῦται δι μεγαλύτερος ἀριθμὸς ἡφαιστειακῶν κέντρων (ἴδε προσηρτημένον γεωλογικὸν χάρτην τῆς περιοχῆς).

Προκειμένου νὰ προβῶμεν εἰς τὴν περιγραφὴν μιᾶς ἔκάστης τῶν ἡφαιστείων τούτων ἐμφανίσεων ἀρχίζομεν αὐτὴν ἀπὸ τῶν μεμονωμένων τούτων ἐκρηξιγενῶν κέντρων προχωροῦντες πρὸς δυσμάς διὰ νὰ καταλήξωμεν εἰς τὸ ΝΔ τμῆμα τῆς λωρίδος, ἔνθα παρουσιάζεται ἡ μεγαλυτέρα συγκέντρωσις διακρίτων ἡφαιστείων.

1. Περιοχὴ Ἀετοχωρίου—Γκολογκερέο—Πρισέκτα Γκρέδα

Ἡ περιοχὴ αὐτὴ ἀποτελεῖ τὸ ἀκραῖον ἀνατολικὸν τμῆμα τοῦ ἡφαιστειογενοῦς συγκροτήματος τοῦ ὄρεινοῦ ὅγκου τῆς Ἀλμωπίας. Ἐντὸς τοῦ κρυσταλλοσχιστῶδους ἐμφανίζονται ἡφαιστειογενεῖς μάζαι σημαντικῆς ἐκτάσεως, αἵτινες διαμορφώνουν τὰ ὑψώματα τοῦ Γκολογκερέο, Στραγανίτσε, Γέλιτε, καὶ βορειότερον κατὰ μῆκος τῶν συνόρων τὴν ὄροσειράν τῆς Πρισέκτα — Γκρέδα, ἡ δοπία πρὸς ΝΔ ἔρχεται εἰς ἐπαφὴν μὲ τοὺς ἀσβεστολιθους τοῦ Βίσοκ — Τίντ (ύψ. 2145 μ.), ὅπερ ἀποτελεῖ τὸ ΒΑ τμῆμα τοῦ ἀσβεστολιθικοῦ ὅγκου τοῦ Πινόβου ἐν συνεχείᾳ τοῦ 2046. Μεταξὺ τοῦ ύψ. 2145 καὶ

Γκολογκερέο τὰ κρυσταλλοσχιστώδη ἔχουν παράταξιν 0° και κλίσιν 20° B.

Ο ήφαιστίτης τοῦ Γκολογκερέο διασχίζει τοὺς φυλλίτας ύπό μορφὴν φλεβοειδοῦς μάζης, ἥτις ἔχει κατεύθυνσιν περίπου ἀπὸ Β πρὸς Ν και μῆκος 2,5 χιλ. φθάνουσα πρὸς ΝΑ μέχρι τοῦ "Οσσοτρέσνατ Κάμινε. Εἰς τὸ σημεῖον τοῦτο τὸ μάγμα εἰσχωρεῖ μεταξὺ τῶν φυλλίτῶν ύπὸ μορφὴν παχείας παρεισάκτου κοίτης. (Πιν. I εἰκ. 2). Ή ήφαιστεία ἐμφάνισις τοῦ Γέλιτε ἀνατολικῶς τοῦ Γκολογκερέο εἶναι δμοίως φλεβοειδοῦς μορφῆς μικροτέρας ἐκτάσεως, ἐνῷ ἡ τοῦ Στραγγανίτσε εἶναι ἡμιθολοειδοῦς σχήματος. Αἱ τρεῖς αὗται ἐμφανίσεις δὲν εἶναι ύπόλειμμα διαβρώσεως ἐνὸς κοιτάσματος, ἀλλ' ἀποτελοῦν διακρίτους ἀπ' ἀλλήλων σχηματισμούς.

Ἡ μεγαλυτέρα ὅμως ἐμφάνισις τῆς περιοχῆς αὐτῆς εἶναι ἡ τῆς Πρισέκτα - Γκρέδα κατὰ μῆκος τῶν συνόρων ύπὸ μορφὴν συμπαγοῦς φλεβοειδοῦς μάζης μήκους 4 χιλ. περίπου και πάχους ἐνὸς χιλιομέτρου τοῦ ἐντός τοῦ Ἑλληνικοῦ ἐδάφους τμήματος.

Νοτίως τοῦ Ἀετοχωρίου μέχρι τῆς περιοχῆς τῆς εύρισκομένης πρὸς βορρᾶν τοῦ Εύρωπου ύπάρχουν οἱ λόφοι Μαῦρες Πέτρες και Βραούμβαι, ἐκτάσεως περίπου 6—7 τετρ. χιλ. ἀποτελούμεναι ἀπὸ τόφφους, ὃν τὰ ἀναβλήματα ἔχουν τὴν σύστασιν τῶν ἐμφανίσεων Γκολογκερέο.

Ολῶν τῶν ἀνωτέρω ἐμφανίσεων τὰ πετρώματα εἶναι παρόμοια τὴν σύστασιν. Μακροσκοπικῶς παρουσιάζουν χρῶμα ὡς ἐπὶ τὸ πλεῖστον τεφρὸν ἔως μαῦρον μὲν μεγάλους φαινοκρυστάλλους ἀστρίων, κεροστίλβης και λαμπυρίζοντα πετάλια βιοτίτου. Κοινὸν χαρακτηριστικὸν δλῶν εἶναι ἡ σχετικὴ ἀφθονία φαινοκρυστάλλων ἔναντι τῆς θεμελιώδους ἀφανιτικῆς μάζης. Μεταξὺ τῶν φαινοκρυστάλλων διακρίνονται πλαγιόκλαστα ὡς ἐπὶ τὸ πολύ ίδιόμορφα μεγέθους κατὰ μέγιστον ὅριον 1 ἑκ. μὲ λάμψιν υχλώδη. Πολλάκις παρατηρεῖται εἰς αὐτὰ και διὰ γυμνοῦ ὀδφθαλμοῦ ἡ δίδυμος σύμφυσις. Σπάνιοι κρύσταλλοι σανιδίνου διαστάσεων μέχρι 3 ἑκ. ἀνεπτυγμένοι πρισματικῶς κατὰ [100] ἐμφανίζονται μεμονωμένοι σποραδικῶς εἰς μικρὰν σχετικῶς ἀναλογίαν ἐν συγκρίσει πρὸς τὰ πλαγιόκλαστα, εἰς τρόπον ὥστε εἰς δείγματα ληφθέντα εἰς μικρὰν ἀπ' ἀλλήλων ἀπόστασιν διαστάσεων 10 × 7 × 5 ἑκ. νὰ περιλαμβάνωνται 2—3 τοιοῦτοι φαινοκρύσταλλοι ἢ και νὰ ἐλλείπουν παντελῶς. Ή κεροστίλβη εἶναι συνήθως πρισματική, μαύρου ἡ βαθέος καστανοῦ χρώματος, ἀδαμαντοειδοῦς λάμψεως (εἰς τὰ ἀναλλοίωτα δείγματα). Οἱ κρύσταλλοι τῆς εἶναι ίδιόμορφοι εἰς δὲ τοὺς μεγαλυτέρους μεγέθους (1 ἑκ.) δύναται τις εὐκόλως νὰ διακρίνῃ τὰς συνήθως εἰς τὴν κερο-

στίλβην έμφανιζομένας κρυσταλλικάς έδρας (100), (010), (011) και (101). Ο βιοτίτης είναι έπισης ίδιομορφος, ύπο μορφήν στιλπνῶν φευδοεξαγωνικῶν πετάλων. Ἡ ἀφανιτικὴ θεμέλιωδης μᾶζα παρουσιάζει ποικιλίαν χρωμάτων ἀπό λευκοτέφρου ἔως καστανομέλανος.

Ἡ διὰ τοῦ πολωτικοῦ μικροσκοπίου ἔξετασις παρέχει τὰ ἀκόλουθα στοιχεῖα: Οἱ ἄστριοι είναι κυρίως φαινοκρύσταλλοι πλαγιοκλάστων καὶ σποραδικῶς σανιδίνου, συνήθως ίδιομορφοι. Ἐν τούτοις παρουσιάζονται καὶ τινες ἄστριοι μὲ σχῆμα ἀκανόνιστον συνεπείᾳ μαγματικῆς διαβρώσεως. Τὰ πλαγιόκλαστα είναι διδύμου καὶ πολυδύμου δομῆς, σπανίως συναντωμένων ἀπλῶν κρυστάλλων. Περιέχουν ἐγκλείσματα ύάλου, βιοτίου, κεροστίλβης, ἀπατίτου καὶ σπανιώτατα ζιρκονίου. Είναι ζωνώδους δομῆς μὲ βασικώτερον τὸν πυρήνα τοῦ κρυστάλλου, παρατηρεῖται ὅμως πολλάκις τὸ φαινόμενον τῆς ἐναλλαγῆς τῶν ζωνῶν ὡς πρὸς τὴν περιεκτικότητα εἰς ἀνορθίτην. Οὕτω συχνὰ ὁ πυρὴν είναι τῆς αὐτῆς περίπου συστάσεως μὲ δακτύλιον εύρισκόμενον πλησίον τῆς ἔξωτερης στιβάδος τοῦ κρυστάλλου, ἐνῷ ὁ μεταξὺ αὐτῶν περιλαμβανόμενος χῶρος πληρούμεται ἀπὸ ἄστριον ὀλιγώτερον βασικόν. Ἐκ τῶν διδυμιῶν τῶν πλαγιοκλάστων ἡ πλέον διαδεδομένη είναι ἡ κατὰ τὸν ἀλβιτικὸν νόμον, ἀρκετὰ ὅμως συχνὴ καὶ ἡ κατὰ Karlshad πολλάκις ἐν συνδυασμῷ μὲ τὴν πρώτην. Αἱ ἄλλαι διδυμίαι σπανιώτεραι.

Παρέχομεν κατωτέρω μερικάς μετρήσεις πλαγιοκλάστων γενομένας διὰ τῆς περιστρέπτου τραπέζης Fedorov, βάσει τῶν δοποίων καθωρίσθη ἡ εἰς ἀνορθίτην περιεκτικότης αὐτῶν. Διὰ τὸν προσδιορισμὸν αὐτὸν ἐχρησιμοποιήθησαν ἐκ τῶν καμπύλων τῶν σχετικῶν διαγραμμάτων αἱ ἀναφερόμεναι εἰς ὑψηλὴν θερμοκρασίαν, αἱ δοποίαι πολλάκις παρουσιάζουν σημαντικάς ἀποκλίσεις ἀπὸ τὰς παλαιότερον ἐν χρήσει (20).

Ζωνώδης δίδυμος.

α) Πυρὴν τοῦ κρυστάλλου.

Τμῆμα I N=106 H= 8α Ψ K= 30 O.A.

N= 15 H=10α X 2 V_z=80°

Τμῆμα II N= 29 H= 48 Ψ K=349 O.A.

N=297 H=28δ X 2 V_z=78°

ΨΛΨ= 103° ...47% An

ΧΛΧ= 96° ...47% An

β) Περιφέρεια κρυστάλλου.

Τμῆμα I N= 91 H=16α Ψ K= 39 O.A.

N=358 H=11α X 2 V_x=80°

Τμήμα II N= 40 H= 8α Ψ K=335 O.A.
 N=314 H=25δ X 2 V_x=80°
 ΨΛΨ= 51° (129°)...34% An
 ΧΛΧ=124° ...34% An

Διδυμία Albit—Karlsbad.

Ζωνώδης Τρίδυμος. (Μετρήσεις εἰς πυρήνα).

Τμήμα I N=162,5 H=10α E.Σ. (010)

N=134 H=18α Z 2 V_z=84°
 N= 42,5 H= 4α Ψ K=330 O.A.

Τμήμα II N=169 H=21δ Z

N= 78 H= 0 X

Τμήμα III N=100,5 H=13,5α Ψ K=47 O.A.

N= 9,5 H= 1α Z 2 V_z=83°

Τμήματα I—II εἰς διδυμίαν Karlsbad.

ΧΛΧ = 76° ...44% An

ΨΛΨ = 98° ...45% An

ΖΛΖ = 52° ...45% An

Τμήματα I—III εἰς διδυμίαν Albit

ΨΛΨ = 58° ...43% An

ΖΛΖ = 58° ...43% An

Τμήματα II—III εἰς διδυμίαν Albit—Karlsbad

ΧΛΧ =102° ...46% An

ΨΛΨ=110° ...45% An

ΖΛΖ = 28° ...45% An

Λαμβάνοντες εἰς τὸν ἀνωτέρω ζωνώδη κρύσταλλον τὰς μεγίστας κατασβέσεις Χ' Λ (010), ἔχομεν διὰ τὸν πυρῆνα Χ' Λ (010)=30° ... 45% An καὶ διὰ τὴν περιφερικὴν ἐξωτερικὴν στιβάδα Χ' Λ (010)=18° ... 30% An. Ἡ περιεκτικότης εἰς ἀνορθίτην δὲν αὐξάνει κανονικῶς ἐκ τῆς περιφερείας πρὸς τὸ κέντρον, ἀλλ' ἐναλλάσσεται. Οὕτως ὁ ἀμέσως ἐσωτερικὸς δακτύλιος τῆς ἐξωτάτης στιβάδος εἶναι περιεκτικότηος 44% An, ἐνῷ ἐσωτερικώτερον αὐτοῦ ἡ περιεκτικότης εὑρίσκεται 31% An, διὰ νὰ αὐξηθῇ τελικῶς εἰς τὸ κέντρον εἰς 45% An.

Διδυμός.

Τμήμα I N= 0 H=16α E.Σ. (001)

N= 33 H=38δ Z

N=102 H=25α X

Τμήμα II N=196 H=9,5α Ψ K=24 O.A.

N=282 H=23,5δ X

2 V_x= 84°

Διδυμία Aklin (Periklin)

$Z\Lambda Z = 57^\circ \dots 37^\circ$, Απ

$\Psi\Lambda\Psi = 57^\circ \dots 36^\circ$, Απ

Κατά τάς άνωτέρω μετρήσεις ή σύστασις τῶν διαφόρων ζωνῶν τῶν πλαγιοπλάστων κυμαίνεται ἐντὸς τῶν δρίων τοῦ ἀνδεσίνου. Σπανιώτερον παρετηρήθησαν ζῶναι περιεκτικότητος 52° , Απ, ἡτις μόλις ύπερβαίνει τὴν ἀντιστοιχούσαν εἰς τὰ δρια τοῦ ἀνδεσίνου. Εἰς μερικοὺς φαινοκρυστάλλους πλαγιοκλάστων παρατηροῦνται θολοὶ συγκεντρικοὶ δακτύλιοι διεισδύονται μαγματικὴν διάβρωσιν. Ἐσωτερικῶς καὶ ἔξωτερικῶς τοῦ θολοῦ αὐτοῦ δακτυλίου δικρύσταλλος εἶναι ἀναλλοίωτος. Προφανῶς ἡ ἔξωτερικὴ στιβάς ἀπέτεθη μετὰ τὴν μαγματικὴν διάβρωσιν. Οἱ φαινοκρύσταλλοι τοῦ σανιδίνου εἶναι ἐλάχιστοι, ἐπίσης ύποστάντες μαγματικὴν διάβρωσιν ἐξ ἀρχομένης ἀνατήξεως. Ἀξιοσημείωτον εἶναι ὅτι οἱ καλιούχοι ἀστριοὶ ἔχουν ύποστῆ πολὺ ἐντονωτέραν τὴν διάβρωσιν ὥστε οἱ ἀσβεστονατριούχοι.

Εἰς κόνιν σανιδίνου ληφθέντος ἐκ μακροσκοπικοῦ δείγματος ἐγένετο προσδιορισμὸς τῶν δεικτῶν διαθλάσεως διὰ τῆς μεθόδου τοῦ Becke χρησιμοποιηθέντων ύγρων γνωστοῦ δ.δ. τῆς σειρᾶς Shillaber. Οἱ εύρεθντες δ.δ. τοῦ σανιδίνου κυμαίνονται μεταξὺ τῶν τιμῶν 1,52 καὶ 1,53.

Ἡ κεροστίλβη εἶναι πρασίνη μὲν ζωηρὸν πλεοχροϊσμὸν

X = πρασινοκίτρινον

Ψ = καστανοπράσινον

Z = πράσινον.

Z Λ c = 17°

Z = πράσινον.

Οἱ κρύσταλλοι ἔχουν ὡς ἐπὶ τὸ πολὺ πρισματικὴν ἀνάπτυξιν κατὰ (110) καὶ ἐμφανίζονται συχνά εἰς διδύμους κατὰ (100) (Πιν IV εἰκ. 1). Οἱ φαινοκρύσταλλοι τοῦ βιοτίτου ὡς ἐπὶ τὸ πλεῖστον κεκαμμένοι λόγῳ πιέσεως μὲν σαφῇ τὰ πρωτοκλαστικὰ φαινόμενα. Ὁ βιοτίτης εἶναι πολὺ δλιγάτερος τῆς κεροστίλβης. Ἐκ τῶν ύπολοι-πων ἐπουσιωδῶν ὀρυκτῶν ἀνεγνωρίσθησαν σπάνιοι μικρόλιθοι πυροξένων, ὡς καὶ ἀπατίτης, ζιρκόνιον, μαγνητίτης. Ἡ ἀφανιτικὴ μάζα εἶναι στιφρά, λεπτοκρυσταλλικὴ μὲ συμμετοχὴν ύπαλου εἰς ἀρκετὴν ποσότητα. Ἐντὸς αὐτῆς ύπαρχουν κόκκοι μαγνητίτου καὶ ραβδόμορφοι μικρόλιθοι ἀστρίων πολλάκις εἰς ρευστικὴν διάταξιν πέριξ τῶν φαινοκρυστάλλων.

Μετρήσεις ἐπὶ μικροσκοπικῶν τομῶν τοῦ ἐμβαδοῦ τῶν διαφόρων συστατικῶν καὶ τῆς ἀφανιτικῆς μάζης ἔδωσε τὴν ἔξης κατ' ὅγκον ἐκατοστιαίαν συμμετοχὴν αὐτῶν εἰς τὴν σύστασιν τοῦ πετρώματος.

Αφαν. Μάζα 57,55%. Πλαγιόκλαστα (+όλιγ. δρθοκλ.) 29,81%
Κεροστίλβη 10,30%. Βιοτίτης (+έπουσιώδη δρυκτ.) 2,34%

Τὸ πέτρωμα δέον νὰ χαρακτηρισθῇ ὡς κεροστιλβικὸς ἀνδεσίτης μὲ βιοτίτην.

2. Περιοχὴ Πασσᾶ

Ἡ περιοχὴ τοῦ ὄρους Πασσᾶ ἀποτελεῖ μικρὰν λωρίδα ἐπὶ τῶν συνόρων ἑκτάσεως 2 τετρ. χιλιμ., ἵτις συνδέει τὰ ὅρη Μπαλτατσούμκο καὶ Βίσοκ—Τίντ, συνορεύει δὲ πρὸς νότον μὲ τὸ συγκρότημα τοῦ Πινόβου. Εύρισκεται μεταξὺ δύο ἀσβεστολιθικῶν προεξοχῶν, τοῦ Καρανάσου καὶ τοῦ ὑψ. 2046, αἱ ὁποῖαι τὴν διαχωρίζουν ἐκ τῶν ὑπολοίπων ἡφαιστειακῶν ἐμφανίσεων. Ἀνατολικώτερον συναντᾶ τις πάλιν τὰ κρυσταλλοσχιστώδη πετρώματα τῆς περιοχῆς.

Τὸ δρος Πασσᾶς (ὑψ. 1999) ἀποτελεῖται κυρίως ἀπὸ ἔκρηξιγενεῖς ρυολιθικάς ἐμφανίσεις. Ἡ ἑκτασὶς τοῦ συμπαγοῦς ὄλικοῦ εἶναι πολὺ μικρά, τοῦ μεγαλυτέρου τμήματος τῆς περιοχῆς κατεχομένου ἀπὸ ρυολιθικὰ ἀναβλήματα ἀναμεμιγμένα μετὰ ἀνδεσιτικῶν. Ὁ ρυόλιθος τοῦ Πασσᾶ εἶναι λευκὸς ἔως λευκοπράσινος διάσπαρτος ἀπὸ ἐρυθρωπάτερα ἔως μαύρα σιδηροξείδια ἐξ ἀποσαθρώσεως τῶν φεμικῶν συστατικῶν τοῦ πετρώματος. Διὰ προσεκτικῆς παρατηρήσεως διακρίνονται ἀφθονοὶ μικροὶ φαινοκρύσταλλοι χαλαζίου. Ἡ πράσινη χροιὰ τοῦ πετρώματος ὀφελεται εἰς σερικιτίωσιν. Εἰς μικροσκοπικὰ πετάλια σερικίτου δέον νὰ ἀποδοθῇ ἐπίσης ἡ ἀσθενής μαργαριτώδης λάμψις, τὴν ὁποίαν παρουσιάζουν ὡρισμένα δείγματα.

Εἰς τὸ πολωτικὸν μικροσκόπιον ὁ ρυόλιθος τοῦ Πασσᾶ παρουσιάζει τὴν ἔξης εἰκόνα: Οἱ φαινοκρύσταλλοι τοῦ χαλαζίου εἶναι λίαν διαβεβρωμένοι μαγματικῶς ὑπὸ τῆς λάβας, ἵτις εἰσχωροῦσα ἔντὸς τῶν κρυστάλλων σχηματίζει χαρακτηριστικάς ἐγκολπώσεις (Πιν. IV εἰκ. 2). Ἐκ τῶν ἀστρίων ὑπάρχει μόνον ἀλβίτης (δ.δ. μικρότερος δ.δ. βαλσ. Καναδᾶ, 2 V μεγάλη, Ο, X θετικός, καὶ X'Λ (010)=18°) προφανῶς δευτερογενῶς σχηματισθείς. Γενικῶς τὸ πέτρωμα δεικνύει πολὺ προχωρημένην ἀποσάθρωσιν. Ἡ ὅλη μᾶζα διασχίζεται ἀπὸ φλέβας σερικίτου καὶ ἀπὸ σιδηροξείδια (αἴματιτης). Ἐκ τῶν πρωτογενῶν δρυκτῶν πλὴν τοῦ χαλαζίου καὶ σποραδικῶν κρυστάλλων ζιρκονίου καὶ ἀπατίτου οὐδὲν ἄλλο δρυκτόν διασώζεται. Ὅπαρχουν δῆμως εἰς ὡρισμένα σημεῖα συγκεντρώσεις ὁξείδιων τοῦ σιδήρου εἰς ψευδομόρφωσιν κατὰ βιοτίτην ἐξ ἀλλοιώσεως τοῦ ὁποίου προέκυψαν. Ἡ ἀφανιτικὴ θεμελιώδης μᾶζα εἶναι μικροκρυσταλλικὴ ἀποτελουμένη ἐκ χαλαζίου καὶ σερικίτου.

Κερατοφύρης. Μεταξύ τῶν μὴ ρυσολιθικῶν τόφφων δυτικῶς τοῦ Πασσᾶ ἀνευρέθη πράσινον πέτρωμα λίαν στιφρόν, τὸ ὅποῖον δὲν δύναται τις εὐκόλως νὰ προσδιορίσῃ μικροσκοπικῶς. Ἐκ τῆς μικροσκοπικῆς ὅμως ἔξετάσεως προκύπτει ὅτι τὸ πέτρωμα εἶναι λίαν ἀποσταθρωμένος ἡφαιστίτης. Οὐδὲν ἐκ τῶν πρωτογενῶν ὄρυκτῶν διασώζεται. Ἀφθονοῦν χλωρίτης, ἀσβεστίτης, σερικίτης, σιδηροξείδια, ἐνῶ ἐκ τῶν ἀστρίων ὑπάρχει ὁ δευτερογενῆς ἀλβίτης. Ὅπαρχει ἐπίσης πολὺ ὀλίγος χαλαζίας ὡς καὶ ἐλάχιστα ὄρυκτά τῆς δύμαδος τοῦ ἐπιδότου. Τὸ πέτρωμα δέον νὰ χαρακτηρισθῇ ὡς κερατοφύρης, ἥτοι νατριούχος τραχείτης ὑποστάς ἀλλοίωσιν. Ὡς γνωστὸν (3 σελ. 163, 191, 194) κατὰ τὴν ἀλβίτισιν τὸ μὲν νάτριον τῶν ἀλκαλιούχων ἀστρίων δίδει ἀλβίτην τὸ δὲ κάλιον συμμετέχει εἰς τὸν σχηματισμὸν τοῦ σερικίτου (σερικιτίσις), ἐνῷ τὰ σιδηρομαγνησιούχα ὄρυκτά ἀποσυντιθέμενα δίδουν χλωρίτην, ἀσβεστίτην, ἐπιδιοτον κ.λ.π.

Ἡ προχωρημένη ἀλλοίωσις, τὴν ὅποιαν παρουσιάζουν ἀμφότερα τὰ ἀνωτέρω πετρώματα, δεικνύει ὅτι εἶναι ἡλικίας πολὺ παλαιοτέρας τῶν τριτογενῶν ἐκρήξεων τῆς Ἀλμωπίας.

3. Περιοχὴ Μπαλτατσοῦκο—Κοντοβίτσας

α) Μπαλτατσοῦκο. Δυτικῶς τοῦ ἀσβεστολιθικοῦ ὅγκου τοῦ Καρανάσου, ὅστις βορείως φθάνει μέχρι τῶν συνόρων, ἄρχεται μία ἐκ τῶν μεγαλυτέρων ἡφαιστείων ἐμφανίσεων τῆς περιοχῆς. Αὕτη διαμορφώνει τὸ ὄρεινὸν συγκρότημα Μπαλτατσοῦκο - Χασαπίτσε (ύψ. 1515) ἐκτεινόμενον παραλλήλως τῶν συνόρων ἐπὶ μήκους 4 περίπου χιλ. καὶ εἰς βάθος ἐντὸς τοῦ ἑλληνικοῦ ἐδάφους 1 χιλ. Πρόκειται περὶ μεγάλων συμπαγῶν ἡφαιστείων μαζῶν, αἱ ὅποιαι μορφολογικῶς παρέχουν τὴν ἐντύπωσιν φλεβοειδοῦς ἐμφανίσεως.

Τὰ δείγματα ἐκ τοῦ κοιτάσματος τούτου παρουσιάζουν ὕρισμένας ὁμοιότητας πρὸς τὰ δείγματα τοῦ κοιτάσματος Γκολογκερέο, δύσον ἀφορᾶ εἰς τὸν ἴστόν, μέγεθος καὶ σχετικὴν ἀναλογίαν φαινοκρυστάλλων ἀφανιτικῆς μάζης καὶ τὸ χρώμα τῆς τελευταίας. Οὐσιώδης διαφορὰ ἐκδηλώνεται εἰς τὸ ὅτι ἐνταῦθα οὐδεὶς φαινοκρύσταλλος σανιδίνου παρετηρήθη. Οἱ φαινοκρύσταλλοι τῆς κεροστίλβης εἶναι μεγαλυτέρων διαστάσεων, μέχρι 2-3 ἑκ. Λεπτὰ πετάλια βιοτίτου συμμετέχουν εἰς τὴν σύστασιν τοῦ πετρώματος ὑπὸ πολὺ ὅμως μικράν ἀναλογίαν.

Ὕπὸ τὸ μικροσκόπιον παρατηροῦνται φαινοκρύσταλλοι πλαγιοκλάστων (ἀνδεσίνου) κατὰ τὸ πλείστον ἰδιόμορφοι μὲ ζωνώδη

δομήν και ταινίας πολυδύμου συμφύσεως. Μέτρησις διδύμου διά της τραπέζης Fedorov ̄δωσε τά ̄ξης στοιχεία:

Τμήμα I N=122 H=29α E.Σ. (010)

N=221 H=10α E.Σ. (001)

N=269,5 H=21,5δ Z 2 V_z=80°

N= 3,5 H=10δ Ψ K=332 O.A.

Τμήμα II N= 58 H=18α Ψ K=338,5 O.A.

N=156,5 H=27α Z 2 V_z=81°

Διδυμία Albit Ψ Λ Ψ=60°...45% Αη.

Z Λ Z =60°...45% Αη.

Μέγιστον κατασβέσεως ̄πι της ζώνης συμμετρίας Χ'Λ (010) =30°...45%. Αη. Οι κρύσταλλοι είναι ζωνώδους συστάσεως με έναλλασσομένην περιεκτικότητα είς Αη, ήτις κυμαίνεται μεταξύ των τιμών 38% - 52%. Είς πολλά ζωνώδη πλαγιόκλαστα κατά τὴν περιφέρειαν παρουσιάζεται θολός δακτύλιος ἐξ ύαλωδῶν ἔγκλεισμάτων συστάσεως τῆς αὐτῆς πρὸς ἐκείνην τῆς ἀφανιτικῆς μάζης δόφειλόμενος είς διαβρωσιν τῶν πλαγιοκλάστων (Πιν. IV εἰκ. 3). Είς τινας φαινοκρυστάλλους ἡ διαβρωσιγενής αὔτη ζώνη είναι λίαν εύρεια καλύπτουσα τὸ μεγαλύτερον μέρος τῆς τομῆς. Κατὰ κανόνα δόλοι οἱ κρύσταλλοι οἱ παρουσιάζοντες τὴν διαβρωσιγενή αὐτὴν ζώνην περιβάλλονται ἀπὸ τελικὴν περιφερικὴν ζώνην ἐντελῶς καθαράν.

Η κεροστίλβη είναι καστανόχρους πλεοχροϊκή (βασαλτική) με χρώματα X=κίτρινον, Ψ=καστανοκίτρινον, Z=καστανοκίτρινον. Απαντῶσι καὶ τινες διδυμοι κατά (100). Οι κρύσταλλοι τῆς ἐσχηματίσθησαν είς δύο γενεᾶς κρυσταλλώσεως. Οι τῆς πρώτης γενεᾶς, οἱ καὶ μεγαλύτεροι, ἐμφανίζονται είς τομὰς περατουμένας ίδιομόρφως κατὰ τὰ ἄκρα τοῦ ἄξονος c, βαθυτέρου χρώματος καστανοκιτρίνου κατὰ τὸ πλεῖστον μέρος αὐτῶν, μὲ στενὴν ἐξωτερικὴν ζώνην ἀνοικτόχρωμον κιτρίνην. Τὸ βαθέος χρώματος τμῆμα παρουσιάζει Z Λ c=5°, ἐνῶ τὸ περίβλημα μέχρι καὶ 9°. Οἱ μικρότεροι κρύσταλλοι, οἱ τῆς δευτέρας γενεᾶς κρυσταλλώσεως, δὲν παρουσιάζουν ίδιομορφίαν κατὰ τὸ πέρας τοῦ ἄξονος c καὶ ἀπὸ ἀπόψεως χρώματος καὶ κατασβεστικῆς γωνίας είναι διμοίας συστάσεως πρὸς τὸ περίβλημα τῶν κρυστάλλων τῆς πρώτης γενεᾶς. Αἱ διαφοραὶ αὗται ίδιομορφίας, συστάσεως καὶ μεγέθους τῶν κρυστάλλων τῆς κεροστίλβης μαρτυροῦν διτοι οὕτοι ἐσχηματίσθησαν είς δύο γενεᾶς κρυσταλλώσεως. Προηγήθη ἡ κρυστάλλωσις τῶν μεγάλων φαινοκρυστάλλων τῆς κεροστίλβης, συντελεσθεῖσα κατὰ τὸ πλεῖστον μέρος αὐτῆς τὸ ἀντιπροσωπευόμενον ἀπὸ τὸν βαθυτέρου χρώματος πυρῆνα (μεγαλυτέρας περιεκτικότητος είς σίδηρον), καθ' ὃν χρόνον

τὸ μάγμα εύρισκετο εἰς βάθος (πρώτη γενεὰ κρυσταλλώσεως). Ἡ λεπτὴ ἀνοικτοῦ χρώματος ἐπιφλοίωσις τῶν κρυστάλλων τούτων ὡς καὶ οἱ τοῦ αὐτοῦ χρώματος μικρότεροι ὑπιδιόμορφοι κρύσταλλοι τῆς κεροστίλβης ἐσχηματίσθησαν κατὰ τὴν ἔκχυσιν τῆς λάβας (δευτέρα γενεὰ κρυσταλλώσεως) (Πίν. IV εἰκ. 3).

Ἐκ τῶν ἐπουσιωδῶν συστατικῶν ἀπαντοῦν δὲ λίγοι κρύσταλλοι διοψιδικοῦ αὐγίτου, ζιρκόνιου, ἀπατίτης, μαζί μὲ πολὺ δλιγωτέρους τῆς κεροστίλβης φαινοκρυστάλλους βιοτίτου μαγματικῶς διαβρωθέντας. Ἡ ἀφανιτικὴ μᾶζα, βαθέος χρώματος, μὲ συμμετοχὴν ύπερος ἔγκλειει ραβδομόρφους μικρολίθους κεροστίλβης καὶ πλαγιοκλάστων, ὡς καὶ ὅρθιογωνίους τομάς τῶν τελευταίων εἰς ρευστικὴν διάταξιν. Ἐκ τῆς ἐμβαδομετρήσεως τῶν δρυκτῶν συστατικῶν καὶ τῆς ἀφανιτικῆς μάζης ἐπὶ τῆς μικροσκοπικῆς τομῆς προέκυψεν ἡ ἔξιης κατ' ὅγκον ἐκατοστιαίᾳ ἀναλογία: Ἀφανιτ. Μᾶζα 68,13 %, πλαγιόκλ. 15,67 %, κεροστ. (+ βιοτ. + ἐπουσιώδη) 16,20 %.

Κατὰ τὴν ἀνωτέρω περιγραφὴν τὸ πέτρωμα εἶναι κεροστίλβικδς ἀνδεσίτης.

6) Κοντοβίτσα. Νοτίως τοῦ Μπαλτατσοῦκο εύρισκετα ἡ συμπαγῆς ἐμφάνισις τοῦ ἡφαιστίτου τῆς Κοντοβίτσας (ύψ. 1675) θολοειδῶς μορφῆς σχηματισμοῦ, διαμέτρου κατὰ τὴν βάσιν περίπου 800 μ. Μακροσκοπικῶς δόμοιάζει μὲ τὸν ἡφαιστίτην Μπαλτατσοῦκο. Μικροσκοπικῶς ἐπίσης παρουσιάζει ἐλαχίστας διαφοράς μὲ τὸ προηγουμένως περιγραφὲν πέτρωμα. Τὰ πλαγιοκλασταὶ εἶναι τῆς αὐτῆς συστάσεως, παρετηρήθησαν δύμως ἐνταῦθα σπάνια τινες τομαὶ σανιδίνου. Οἱ φαινοκρύσταλλοι τῆς κεροστίλβης σχεδὸν ἔξι δλοκλήρους διαβεβρωμένοι μαγματικῶς μετετράπησαν εἰς μαγνητίτην. Εἰς ἐλαχίστους μόνον κρυστάλλους ὑπελείφθησαν τμῆματα τοῦ ἀρχικοῦ δρυκτοῦ. Βιοτίτης δὲν παρετηρήθη. Ἡ ἀφανιτικὴ μᾶζα, ύφῆς πιλιτικῆς, μὲ μικρὰν συμμετοχὴν ύπερος, παρουσιάζει ἐλαχίστων διαστάσεων μικρολίθους ἀστρίων καὶ προσέτι μεγαλυτέρους τινάς ἰδιομόρφους κρυστάλλους ἀστρίων, εἰς ραβδομόρφους ὅρθιογωνίου σχήματος τομάς, διαστάσεων ἀναλόγων πρὸς τοὺς μικρολίθους τοῦ Μπαλτατσοῦκο. Τὸ πέτρωμα εἶναι κεροστίλβικδς ἀνδεσίτης.

4. Περιοχὴ Κοντορίτσας—Πλάτσας

α) Κοντορίτσα. Δυτικῶς τοῦ θόλου τῆς Κοντορίτσας καὶ εἰς ἀπόστασιν ἀπ' αὐτοῦ 1,5 περίπου χιλμ. ἀνυψοῦται ἐπίσης ὑπὸ μορφὴν θόλου διαστάσεων δμοίων πρὸς τὸν προηγούμενον δὲ ἡφαιστίτης τῆς Κοντορίτσας (ύψ. 1509). Τὸ πέτρωμα μακροσκοπικῶς πα-

ρουσιάζει φαινοκρυστάλλους πλαγιοκλάστων συνήθους μορφής και διαστάσεων ώς και τών προηγουμένων κοιτασμάτων και ίδιόμορφα μεγάλα σανίδινα, ώς τὰ τοῦ κοιτάσματος Γκολογκερέο, ἀλλὰ εἰς σχετικῶς μεγαλύτεραν ἀναλογίαν. Φαινοκρύσταλλοι κεροστίλβης μικρῶν σχετικῶς διαστάσεων και σημαντικῶς ὀλιγώτεροι τοῦ γειτονικοῦ κοιτάσματος Κοντοβίτσας. Παρατηροῦνται ἐπίσης σπάνια τινα ψευδοεξαγωνικά πέταλα βιοτίτου. Ἀφανιτικὴ μᾶζα τεφρά ὑπέρυθρος προφανῶς ἐκ τῆς παρουσίας σιδηροξειδίων σχηματισθέντων ἔξι ἀλλοιώσεως τοῦ πετρώματος. Εἰς τὴν μικροσκοπικὴν ἔξέτασιν διά τῆς τραπέζης Fedorov τὰ πλαγιόκλαστα πολυδύμου και ζωνώδους δομῆς ἀπεδείχθησαν ἐπίσης ώς και εἰς τὰς μετρήσεις τῶν προηγουμένων περιγραφεισῶν τομῶν ἀνδεσίνης μὲ περιεκτικότητα κυμαινομένην συνήθως μεταξὺ 33 - 40 %. Απ. Σπανίως παρετηρήθησαν και ζῶναι περιεκτικότητος 53 %. Απ. Παραθέτομεν τὰ δεδομένα μιᾶς τῶν μετρήσεων τούτων.

Δίδυμος. Τμῆμα I $N=0$ $H=32\alpha$ E.S. (010)

$N=3$ $H=8\alpha$ Z

$N=273,5$ $H=6,5\delta$ X

Τμῆμα II $N=237$ $H=5\alpha$ $\Psi K=357$ O.A.

$N=330$ $H=39\alpha$ Z $2 V_x=84^\circ$

$N=320$ $H=50,5\delta$ X

Δίδυμος κατὰ Karlsbad $\Psi \Lambda \Psi=75^\circ \dots 37\%$, Απ.

$Z \Lambda Z=43^\circ \dots 36\%$, Απ.

$X \Lambda X=59^\circ \dots 35\%$, Απ.

Μέγιστον $X' \Lambda$ (010) $=25^\circ \dots 37\%$, Απ.

‘Η κεροστίλβη καστανόχρους ἐντόνως πλεοχροϊκὴ παρουσιάζεται και ἐνταῦθα εἰς δύο γενεάς κρυσταλλώσεως, ώς τῶν ἐμφανίσεων Μπαλτατσούκο. Ἐπουσιώδη δρυκτὰ ἀπατίτης, μαγνητίτης. Ἡ ἀφανιτικὴ μᾶζα εἶναι ύαλωδης μὲ δρθογωνίους τομάς πλαγιοκλάστων τῆς δευτέρας γενεᾶς κρυσταλλώσεως διαβεβρωμένων κατὰ τὸ κέντρον.

‘Η συχνοτέρα ἐμφάνισις φαινοκρυστάλλων σανίδινου ἐν συγκρίσει πρὸς τὸ δεῖγμα τῆς Κοντοβίτσας προσεγγίζει τὸ πέτρωμα πρὸς τὸν τύπον τοῦ Δεσπότη, δστις θὰ περιγραφῇ εἰς τὴν ἐπομένην ὁμάδα.

6) **Πλάτσα.** Τὸ βορειώς τῆς Κοντοβίτσας—Κοντορίτσας τμῆμα μέχρι τῶν συνόρων καλύπτεται ἀπὸ ἡφαιστείους τόφφους, οἱ ὅποιοι περιέχουν στερεὰ ἀναβλήματα ἀκανονίστου σχήματος και ποικίλων διαστάσεων, και συστάσεως. (Εἰς φυσικὴν τομὴν τῶν τόφφων ἐμετρήθη παράταξις 260° και κλίσις 55° B.). Δεῖγμα ἐκ τῶν ἀναβλη-

μάτων αύτῶν παρουσιάζει μεγάλους κρυστάλλους κεροστίλβης σχετικῶς ἀφθόνους ὡς τοῦ κεροστίλβικοῦ ἀνδεσίτου τοῦ Μπαλατσούκο, ἀλλὰ πρὸς τούτοις καὶ ἀραιῶς κατεσπαρμένους ἴδιομόρφους κρυστάλλους σανιδίνου. Μικροσκοπικῶς τὰ πλαγιόκλαστα ἔξεταζόμενα ἀποδεικνύονται ὅμοια μὲ τὰ τῶν προηγουμένων κοιτασμάτων (ἀνδεσίνης) καὶ ἡ κεροστίλβη βασαλτική. Ἐπίσης δλίγοι κρύσταλλοι διοψιδικοῦ ἀργίτου σπανίως ἔν συμφύσει μὲ τὴν κεροστίλβην. Τὸ δεῖγμα ἀποτελεῖ μεταβατικὸν τύπον μεταξὺ Γκολογκερέο καὶ Μπαλατατσούκο (κεροστίλβικὸς ἀνδεσίτης).

5. Περιοχὴ Δεσπότη—Λιασέλλας

Τὸ δρεινὸν συγκρότημα Δεσπότη (ὑψ. 1549)—Λιασέλλας (ὑψ. 1300) εὑρίσκεται εἰς τὸ κέντρον περίπου τῆς μελετηθείσης δρεινῆς περιοχῆς τῆς Ἀλμωπίας, ἀποτελεῖ δὲ σημαντικὴν ἐμφάνισιν ἑκτάσεως 4-5 περίπου χιλμ. Ἀμφότεραι αἱ ἐμφανίσεις αὗται (ἰδίως δὲ τοῦ Δεσπότη) εἶναι κωνοειδοῦς σχήματος ἔχουσαι δλα τὰ μορφολογικὰ χαρακτηριστικὰ ἐνδές δόμου (θόλου). Ἀπὸ νότου καὶ ΝΑ τῶν δύο τούτων θόλων ἐμφανίζονται ἡφαίστειοι τόφφοι δριζοντίας στρώσεως, ἐντὸς τῶν δποίων ἐγκλείονται ἀναβλήματα ποικίλης συστάσεως. Τὰ περισσότερα ἔξ αὐτῶν εἶναι προσόμοια μὲ τὰς ἐμφανίσεις Δεσπότη—Λιασέλλας, ύπαρχουν δύος καὶ ἀναβλήματα δύοιςας συστάσεως μὲ τὰ πετρώματα κέντρων περισσότερον ἀπομεμακρυσμένων. Τὸ σχῆμα τῶν ἀναβλήμάτων τούτων, ὃν τὸ μέγεθος φθάνει πολλάκις 1,80 μετρ. κατὰ διάμετρον, εἶναι ἀκανόνιστον, ἐνῷ τὰ τεμάχια λάβας τὰ ἀπαντῶντα ἐντὸς τῶν τόφφων τῆς πεδινῆς περιοχῆς τῆς Ἀλμωπίας εἶναι ἀπεστρογγυλωμένα ἐκ τῆς μεταφορικῆς ἐπιδράσεως τοῦ ὅδατος.

Τὸ δεῖγμα πετρώματος τὸ συλλεγέν εἶπι τοῦ θόλου τοῦ Δεσπότη παρουσιάζει σχετικῶς μεγάλον ἀριθμὸν ἴδιομόρφων κρυστάλλων σανιδίνου μὲ πρισματικὴν ἀνάπτυξιν παραλλήλως πρὸς τὸν ἄξονα [100] καὶ φαινοκρυστάλλους κεροστίλβης μικρῶν διαστάσεων ἐντὸς κυρίας μάζης μὲ τραχεῖαν ἀφήν, ἀνοικτοτέφρου χρώματος.

Δείγματα συλλεγέντα ἐκ τῶν κλιτών τῆς Λιασέλλας καὶ εἰς ἄμεσον ἐπαφὴν πρὸς τὸν ἡφαίστειην τοῦ Δεσπότη, παρουσιάζονται ἀπὸ μακροσκοπικῆς ἀπόψεως ἐντελῶς διάφορα ἀπὸ αὐτόν. Εἶναι χρώματος τεφρομέλανος ἔως ἐρυθροτέφρου. Ἐλλείπουν τελείως τὰ σανίδινα ὡς φαινοκρύσταλλοι. Οἱ μόνοι φαινοκρύσταλλοι ἀστρίων εἶναι τὰ τυπικὰ πλαγιόκλαστα τὰ συναντηθέντα εἰς προηγουμένους τύπους, μικροτέρων πως διαστάσεων. Φαινοκρύσταλλοι τῶν φεμι-

κῶν συστατικῶν διαπιστοῦνται δέξειδωθέντα πετάλια βιοτίτου μὲ μεταλλιζουσαν λάμψιν καὶ χρυσίζον χρῶμα, τὰ ὅποῖα ἀπώλεσαν τὴν συνήθη ἐλαστικότητά των. Οἱ φαινοκρύσταλλοι παρουσιάζονται κατὰ χώρους ὑπὸ μεγαλυτέραν τῆς συνήθους ἀναλογίαν συγκεντρωμένοι εἰς παραλλήλους ἐπιφανείας, παρεχομένης οὕτω σαφοῦς ἐμφανίσεως ρευστικῆς ύφῆς μακροσκοπικῶς αἰσθητῆς.

Μὲ τὴν περιγραφεῖσαν ὄψιν τοῦ πετρώματος παρηκολουθήσαμεν αὐτὸ ἐπὶ ἀρκετῆς ἀποστάσεως κατὰ τὴν ἐπαφὴν τῶν δύο λαβῶν ἐντὸς τοῦ ἀπὸ Β. ρεύματος, τὸ ὅποιον σχηματίζουν οἱ δύο θόλοι.

Εἰς τὴν μικροσκοπικὴν ἔξετασιν τομῶν τοῦ πετρώματος Δεσπότη παρουσιάζονται φαινοκρύσταλλοι πλαγιοκλάστων πολυδύμους καὶ ζωνώδους δομῆς, οἱ ὅποιοι κατὰ μετρήσεις διὰ τῆς στρεπτῆς τραπέζης, ὡς κατωτέρω, ἀνήκουν εἰς ἀνδεσίνην.

Δίδυμος. Τμῆμα I N=133 H=208 E.S. (010)

N= 40	H= 38	X
N=133,5	H=448	Z
N=308	H=468	Ψ K=46 O.A.

2 V_x=81°

Τμῆμα II N=313,5 H= 2,5δ Z

N=223	H= 2α	X
-------	-------	---

Δίδυμος Albit ΨΛΨ=47° ...35% An

ZΛΖ =46° ...34%	An
-----------------	----

‘Η περιεκτικότης εἰς An εἰς τοὺς ζωνώδους δομῆς ἀστρίους κυμαίνεται ἀπὸ 27%—44%. Κατὰ ταῦτα ἡ σύστασις τῶν φαινοκρυστάλλων τῶν πλαγιοκλάστων μετετοπίσθη πρὸς μέλη τῆς σειρᾶς κατὰ τι δξινῶτερα. Συχνὴ ἐμφάνισις κρυστάλλων σανιδίνου (Πιν. IV εἰκ. 4) πολλάκις μερικῶς διαβεβρωμένων μὲ 2 V_x=38°—40°. Οἱ φαινοκρύσταλλοι κεροστίλβης καστανοχρόου πλεοχροϊκῆς τῆς πρώτης γενεᾶς κρυσταλλώσεως εἶναι ἐξ δλοκλήρου διαβεβρωμένοι εἰς τὸ ἐσωτερικὸν καὶ μὲ λεπτὸν περίβλημα δευτερογενὲς ἀδιάβρωτον κατὰ τὴν περιφέρειαν, περατούμενοι ἰδιομόρφως κατὰ τὰ ἄκρα τοῦ ἄξονος c. Οἱ τῆς δευτέρας γενεᾶς κρυσταλλώσεως εἶναι ἀδιάβρωτοι ἀνοικτοτέρου χρῶματος μὲ κατασβεστικὴν γωνίαν μέχρι καὶ 16°. Ἐκ τῶν ἐπουσιωδῶν συστατικῶν ὑπάρχουν κρύσταλλοι τιτανίτου, σπάνιος διοψίδιος ὡς καὶ ἀπατίτης εἰς ἔγκλεισμα ἐντὸς τῆς κεροστίλβης. Ἐπίσης ζιρκόνιον ἐντὸς κεροστίλβης καὶ μαγνητίτης ἀφθονος ἐκ τῆς διαβρώσεως τῆς κεροστίλβης τῆς πρώτης γενεᾶς. Ἡ ἀφανιτικὴ θεμελιώδης μᾶζα σχεδὸν δλοκρυσταλλικὴ λεπτοκοκώδης μὲ μικρὰ συμμετοχὴν ὑάλου ἀφυαλωθείσης ἀποτελουμένη κατὰ τὸ πλεῖστον ἐξ ἀλκαλιούχων ἀστρίων δ. δ. μικροτέρου τοῦ δ. δ. τοῦ βαλσάμου

τοῦ Καναδᾶ. 'Εκ τῆς ἐμβαδομετρήσεως τοῦ παρασκευάσματος πρό-
έκυψεν ἡ ἔξῆς σχέσις ἀναλογίας κατ' ὅγκον ἐπὶ τοῖς %.
Αφανιτικὴ μᾶζα 72,09 %, Πλαγιόκλαστα 11,63 %,
Σανίδινον 5,87 %. Κεροστίλβη (καὶ ἐπουσιώδη) 10,41 %.

'Εάν ἐστηριζόμεθα μόνον εἰς τὴν μικροσκοπικὴν ἔξέτασιν θὰ
ἔχαρακτηρίζομεν τὸ πέτρωμα ὡς τραχυανδεσίτην (βλ. καὶ πετρο-
χημικὸν μέρος).

Μικροσκοπικαὶ τομαὶ τοῦ ἡφαιστίτου τῆς Λιασέλλας παρου-
σιάζουν πλαγιόκλαστα ἐπίσης πολύδυμα καὶ ζωνώδους δομῆς περι-
εκτικότητος 33 - 50%. Απ., ἐν μέρει διαβεβρωμένα ἐγκλείοντα πολ-
λάκις ύαλώδη ἐγκλείσματα. Τὸ σανίδινον ἀπουσιάζει ἐξ ὀλοκλήρου.

Εἰς τὴν μικροσκοπικὴν ἔξέτασιν ὡς μόνον οὐσιώδες φεμικὸν
συστατικὸν ἐμφανίζεται ὁ μακροσκοπικῶς παρατηρηθεὶς βιοτίτης μὲ
ὅπτικὰ χαρακτηριστικὰ αἰσθητῶς διαφέροντα τῶν συνήθων. 'Ἐν ἀντι-
θέσει πρὸς τὸν κανονικὸν βιοτίτην, τοῦ δποίου ἡ γωνία τῶν ὅπτι-
κῶν ἀξόνων εἶναι συνήθως πολὺ μικρά, ἐνταῦθα ἐπὶ τομῶν (001)
παρετηρήθη μεγάλη γωνία ὅπτικῶν ἀξόνων συνοδευομένη καὶ ἀπὸ
σαφῆ πλεοχροίσμαδὸν μὲ $\Psi = \text{κίτρινον } Z = \text{έρυθροκαστάνινον}$ καὶ
Ισχυρὸν διασκεδασμὸν μὲ $\rho < u$. Τοιοῦτος βιοτίτης μὲ γωνίαν $2E = 70^\circ$
ἀναφέρεται εἰς τὴν βιβλιογραφίαν (21 σελ. 373) ὡς σπανία περί-
πτωσις. Διὰ τὴν ἐκτέλεσιν μετρήσεων ὅπτικῶν σταθερῶν ἀπεχωρί-
σθησαν πέταλα βιοτίτου ἐκ τοῦ πετρώματος καὶ ἐμετρήθησαν οἱ δ. δ.
διὰ τῆς κλίμακος ὑγρῶν Shillaber, καὶ ἡ γωνία $2E$ κωνοσκοπικῶς
ἐκ τῆς ἀποστάσεως τῶν ἵχνῶν τῶν ὅπτικῶν ἀξόνων διὰ θέσιν τοῦ
ἐπιπέδου αὐτῶν ὑπὸ γωνίαν 45° ὡς πρὸς τὰ πρίσματα Nicol. Αἱ
εὐρεθεῖσαι τιμαὶ εἶναι $2E = 72^\circ, 5$ καὶ δ. δ. $Z = 1,692$, $\Psi = 1,688$.

'Ανάλογος περίπτωσις ἔχει παρατηρηθῆ ἐις δακίτας τῶν δυτι-
κῶν Κορδιλιέρων (16 σελ. 576), οἱ δποίοι περιέχουν πρασίνην κεροστίλ-
βην καὶ ύποπράσινον βιοτίτην. Εἰς τινα δύμας δείγματα τοῦ ἐν λόγῳ
κοιτάσματος ἀμφότερα τὰ δρυκτὰ παρουσιάζουν ἐρυθροκαστάνινον
χρῶμα δφειλόμενον εἰς πύρωσιν, πρᾶγμα τὸ δποίον ἐβεβαιώθη καὶ
πειραματικῶς διὰ πυρώσεως τοῦ ύποπράσινου αὐτοῦ βιοτίτου. Εἰς
τοιαύτην πύρωσιν ἀπὸ $650^\circ - 1000^\circ$ ἡ γωνία $2E$ ἀπὸ λίαν μικρᾶς
ἔφθασε μέχρι καὶ τῶν 82° . Τὸ ἐρυθροκαστάνινον χρῶμα καὶ ἡ αὐ-
ξησις τῆς τιμῆς τῶν δεικτῶν διαθλάσσεως δφειλεται εἰς δξείδωσιν
τοῦ σιδήρου, δπερ ἐπιβεβαιώνει καὶ ἡ χημικὴ ἀνάλυσις. Πράγματι
εἰς τὸ πέτρωμα τῆς Λιασέλλας ἡ ἐκατοστιαία ἀναλογία τοῦ FeO ἔχει
τὴν μικροτέραν τιμήν, καὶ ἀπολύτως, καὶ σχετικῶς, πρὸς τὴν τοῦ
 Fe_2O_3 . Πέταλά τινα βιοτίτου παρουσιάζουν ζωηροτάτην κάμψιν
πολλάκις μέχρις 90° λόγῳ πιέσεως ἐκ τῆς λάβας. 'Ἐκ τῶν ύπολοι-

πων φεμικῶν ύπαρχει πράσινος αύγίτης πλεοχροϊκός X = πρασινοκίτρινος, Ψ = κιτρινοπράσινος, Z = πράσινος. Ἐμφανής διακεδασμός τῶν δπτικῶν ἀξόνων μὲν υ<ρ. Ἐπίσης δλίγοι κρύσταλλοι τιτανίτου ὡς καὶ ἀρκετὸς μαγνητίτης. Ἡ ἀφανιτικὴ θεμελιώδης μᾶζα σκοτεινόχρωμος μὲν ὑφὴν ύαλοπιλιτικὴν περιλαμβάνει ἔξαιρετικὰ μικρούς μικρολίθους ἀστρίων. Ἐκ τῆς ἐμβαδομετρήσεως τῆς μικροσκοπικῆς τομῆς προέκυψεν ἡ ἔξῆς κατ' ὅγκον ἐκατοστιαλα ἀναλογία:

Ἀφανιτικὴ μᾶζα 78,75%, Βιοτίτης 5,13%,

Πλαγιόκλαστα 14,85%, Αύγίτης (καὶ ἐπουσιώδη ὄρυκτ.) 1,27%

Μακροσκοπικὴ καὶ μικροσκοπικὴ ἔξέτασις θὰ διέστελλον τὰ δείγματα τοῦ Δεσπότη καὶ τῆς Λιασέλλας ὡς ἀνήκοντα εἰς δύο διαφόρους πετρογραφικούς τύπους. Τὸ ἀδύνατον τῆς ἔξακριβώσεως διὰ μικροσκοπικῆς δόδοις τῆς συστάσεως τῆς ἀφανιτικῆς μᾶζης καθιστᾶ ἰδιαιτέρως εἰς τὴν περίπτωσιν ταύτην ἀπαραίτητον τὴν χημικὴν ἀνάλυσιν διὰ τὸν χαρακτηρισμὸν τοῦ πετρώματος.

Πράγματι ὡς περιγράφεται εἰς τὸ εἰδικὸν μέρος τῆς ἀναλύσεως τῶν ἡφαιστιῶν τῆς Ἀλμωπίας τὰ τόσον διάφορα μακροσκοπικῶς καὶ μικροσκοπικῶς ταῦτα πετρώματα ἔχουν σχεδὸν τὴν αὐτὴν χημικὴν σύστασιν. Αἱ ἴστολογικαὶ καὶ μορφολογικαὶ διαφοραὶ διφελονται προφανῶς εἰς τὰς διαφορετικὰς συνθήκας κρυσταλλώσεως τοῦ κοινοῦ μάγματος, τὸ ὅποιον ἐτροφοδότησεν ἀμφοτέρας τὰς ἐμφανίσεις ταύτας. Οὕτως δὲ μὲν ἡφαιστίτης τοῦ Δεσπότη φαίνεται ὅτι ἐσχηματίσθη διὰ βραδείας ψύξεως τοῦ μάγματος, πρᾶγμα τὸ ὅποιον ἐπέτρεψε τὸν σχηματισμὸν μεγάλων φαινοκρυστάλλων, ἐνῷ δὲ ἡφαιστίτης τῆς Λιασέλλας ὡς δεικνύει καὶ ἡ ρευστικὴ ὑφὴ τοῦ πετρώματος ἐκρυσταλλώθη ἐγγύτερον τῆς ἐπιφανείας.

6. Κρόπ

Δυτικῶς τῆς Λιασέλλας συναντᾶται ἐπίσης ύπό μορφὴν θόλου ἐκτάσεως 1,5 περίπου τετραγ. χιλμ. δὲ ἡφαιστίτης τοῦ Κρόπτ καλύπτων ύπό μορφὴν ρεύματος τούς γύρω τόφφους, ἐντὸς τῶν ὅποιων συναντῶνται ποικίλης συστάσεως ἀναβλήματα. Τὴν κορυφὴν τοῦ λόφου Κρόπτ κατέχει ώλικὸν μαῦρον πλούσιον εἰς φαινοκρυστάλλους βιοτίτου καὶ ἀστρίων ὁμοιάζον, ἔξαιρέσει τοῦ χρώματος, μὲν τὸν ἡφαιστίτην τῆς Λιασέλλας.

Ὑπὸ τὸ πολωτικὸν μικροσκόπιον παρατηροῦνται πλαγιόκλαστα πολυδύμους καὶ ζωνώδους κατασκευῆς μὲν ὑαλώδη ἐγκλεισμάτα.

Μέτρησις διά τῆς τραπέζης Fedorov ἔδειξεν, ώς κατωτέρω, διαφάνεια πλαγιοκλαστικής άνήκουν εἰς ἀνδεσίνην.

Δίδυμος. Τμῆμα I N=165 H=29α E.Σ. (010)

N=130,5 H=37α Z 2 V_z=82°

N=222 H=0 Ψ K=12 O.A.

Τμῆμα II N=275 H=28δ Ψ K=36 O.A.

N=11 H=12δ Z 2 V_z=80°

Διδυμία Albit ΨΛΨ=58°...43%, An

ZΛΖ=59°...44%, An

Μέγιστον κατασβέσεως ἐπὶ τῆς ζώνης συμμετρίας X' Λ (010)=30°...45%, An.

‘Η περιεκτικότης εἰς ἀνορθίτην κυμαίνεται ἀπὸ 42-53%.

Σανίδινον ἀπουσιάζει. ‘Εκ τῶν φεμικῶν ὑπάρχει κυρίως βιοτίτης καὶ πράσινος αὐγίτης. Εἰς μίαν τῶν τομῶν παρετηρήθη δίδυμος αὐγίτου κατὰ (100) εἰς κανονικὴν σύμφυσιν μὲ κρυστάλλους βιοτίτου ἐγκλειούμενους ἐντὸς αὐτοῦ, εἰς τρόπον ὅστε ἡ ἔδρα (001) τοῦ βιοτίτου νὰ ταυτίζεται μὲ τὴν (100) τοῦ αὐγίτου. Τοιαῦται συμφύσεις μεταξὺ δύρκτῶν συγγενοῦς δομῆς ἔχουν παρατηρηθῆ συχναὶ προκειμένου περὶ πυροξένων καὶ ἀμφιβόλων. Σύμφυσις βιοτίτου μὲ αὐγίτην ἀπαξ μόνον ἀναφέρεται εἰς τὴν βιβλιογραφίαν (6 σελ. 535) παρατηρηθεῖσα ὑπὸ τοῦ G. V. Rath μὲ συνταύτισιν τοῦ ἐπιπέδου (001) τοῦ βιοτίτου πρὸς τὸ (010) τοῦ αὐγίτου. Τὸ εἶδος τῆς παρ’ ἥμῶν παρατηρηθείσης συμφύσεως κατὰ τὴν προσιτὴν εἰς ἥμᾶς βιβλιογραφίαν διὰ πρώτην φορὰν παρατηρεῖται. ‘Η διαπίστωσις τῆς κανονικῆς αὐτῆς συμφύσεως ἐγένετο διὰ μετρήσεων εἰς τὴν τράπεζαν τοῦ Fedorov τῆς θέσεως τῶν ἀξόνων ἐλαστικότητος X καὶ Z, ώς καὶ τοῦ ἐπιπέδου (100) τοῦ αὐγίτου συμπίπτοντος μὲ τὸ (001) τοῦ βιοτίτου.

N=266 H=16δ X αὐγίτου

N=354 H=10,5α Z

N=309 H=2δ (100) αὐγίτου καὶ (001) βιοτίτου

‘Επουσιώδη δύρκτα εἰναι ἀπατίτης καὶ μαγνητίτης. ‘Η ἀφανιτικὴ μάζα ὑαλώδης πλήρης τριχιτῶν μὲ σαφεστάτην ρευστικὴν ὑφὴν (Πιν. V. εἰκ. 1).

Καὶ ἐνταῦθα ἡ παρουσία ἀφθόνου ὑαλώδους ἀφανιτικῆς μάζης καθιστᾶ ἀδύνατον τὸν μετὰ βεβαιότητος χαρακτηρισμὸν τοῦ εἴδους τοῦ πετρώματος. ‘Ο τύπος του καθωρίσθη διὰ χημικῆς ἀναλύσεως περὶ ἡς θα γίνη μνεία εἰς τὸ οἰκεῖον μέρος. ‘Η ἐμβαδομέτρησις τῶν συστατικῶν τῆς μικροσκοπικῆς τομῆς ἔδωσε τὴν ἔξῆς κατ’ ὅγκον ἀναλογίαν αὐτῶν:

Αφανιτική μᾶζα 72,93 %
Πλαγιόκλαστα 22,07 %

Βιοτίτης 2,39 %
Αύγιτης (καὶ ἐπουσιώδη) 2,61 %

7. Σμπόρσκα—Ρέκα

Αποτελεῖ μικράν ἐμφάνισιν εἰς τὸ μέσον περίπου τῆς ἀποστάσεως Λιασέλλας—Παπαδιᾶς. Τὸ πέτρωμα παρουσιάζει μακροσκοπικῶς φαινοκρυστάλλους κεροστίλβης ἥλλοιωμένους, ὡς καὶ πλαγιοκλάστων, ἐντὸς λευκοτέφρου ἀφανιτικῆς μάζης. Σανίδινον ἔλλειπει ἔξ δόλοκλήρου. Ὅπο τὸ μικροσκόπιον ἡ ἀφανιτικὴ μᾶζα ἐμφανίζεται ἀποτελουμένη ἔξ υάλου διασχιζομένης ἀπὸ φλεβίδια μὲ μικροκρυσταλλοφυῆ συσσωματώματα χαλαζίου προφανῶς σχηματισθέντα δευτερογενῶς ἐκ τῆς ἐπιδράσεως πυριτιούχων διαλυμάτων. Ἡ κεροστίλβη καστανόχρους κατὰ τὸ πλεῖστον διαβεβρωμένη μαγματικῶς ἐντὸς τοῦ βιτροφυρικοῦ ἰστοῦ. Σημαντικὴ παρουσία ἀσβεστίτου. Γενικῶς τὸ πέτρωμα δεικνύει προκεχωρημένην ἀποσάθρωσιν κωλύουσαν τόσον τὸν διὰ μικροσκοπικῆς ὅσον καὶ διὰ χημικῆς ὁδοῦ ἀκριβῆ προσδιορισμὸν αὐτοῦ. Ομοιάζει μᾶλλον πρὸς τὸν ἄνδεστίτην τοῦ Μπαλτατσοῦκο.

8. Περιοχὴ Πόλοβιτς—Καμήλας—Κόζιακα (1784)

α) Πόλοβιτς—Καμήλα. Ἡ ἐμφάνισις Πόλοβιτς—Καμήλας κατὰ μῆκος τῶν πρὸς τὴν Γιουγκοσλαվίαν συνόρων καταλαμβάνει τὸ ΒΔ τμῆμα τῆς ὁρεινῆς Ἀλμωπίας. Πρόκειται περὶ ἑνὸς ἐκτεταμένου καλύμματος ἥφαιστειακῆς λάβας 2 περίπου τετρ. χιλμ., τὸ ὅποιον ὑπέρκειται τῶν τόφφων τῆς περιοχῆς καὶ διακόπτεται κατὰ χώρους συνεπείᾳ τῆς διαβρώσεως. Τοὺς ἥφαιστίτας τῆς περιοχῆς αὐτῆς χαρακτηρίζει λάβα σκοτεινοῦ χρώματος μὲ πολὺ μικροὺς φαινοκρυστάλλους ἐρχομένη εἰς σαφῆ ἀντίθεσιν πρὸς τὰς λάβας τῶν ἄλλων περιοχῶν. Ἐξαιρέσει τῆς ἐμφανίσεως Σαμομποῦκα, ἡ ὅποια ἀπὸ τῆς ἀπόψεως αὐτῆς προσομοιάζει πρὸς τὰς λάβας τῆς ἀνωτέρω περιοχῆς, ὅλαι αἱ ὑπόλοιποι ἐμφανίσεις πρὸς Νότον αὐτῆς εἶναι κατὰ τὸ πλεῖστον ἀδροκρυσταλλικαὶ καὶ ἀνοικτοτέρου χρώματος.

Τὸ δεῖγμα τῆς Καμήλας παρουσιάζει ἀφθονίαν μικρῶν πετάλων βιοτίτου, ἐνῷ εἰς τὸ δεῖγμα τοῦ Πόλοβιτς ἐμφανίζονται σποραδικῶς χαρακτηριστικοὶ ἴδιομορφοι κρύσταλλοι σανίδινοι, τὸ ὅποιον ἀπουσιάζει ἔξ δόλοκλήρου ἀπὸ τὸ πέτρωμα τῆς Καμήλας.

Εἰς τὸν ἥφαιστίτην τῆς Καμήλας παρατηροῦνται ὑπὸ τὸ μικροσκόπιον φαινοκρύσταλλοι πλαγιοκλάστων συνήθως χωρὶς πολυδύ-

μους ταινιώσεις, πολλάκις ζωνώδους δομής μὲν ἐναλλασσομένην περιεκτικότητα εἰς ἀνορθίτην καὶ μὲν ὑαλώδη ἔγκλεισματα. Εἰς φαινοκρυστάλλους ἀστρίων ζωνώδους δομής μᾶλλον δξίνους (33%, Αι) παρετηρήθη κατὰ τὴν περιφέρειαν στιβάς βασικωτέρα (43%, Αι), τῆς δποίας ἔπειται ἡ τελικὴ περιφερικὴ στιβάς μὲν σύστασιν πάλιν δλιγάτερον βασικήν (30%, Αι). Ἡ γενικῶς εἰς δλους τοὺς ἀστρίους τῶν ἡφαιστιτῶν τῆς Ἀλμωπίας συχνάκις παρατηρηθεῖσα τοιαύτη περιοδικὴ ἐπανάληψις ζωνῶν μὲν ἐναλλασσομένην περιεκτικότητα εἰς Αι μαρτυρεῖ μεταβολάς τῶν φυσικοχημικῶν συνθηκῶν τοῦ μάγματος πρὸ τῆς ἐκχύσεώς του ἐπὶ τῆς ἐπιφανείας. Εἶναι φυσικὸν εἰς τὸ ἀποκείμενον ὑπογείως μάγμα, λόγῳ ἀνίσου ψύξεως αὐτοῦ εἰς διάφορα σημεῖα, νὰ σχηματίζωνται ρεύματα μεταφορᾶς, τὰ δποία φέρουν τοὺς ἐν σχηματισμῷ φαινοκρυστάλλους αὐτοῦ εἰς περιοχάς μὲ διάφορον θερμοκρασίαν, καὶ διάφορον κατὰ τι σύστασιν, ἐξαρτωμένην ἀπὸ τὸ ποσὸν τῶν ἀποβληθέντων εἰς τὸ τμῆμα τοῦτο τοῦ μάγματος φαινοκρυστάλλων. Τοιαῦται μεταβολαὶ φυσικοχημικῶν συνθηκῶν, αἱ δποίαι εἶναι φυσικῶτερον νὰ μὴ εἶναι μονότροποι ἀλλὰ παλίνδρομοι, ἐξηγοῦν τὴν παρατηρουμένην ἐναλλαγὴν ζωνῶν μὲ αὐξομειουμένην περιεκτικότητα εἰς ἀνορθίτην, ὡς καὶ τὴν διάβρωσιν καὶ τὸν σχηματισμὸν διαβρωσιγενῶν ζωνῶν ἐντὸς τῶν ἀστρίων, ὡς ἀνεφέρθη προηγουμένως.

Ἐκ τῶν ὑπολοίπων συστατικῶν τοῦ πετρώματος διακρίνονται φαινοκρύσταλλοι βιοτίου διαβεβρωμένοι (πρώτης γενεᾶς κρυσταλλώσεως) καὶ ἀδιάβρωτοι (δευτέρας γενεᾶς κρυσταλλώσεως). Ἐπίσης ὑπάρχει αὐγίτης δλιγάτερος τοῦ βιοτίου. Ἐλάχιστος ἀσβεστίτης δευτερογενῶς σχηματισθείς. Ἀφανιτικὴ μᾶζα στιφρὰ μικροκρυσταλλική. Ἡ ἐμβαδομέτρησις μικροσκοπικῆς τομῆς ἔδωσε τὴν ἔξῆς κατ' ὅγκον ἐκατοστιαλαν ἀναλογίαν τῶν συστατικῶν.

Ἀφανιτικὴ μᾶζα 73,20%
Βιοτίτης 8,32%
Πλαγιόκλαστα 16,11%
Αὐγίτης (καὶ ἐπουσιώδη) 2,37%

Καὶ ἐνταῦθα δὲν εἶναι ἀσφαλής ὁ προσδιορισμὸς τοῦ πετρώματος διὰ μόνης τῆς μικροσκοπικῆς ὁδοῦ.

Ο ἡφαιστίτης τοῦ Πόλοβιτς ὑπὸ τὸ μικροσκόπιον παρουσιάζει κατὰ τὸ πλεῖστον ζωνώδη καὶ πολυδύμου δομῆς πλαγιόκλαστα μὲν ἐναλλασσομένας ζώνας περιεκτικότητος εἰς Αι ἀπὸ 33%—50%, ἔγκλειστα ὑαλώδη ἔγκλεισματα. Ἐκ τῶν διδυμῶν συνήθης ἡ τοῦ ἀλβιτικοῦ νόμου, δλιγάτερον διαδεδομένη ἡ κατὰ Karlsbad καὶ ἡ τοῦ περικλινοῦς.

Μέτρησις διὰ τῆς τραπέζης Fedorov ἐπὶ τριδύμου ἀνδεσίγουν ἔδωσε τὰ ἔξῆς στοιχεῖα:

Τμήμα I	N=358	H=27α	E.Σ. (010)	
	N=332,5	H=29α	Z	2V _x =82°
	N= 63	H= 2α	Ψ K= 12 O.A.	
Τμήμα II	N=284	H=19α	Ψ K=340 O.A.	
	N=201	H=20δ	Z	2V _x =82°
Τμήμα III	N= 7	H=26α	E.Σ. (010)	
	N=270	H=11α	E.Σ. (001)	
	N= 28	H=16α	Z	2V _x =80°
	N=292	H=20α	Ψ K=337 O.A.	
Τμήματα I-II εις διδυμίαν Albit		I-III εις διδυμίαν Periklin		
ΨΛΨ=45° ...34°/° An		ΨΛΨ=52° ... 33,5% An		
ZΛZ=45° ...33,5°/° An		ZΛZ=53° ... 34%, An		

Σποραδικώς ύπάρχουν κρύσταλλοι σανιδίνου. Έκ των φεμικῶν φαινοκρύσταλλοι κυρίως βιοτίτου, δόλιγης κεροστίλβης καὶ δόλιγου πρασίνου αὐγίτου πλεοχροϊκοῦ, ἐν μέρει δπαλλιωθέντος. Παρετηρήθησαν τομαὶ μὲ τὸ χαρακτηριστικὸν ὀκταγωνικὸν σχῆμα τοῦ αὐγίτου εἰς θέσιν κάθετον πρὸς εἰποτελούμεναι ἐξ δλοκλήρου ἀπὸ δπάλλιον. Ἡ ἀφανιτικὴ μᾶζα στιφρὰ ὑαλοπιλιτικῆς ύφῆς. Καὶ ἐνταῦθα διὰ τὸν προσδιορισμὸν λόγῳ τῆς συγγενείας πρὸς τὸ πέτρωμα τοῦ ὅρους Καμήλα θὰ λάβωμεν ὑπ’ ὅψιν τὴν δι’ αὐτὸν γενομένην χημικὴν ἀνάλυσιν.

6) Κόζιακας (1784)—Βουνὸ Βαγγέλη—Μαῦρα Πεῦκα. Εἰς τὴν ἐν λόγῳ περιοχὴν συναντῶνται μεταξὺ τῶν τόφφων μικρᾶς ἔκτάσεως συμπαγεῖς ἡφαιστειογενεῖς μᾶζαι συστάσεως προσομοίας πρὸς τὴν τῶν προηγουμένως περιγραφέντων τύπων. Εἶδοικά τερον τὸ ύλικὸν ἐξ οὗ ἀποτελεῖται τὸ ὅρος Κόζιακας κατὰ τὴν κορυφὴν αὐτοῦ (ὑψ. 1784) εἶναι τελείως ἀποσάθρωμένον. Ὡρισμένα τμήματα εύρισκομενα ὑπὸ μορφὴν μικρῶν ὀωειδῶν ἐγκλεισμάτων σκοτεινοῦ χρώματος, ἄτινα μακροσκοπικῶς φαίνονται δόλιγώτερον ἡλλοιωμένα, δεικνύουν ὑπὸ τὸ μικροσκόπιον ἐπίσης προκεχωρημένην ἀποσάθρωσιν. Πλὴν τοῦ ἀφθονούμοντος ἀσβεστίτου διακρίνονται ὑπολείμματα πλαγιοκλάστων ζωνώδους καὶ πολυδύμου συστάσεως τῆς περιοχῆς τοῦ ἀνδεσίνου, ὡς καὶ φαινοκρύσταλλοι κεροστίλβης ἐξ δλοκλήρου διαβεβρωμένης. Ἡ ἀφανιτικὴ μᾶζα εἶναι δλοκρυσταλλικὴ πιλιτικῆς ύφῆς. Ἡ προκεχωρημένη ἀποσάθρωσις τοῦ πετρώματος κωλύει λεπτομερεστέραν μικροσκοπικὴν ἐξέτασιν.

Παρὰ τὴν θέσιν Μαῦρα Πεῦκα συναντᾶται μεταξὺ τῶν τόφφων φλεβικὸν ύλικὸν διασχίζον αὐτοὺς ὑπὸ μορφὴν πολὺ λεπτῶν φλεβῶν πάχους μερικῶν ἐκατοστῶν. Μικροσκοπικῶς ἐξεταζόμενον τὸ ύλικὸν τοῦτο δεικνύει παρουσίαν ἀλκαλιούχων ἀστρίων (σαν-

δινον), πλαγιοκλάστων (32—33°, Αη) ώς καὶ ἀφθονίαν βιοτίου τόσον εἰς φαινοκρυστάλλους δσον καὶ εἰς τὴν ἀφανιτικὴν μᾶζαν, ἥτις εἶναι δλοκρυσταλλικὴ ἐγκλείσουσα κατὰ χώρους συσσωματώματα ἐκ χαλαζίου πιθανῶς δένης πρὸς τὸν φλεβίτην προελεύσεως. "Εντονα πρωτοκλαστικὰ φαινόμενα. Ἡ ἀφανιτικὴ θεμελιώδης μᾶζα ἀνεπτυγμένη καλῶς, δπως γενικῶς συμβαίνει εἰς τοὺς λαμπροφύρας.

Μεταξὺ τῶν τόφφων τῶν εύρισκομένων εἰς τὸ μέσον περίπου τῆς ἀποστάσεως Μαδρα Πεδικα—Πόλοβιτς συνηντήθη ἀνάβλημα περιέχον μεταξύ τῶν συστατικῶν του χριστοβαλίτην. Εἰς τὴν περιοχὴν αὐτὴν ἐπίσης πολλὰ ἀναβλήματα μακροσκοπικῶς ἔξεταζόμενα φαίνονται νὰ περιέχουν ἐγκλείσματα. Διὰ τῆς μικροσκοπικῆς ὅμως ἔξετάσεως ἀποδεικνύεται ὅτι ταῦτα εἶναι τῆς Ἰδίας συστάσεως μὲ τὸν ὑπόλοιπον ἡφαιστίτην, καὶ ὅτι πρόκειται μόνον περὶ μιᾶς φαινομενικῆς μεταβολῆς τοῦ χρώματος τῆς ἀφανιτικῆς μᾶζης εἰς διάφορα σημεῖα τοῦ πετρώματος. Γενικῶς παρ' ὅτι ἐπιμόνως ἀνεζητήθησαν ἐγκλείσματα οὐδαμοῦ δλοκλήρου τῆς περιοχῆς τῆς Ἀλμωπίας συνηντήθησαν.

9. Σαμομποῦκα

ΝΔ τοῦ Κόζιακα (1784)—Βουνὸν Βαγγέλη συναντῶνται πάλιν τὰ κρυσταλλοσχιστώδη πετρώματα (γνεύσιοι, χλωριτικοὶ σχιστόλιθοι, φυλλίται), ἐξ ὧν ἀποτελεῖται τὸ δρεινὸν συγκρότημα τοῦ Κόζιακα (ύψ. 1817). Νοτίως τῆς ἀνωτέρω περιοχῆς συναντᾶται ὁ ἡφαιστίτης τῆς Σαμομποῦκα ἐκτάσεως 1 τετρ. χιλι. περίπου, φλεβοειδοῦς μορφῆς. Ὁ ἐν λόγῳ ἡφαιστίτης ἀποτελεῖ 1διον τύπον τόσον ἀπὸ μακροσκοπικῆς δσον καὶ ἀπὸ μικροσκοπικῆς πλευρᾶς, πρᾶγμα ἐπαληθευθὲν καὶ διὰ τῆς χημικῆς ἀναλύσεως. Ἐντὸς τῆς σκοτεινοῦ χρώματος ἀφανιτικῆς μᾶζης διακρίνονται διὰ γυμνοῦ δόφθαλμοῦ ἐπιμήκεις στίλβοντες πρισματικοὶ κρύσταλλοι κεροστίλβης πάχους μὴ ὑπερβαίνοντος τὸ χιλιοστὸν καὶ μήκους μέχρι καὶ 5 χιλιοστῶν εἰς διάταξιν ρευστικήν. Φαινοκρύσταλλοι πλαγιοκλάστων σχετικῶς ὀλίγοι καὶ μικρῶν διαστάσεων. Γενικῶς καὶ ἐνταῦθα ὡς καὶ εἰς τὴν περίπτωσιν τοῦ ἡφαιστίου τῆς Καμήλας οἱ φαινοκρύσταλλοι εἶναι πολὺ μικρῶν διαστάσεων, πρᾶγμα ποὺ διακρίνει τὰ πετρώματα αὐτὰ τόσον ἀπὸ τὰ τῆς περιοχῆς Δεσπότη—Μπαλτατσοῦκο—Γκολόγκερέο δσον καὶ ἀπὸ τὰ τῆς περιοχῆς Κακουροῦ—Σφῆνες—Πέτερνικ.

Ὑπὸ τὸ μικροσκόπιον παρετηρήθησαν πλαγιόκλαστα πολυδύμου καὶ ζωνώδους συστάσεως πολὺ βασικά, εἰς οὐδεμίαν ἄλλην ἐμφάνισιν παρατηρηθέντα. Τὸ μεγαλύτερον τμῆμα τῶν φαινοκρυ-

στάλλων τῶν ἀστρίων εἶναι περιεκτικότητος $80-85\%$. Απ. (βυτωβνίτης), περιβάλλεται δὲ ἀπό ἔξωταν φλοιὸν λαβραδορίου 62% . Απ. Παραθέτομεν μέτρησιν διὰ τῆς τραπέζης Fedorov εἰς δίδυμον Karlshad.

Τμῆμα I	N=199	H=24,58	E.S. (010)	
	N=116	H= 5,5α	E.S. (001)	
	N=150	H=15,58	Z	$2V_x = 84^\circ$
	N=232	H=25α	Ψ K=335	O.A.
Τμῆμα II	N=231,5	H=27α	Ψ K= 48,5	O.A.
	N=322	H= 0	X	$2V_x = 83^\circ$

Αἱ γωνίαι $Z\Lambda Z=73^\circ$ καὶ $\chi\lambda\chi=107^\circ$ δὲν παρέχουν σαφή δρια περὶ τῆς περιεκτικότητος λόγῳ τῆς μορφῆς τῶν ἀντιστοίχων καμπύλων εἰς ἔκεινην τὴν περιοχὴν τοῦ διαγράμματος (20) κυμανομένης τῆς περιεκτικότητος εἰς Απ. $85-95\%$. Λαμβανομένης δύμας καὶ τῆς βοηθητικῆς τιμῆς τοῦ μεγίστου Χ'Λ (010)= 51° εύρισκομεν διὰ τῆς ἀντιστοίχου καμπύλης τῆς ὑψηλῆς θερμοκρασίας 85° Απ (βυτωβνίτης). Τὰ πλαγιόκλαστα περιέχουν καστανά ύαλωδη ἐγκλείσματα πολλάκις ἀφυαλωθέντα καταλαμβάνοντα συχνὰ τὸν πυρήνα τοῦ κρυστάλλου ἢ δακτυλιοειδῶς διατιθέμενα, ὡς καὶ σκοτεινότερα ύλικά ὑψηλῆς διπλοθλαστικότητος, λίαν λεπτοκρυσταλλικά εἰς στιφρὰ συσσωματώματα πολλάκις σφαιρολιθικῆς ὑφῆς ἀπροσδιορίστου φύσεως. Ἐκ τῶν φεμικῶν συστατικῶν κυριαρχεῖ ἡ πράσινη κεροστίλβη μαγματικῶς διαβεβρωμένη (Πιν. V εἰκ. 2) πλεοχροϊκή, διπού διασωζεται ἀναλλοίωτος πυρήν, μὲν X = πρασινοκίτρινον, Ψ = καστανοπράσινον Z = πράσινον καὶ κατασβεστικὴν γωνίαν $Z\Lambda c=20^\circ$. Γωνία δόπτικῶν ἀξόνων μετρηθεῖσα διὰ τῆς τραπέζης Fedorov εὑρέθη $2V_x = 82^\circ$. Οἱ φαινοκρύσταλλοι τοῦ αὐγίτου πολὺ δόλιγάτεροι τῶν τῆς κεροστίλβης πολλάκις ἐν συμφύσει μὲν αὐτούς. Ἐκ τῶν ὑπολοίπων ἐπουσιωδῶν δρυκτῶν παρετηρήθησαν κρύσταλλοι ἀπατίτου ἐγκεκλεισμένοι ἐντὸς πλαγιοκλάστων, καὶ μεμονωμένοις κρύσταλλος δλιβίνου. Ἡ ἀφανιτικὴ θεμελιώδης μᾶζα ὑφῆς τραχειτικῆς εἶναι μικροκρυσταλλικὴ μὲν ἀφθονίσαν μικρολιθῶν αὐγίτου καὶ μαγγητίτου. Ἐκ τῆς ἐμβαδομετρήσεως προέκυψεν: ἀφανιτικὴ μᾶζα $78,41\%$, κατ' ὅγκον, κεροστίλβη $13,32\%$, πλαγιόκλαστα $7,19\%$, αὐγίτης (καὶ ἐπουσιωδή) $1,08\%$. Τὸ πέτρωμα χαρακτηρίζεται ὡς κεροστίλβικός ἀνδεσίτης.

10. Περιοχὴ Γκράβιτσας—Ποποβολόζι—Γκρέκα—”Ανω Πέτερνικ

Νοτίως τῆς Σαμομπούκα καὶ κατὰ μῆκος τῶν συνόρων ἐπὶ ἀποστάσεως 3 χιλμ. συναντᾶται ἡμιμεταμορφωμένον σύστημα ψαμμιτῶν μέχρι τῆς ἐμφανίσεως Γκράβιτσα (ὑψ. 1839 μ.). Ἡ κορυφὴ

τῆς Γκράβιτσας διαμορφούται εἰς ἀπόκρημνον κωνοειδή λόφον κατερχόμενον ἀποτόμως ἀπὸ βορρᾶ εἰς τὴν ὑποκειμένην βαθείαν χαράδρα. Νοτίως τοῦ ἡφαιστίτου τῆς Γκράβιτσας συναντάται δὲ ἡφαιστίτης τοῦ Ποποβολόζι (ύψ. 1772) ἐπίσης θολοειδοῦς σχήματος καὶ ἐν συνεχείᾳ ἡ μικροτέρα ἐμφάνισις τῆς Γκρέκα. "Ολον τὸ ἀνωτέρω συγκρότημα καταλαμβάνει ἔκτασιν περίπου 1,5 τετρ. χιλιμ. Ἀνατολικῶς τῆς Γκρέκα καὶ εἰς εὐθεῖαν ἀπόστασιν 2 χιλιμ. ἀπ' αὐτῆς διαμορφούται θολοειδῶς μὲν φλεβοειδεῖς μικράς διακλαδώσεις πρὸς Β ὁ ἡφαιστίτης τοῦ "Ανω Πέτερνικ (ύψ. 1755) ἐκτάσεως 1 τετρ. χιλιμ. περίπου. Άλι ἐμφανίσεις Γκράβιτσας Ποποβολόζι ἀφ' ἐνός, καὶ Πέτερνικ ἀφ' ἑτέρου, μολονότι ἀποτελούσαι διάκριτα κέντρα ἐκρήξεων ἀνήκουν εἰς τὸν αὐτὸν πετρογραφικὸν τύπον. Ἐντὸς στιφρᾶς ἀφανιτικῆς μάζης μὲν σαφῇ ρευστικὴν ύφην, ύποπτρασίνου χρώματος διακρίνονται φαινοκρύσταλλοι πολυδύμων πλαγιοκλάστων καὶ μικροὶ πρασινόμαυροι πρισματικοὶ κρύσταλλοι αύγίτου. Ἰδιόμορφοι εὐμεγέθεις πλακώδεις κρύσταλλοι σανιδίνου ἐμφανίζονται ἀραιῶς παρενεσπαρμένοι ἐντὸς τοῦ πετρώματος. Κατ' ἀντίθεσιν πρὸς τὰ σανιδίνα τῶν μέχρι τοῦδε ἔξετασθέντων τύπων, τὰ ὅποια συνήθως εἶχον πρισματικὴν ἀνάπτυξιν κατὰ [100], τὰ σανιδίνα τοῦ ἐν λόγῳ πετρώματος παρουσιάζουν πλακώδη ἀνάπτυξιν κατὰ (010).

Οἱ ἡφαιστίτης τῆς Γκράβιτσας ἔχει ἀναλυθῆ ἔχει ἀναλυθῆ χημικῶς καὶ περιγραφῆ λεπτομερῶς ἡ μικροσκοπικὴ αὐτοῦ σύστασις ὑπὸ τοῦ Tajder χαρακτηρίσαντος αὐτὸν ὡς ἀρσοῖτην (18). Τὴν παρουσίαν τοῦ τύπου τούτου μὲν παραπλήσια μικροσκοπικὰ χαρακτηριστικά πρὸς τὰ περιγραφέντα ὑπὸ τοῦ Tajder συναντῶμεν ἐπίσης εἰς τὸ Ποποβολόζι καὶ τὸ "Ανω Πέτερνικ (Πιν. V εἰκ. 3 καὶ 4). Εἰς συμπαγῆ καὶ τεφροῦ χρώματος δλοκρυσταλλικὴν μᾶζαν μὲν τυπικὸν τραχειτικὸν ἴστὸν παρατηροῦνται φαινοκρύσταλλοι ἀνδεσίνου, ζωνώδους δομῆς, περιεκτικότητος εἰς ἀνορθίτην 35—45%, οἱ ὅποιοι κατὰ κανόνα περιβάλλονται ἀπὸ στενὴν λωρίδα ἀνορθοκλάστου ἐν κανονικῇ συμφύσει πρὸς τὰ πλαγιοκλάστα. Κατὰ τὰ δρια τῆς διαχωριστικῆς ἐπιφανείας μεταξὺ ἀνορθοκλάστου καὶ πλαγιοκλάστων παρατηρεῖται συσσώρευσις μικρολίθων αύγίτου μὲν ρευστικὴν διάταξιν περὶ τὰ διαχωριστικὰ ταῦτα δρια. Ἡ εἰκὼν αὕτη ἐρμηνεύει τὰς συνθήκας σχηματισμοῦ τῆς ἐν λόγῳ συμφύσεως. Πέριξ τῶν φαινοκρυστάλλων τῶν πλαγιοκλάστων τῆς πρώτης γενεᾶς κρυσταλλώσεως ἀπετέθησαν οἱ μικρόλιθοι τοῦ αύγίτου τῆς δευτέρας γενεᾶς κρυσταλλώσεως, μὲ τὴν συνήθη εἰς τὸν τραχειτικὸν ἴστὸν ρευστικὴν διάταξιν, μεθ' ὃ ἐπηκολούθησεν ἡ κρυσταλλώσις τῶν ύπολοί πων σαλικῶν συστατικῶν τοῦ μάγματος, ἥ ὅποια ἔδωσε τοὺς ἀστρίους τῆς ἀφανιτικῆς

μάζης, ένθι μέρος αύτων ἐκρυσταλλώθη ὡς μανδύας ἀνορθοκλάστου περὶ τὰ πλαγιόκλαστα (Πιν. V εἰκ. 3). Εἰς τὰ ύφ' ἡμῶν ἐρευνηθέντα δείγματα ἐσημειώθη μικροσκοπικῶς καὶ ἡ παρουσία φαινοκρυστάλλων σανιδίνου, δπερ δὲν μημονεύεται ὑπὸ τοῦ *Tajder* μεταξὺ τῶν φαινοκρυστάλλων τοῦ πετρώματος. Ἐκ τῶν φεμικῶν συστατικῶν ὁ αὐγίτης ἀνήκων εἰς τὸν διοψιδικὸν αὐγίτην παρουσιάζει σαφῆ πλεοχροῖσμόν. Οἱ βιοτίται ἔχουν ἐξ ὀλοκλήρου διαβρωθῆ, εἰς τὴν διάβρωσιν δὲ αὐτὴν ὀφείλεται καὶ ἡ ἀφθονία τῶν κρυστάλλων τοῦ μαγνητίτου, ἐξ ὧν εἶναι κατάσπαρτον τὸ πέτρωμα. Ἡ ἀφανιτικὴ μᾶζα ἐξ ὀλοκλήρου κρυσταλλικὴ μὲ τυπικὸν τραχειτικὸν ἵστον ἀποτελεῖται ἀπὸ μικρολίθους σανιδίνου πλαγιοκλάστων καὶ αὐγίτῶν. Ὡς ἐπουσιώδη συστατικά ἀπαντοῦν εὑμεγέθεις κρύσταλλοι ἀπατίτου ἥδους χρώματος πλεοχροῖκοι (*πε=κυανοίδες* καὶ *πο=κιτρινοκυανοίδες*).

Τὸ πέτρωμα τοῦτο μὲ τὰ ὡς ἀνω φυσιογραφικὰ χαρακτηριστικά, περίβλημα ἀνορθοκλάστου περὶ τὰ πλαγιόκλαστα καὶ ἀφθονία μικρολίθων αὐγίτῶν, ἀποτελεῖ ἕδιον διάκριτον τύπον αὐγίτικοῦ τραχείτου.

Δύο δείγματα ἔκ τοῦ "Ανω Πέτερνικ ληφθέντα ἔκ διαφόρων σημείων αύτοῦ παρουσιάζουν παρὰ τὰς βασικὰς δμοιότητας πρὸς τὸν πετρογραφικὸν τύπον Γκράβιτσας χαρακτηριστικὴν διαφορὰν ὡς πρὸς τὰ φεμικὰ συστατικά. Εἰς τὸ ἐν τῶν δείγμάτων οἱ μικρολίθοι τῶν αὐγίτῶν εἶναι ἀφθονοι καὶ οἱ βιοτίται ἐξ ὀλοκλήρου διαβρεβωμένοι ἐνθι εἰς τὸ ἄλλο δείγμα ἡ μαγματικὴ διάβρωσις εἰς τοὺς βιοτίτας περιορίζεται εἰς λεπτὸν περίβλημα κόκκων μαγνητίτου ἐνθι οἱ μικρολίθοι τοῦ αὐγίτου εἶναι σημαντικῶς δλιγάτεροι. Ἡ παρατήρησις αύτὴ ἀποτελεῖ προφανῶς ἔνδειξιν ὅτι μέρος τούλαχιστον τῶν μικρολίθων τοῦ αὐγίτου ἐσχηματίσθη δαπάναις τῶν μαγματικῶς διαβρωθέντων βιοτίτων τῆς πρώτης γενεᾶς κρυσταλλώσεως. "Οσον ἀφορᾶ εἰς τοὺς αὐγίτας ἐνταῦθα παρετηρήθη πολλάκις τὸ φαινόμενον, καθ' ὃ πυρὴν ἄχρους περιβάλλεται ἀπὸ στιβάδα ἐξωτάτην πρασίνην πλεοχροῖκήν. Σχετικῶς μὲ τὸν πλεοχροῖσμὸν τοῦ αὐγίτου ἐξηκριβώθη ὅτι *X=πρασινοκίτρινος*, *Ψ=κιτρινοπράσινος*, *Z=πράσινος*. Διὰ τῆς τραπέζης δὲ Fedorov εύρεθη ὅτι ἡ γωνία τῶν δπτικῶν ἀξόνων εἰς τὸν πράσινον αὐγίτην εἶναι $2V_z = 64^\circ$ ἐνθι εἰς τὸν ἄχρουν $2V_z = 58^\circ$. Ἐπίσης παρετηρήθη διασκεδασμὸς μὲ $\rho > \upsilon$. Ἡ ἐμβαδομέτρησις τοῦ παρασκευάσματος τοῦ "Ανω Πέτερνικ ἔδωσε τὴν ἐξῆς κατ' ὅγκον ἐκατοστιαίαν ἀναλογίαν τῶν συστατικῶν: Ἀφανιτικὴ μᾶζα $77,28\%$, Πλαγιοκλαστα (+ ἀλκ. ἀστρ.) $13,81\%$, Αὐγίτης $7,13\%$.

Μικρᾶς ἐκτάσεως ύαλώδης παραλλαγὴ τοῦ τύπου τῆς Γκρά-
βιτσας ἐμφανίζεται εἰς τὴν περιοχὴν Γκρέκα. Ἐντὸς σκοτεινοῦ χρώ-
ματος καστανοχρόου ύάλου παρατηροῦνται φαινοκρύσταλλοι πλα-
γιοκλάστων, δμοίας συστάσεως πρὸς τοὺς τῶν ύπολοίπων κοιτα-
σμάτων. Παραθέτομεν μίαν ἐκ τῶν γενομένων μετρήσεων διὰ τῆς
τραπέζης Fedorov, τὰ στοιχεῖα τῆς δόποιας ἀναφέρονται εἰς τρίδυ-
μον πλαγιοκλάστου.

Τμῆμα I	N=270	H=128	E.S. (010)	
	N=301	H= 98	Z	$2V_z = 85^\circ$
	N=207	H=15,5δ	Ψ K=37 O.A., 302 O.A.	
	N=180	H= 4α	E.S. (001)	
Τμῆμα III	N= 60	H=11,5α	Z	$2V_z = 85^\circ$
	N=149	H= 48	Ψ K=36 O.A.	
Τμῆμα II	N=264	H=10δ	E.S. (010)	
	N=234	H=10δ	Z	$2V_z = 84^\circ$
	N=143	H= 3δ	Ψ K=38 O.A., 302 O.A.	
Τμήματα I-II διδυμ. Periklin (Aklin)			Τμῆμ. I-III Albit	
$\Psi\Lambda\Psi = 64^\circ \dots 42,5\%$, An			$Z\Lambda Z = 60^\circ \dots 45\%$,	
$Z\Lambda Z = 66^\circ \dots 44\%$, An			$\Psi\Lambda\Psi = 58^\circ \dots 43\%$,	
$\chi\lambda\chi = 10^\circ (170^\circ) 45\%$, An				
(010) Λ (010)=7°				

Τὰ πλαγιόκλαστα εἶναι ζωνώδους κατασκευῆς περιεκτικό-
τητος $40\% - 47\%$, An. Ἐπίσης σανίδινον μὲ $2V_x = 32^\circ$. Ἐκ τῶν
φεμικῶν συστατικῶν ύπάρχει βιοτίτης καὶ πράσινος πλεοχροϊκὸς
αὐγίτης πολλάκις μὲ πυρῆνα ἄχρουν. Τὰ πλαγιόκλαστα δὲν παρου-
σιάζουν περιβλημα ἀνορθοκλάστου, ὡς εἶναι φυσικόν, δεδομένου
ὅτι τοῦτο ἐσχηματίσθη κατὰ τὴν τελικὴν κρυστάλλωσιν τῆς λάβας,
ἡ δόποια εἰς τὸ προκείμενον δεῖγμα δὲν ὠλοκληρώθη.

Τὴν μικρὰν ταύτην ἐμφάνισιν θεωροῦμεν ὡς ἀνήκουσαν εἰς
τὰς λάβας τοῦ Ποποβολόζι, καὶ λόγῳ τῆς ἐγγύτητος αὐτῆς πρὸς
τὸ κοίτασμα, καὶ ἐκ τῆς δμοιότητος τῶν φαινοκρυστάλλων τῶν
δύο δειγμάτων.

11. Τραχείτης Πέτερνικ

Ἐπὶ τῆς ὁδοῦ ἀπὸ "Ανω Πέτερνικ εἰς Μικρὸ Πέτερνικ συναν-
τᾶται μικρὰ ἐμφάνισις ἥφαιστίου χρώματος τεφροῦ μὲ ἀφθονίαν
φαινοκρυστάλλων σανίδινου καὶ ἀραιὰ βιοτικὰ πέταλα.

Μικροσκοπικῶς παρουσιάζει μεγάλους φαινοκρυστάλλους σα-
νιδίνου ἐν ἀφθονίᾳ, κυρίως εἰς διδύμους Karlsbad (Πιν. VI εἰκ. 1)

Πολλοί έξι αύτῶν, ίδιως οἱ μεγαλύτεροι, εἶναι ζωνώδους κατασκευῆς σχηματιζομένων κατά ζώνας συγκεντρικῶν πολυγώνων. Παραθέτομεν μίαν ἐκ τῶν ἐπὶ σανιδίνου γενομένων μετρήσεων διὰ τῆς τραπέζης Fedorov.

Τμῆμα I	$N=50,5$	$H=24\delta$	$E.S. (010)=Z$
	$N=318$	$H=68$	$E.S. (001)$
	$N=315$	$H=158$	$\Psi K=357 O.A., 316 O.A.$
Τμῆμα II	$N=50,5$	$H=24\delta$	$Z=H$
	$N=161$	$H=388$	$X=H$
	$N=116,5$	$H=42\alpha$	$2V_x=42^\circ \Psi K=12$

Διδυμία Karlsbad $Z//b$, $X\Lambda a=10^\circ$, E.O.A. κάθετον πρόδος (010). Αξιοσημείωτον εἶναι ότι εἰς δλας τάς μετρηθείσας τομάς σανιδίνου τὸ E.O.A. εύρεθη ότι ἔχει θέσιν κάθετον πρόδος (010). Ή περίπτωσις οὕτη σπανίως παρουσιάζεται εἰς τὸ σανιδίνον, τοῦ ἐπιπέδου τῶν ὀπτικῶν ἀξόνων συμπίπτοντος πρόδος (010). Πολλά σανίδινα εἶναι ἀνεπτυγμένα //a μὲν ἀνεπτυγμένας τάς ἔδρας (001) καὶ (010). Τὰ πλαγιόκλαστα εἶναι ζωνώδους δομῆς μέσης περιεκτικότητος 34%. Αἱ, πολὺ δλιγώτερα τοῦ σανιδίνου πολλάκις ὡς ἔγκλείσματα ἐντὸς αὐτοῦ. Επίσης παρετηρήθησαν καὶ δλίγα ἀνορθόκλαστα μὲν ἀνεπτυγμένας τάς ἔδρας (201) (110) καὶ (110), κυματοειδοῦς κατασβέσεως, μὲ 2 $V_x=56^\circ$. Έκ τῶν φεμικῶν συστατικῶν μικροὶ φαινοκρύσταλλοι βιοτίτου εἰς δύο γενεᾶς κρυσταλλώσεως. Οἱ τῆς πρώτης γενεᾶς διαβρωθέντες κατέλιπον ψευδομορφώσεις μαγνητίτου κατὰ βιοτίτην, ἐνῷ οἱ τῆς δευτέρας γενεᾶς εἶναι ἀδιάβρωτοι καὶ ύπιδιομορφοί. Ή ἀφανιτικὴ μᾶζα εἶναι δλοκρυσταλλικὴ κατάσπαρτος ἀπόκρυκούς μαγνητίτου.

Διὰ τῆς ἐμβαδομετρήσεως εύρεθησαν κατ' ὅγκον.
 Αφανιτ. μᾶζα 63,32% πλαγιόκλαστα 7,50%.
 Σανίδινον 27,51% Βιοτίτης (καὶ ἐπουσιώδη) 1,67%.
 Τὸ πέτρωμα εἶναι τυπικὸς τραχείτης.

12. Ήφαιστίτης τῆς Σκόρνας

Μεταξύ τοῦ "Ανω Πέτερνικ καὶ τῆς Γκράβιτσας περιλαμβάνεται ἐκτεταμένον ἐκρηξιγενὲς σῶμα μήκους 1—1,5 χιλμ. καὶ μέσου πάχους περὶ τὰ 300 μ. ὑπὸ μορφὴν φλεβοειδοῦς τυπικοῦ τραχείτου μὲ ἀφθόνους μεγάλους φαινοκρυστάλλους σανιδίνου, ὃν πολλοὶ δίδυμοι κατὰ Karlsbad, διαστάσεων 2—3 ἐκ. καὶ μὲ πλακώδη ἀνάπτυξιν κατὰ (010). Υπὸ τὸ μικροσκόπιον ἡ τομὴ δεικνύει μεγάλους φαινοκρυστάλλους σανιδίνου, πλαγιοκλάστων μὲ 33%. Αἱ

καὶ ὀλίγους αὐγίτου καὶ βιοτίτου ἐν μέρει διαβρωθέντας. Ἡ κυρίᾳ μᾶζα εἶναι ὀλοκρυσταλλική ἐκ σανιδίνου καὶ πλαγιοκλάστων. Τὸ πέτρωμα εἶναι ὅμοιον μὲ τὸ προηγούμενον.

13. Περιοχὴ "Ανω Κατρίς—Σφῆνες—Κάτω Κατρίς Παπαδιὰ—Κακουροῦ—Λοκβότα.

Αἱ ἔμφανίσεις αὗται μετὰ τῶν τόφφων τῶν κατέχουσσαι τὸ κέντρον τοῦ δυτικοῦ τμήματος τῆς ὀλης ἡφαιστειογενοῦς περιοχῆς εὑρίσκονται μεταξὺ τῶν κρυσταλλοσχιστώδων καὶ ἡμιμεταμορφωμένων πετρωμάτων τῆς Τσέρνα—Βόδα πρὸς δυσμάς καὶ τοῦ Γκόλο—Μπέλο πρὸς ἀνατολάς. Εἰς τὰ τελευταῖα μάλιστα κατὰ τὴν ἐπαφὴν μὲ τὰ ἡφαιστειογενῆ κέντρα παρατηρεῖται ἔντονος πτύχωσις. Ἰδιαιτέρως πτυχωμένα εἶναι τὰ κρυσταλλοσχιστώδη τῆς ἀνατολικῆς ἐπαφῆς τῆς ἔμφανίσεως Κακουροῦ. Ἡ ἡφαιστειογενὴς αὕτη περιοχὴ ἀποτελεῖται ἀπὸ διάκριτα κέντρα ἐκρήξεων ἑκτάσεως 1 περίπου τετρ. χιλι. ἔκαστον, καὶ εἰς ἀπόστασιν τοῦ ἐνδός ἀπὸ τοῦ ἄλλου ἐνδός ἔως δύο χιλι. Ἡ μορφὴ τῶν κοιτασμάτων εἶναι κυρίως θολοειδῆς. Οὕτως ὁ ἡφαιστίτης τῆς Κακουροῦ εἶναι τυπικὸς θόλος κωνοειδοῦς μορφῆς ἀναδυόμενος μεταξὺ τῶν τόφφων του. (Πιν. II εἰκ. 1 καὶ Πιν. III εἰκ. 2) Ἐπίσης ἡφαιστείοι θόλοι εἶναι καὶ αἱ ἔμφανίσεις τῆς Λοκβότα (Πιν. II εἰκ. 2), Κάτω Κατρίς (Πιν. III εἰκ. 3) καὶ Παπαδιὰς. Ἐνδιαφέρον παρουσιάζει ἡ ἔμφανίσις "Ανω Κατρίς—Σφῆνες. Εἶναι φλεβοειδοῦς μορφῆς σῶμα ἐπὶ μήκους 2 χιλι. περίπου μὲ διεύθυνσιν ἀπὸ νότου πρὸς βορρᾶν, ἀρχίζον ἀπὸ τὸ "Ανω Κατρίς διὰ νὰ καταλήξῃ ύπὸ μορφὴν ἡφαιστείου σωλῆνος μὲ ἀποκρήμνους κλιτύς εἰς τὴν θέσιν Σφῆνες. Ἐνταῦθα ὁ ἡφαιστίτης παρουσιάζει κατὰ τὰ ἔσωτερικὰ αὐτοῦ τμήματα κατάτμησιν παράλληλον πρὸς τὰ περατωτικὰ αὐτοῦ δρια μὲ ἐπιφανείας συγκλινούσας πρὸς τὰ ἄνω, ἐνῷ εἰς τὸ κέντρον του αἱ ἐπιφάνειαι κατατμήσεως συγκλίνουν πρὸς τὸ ἔσωτερικὸν (Πιν. III εἰκ. 1). Δὲν ἀποκλείεται αἱ ἐπιφάνειαι αὗται κατατμήσεως νὰ ἔχουν σχέσιν πρὸς τὴν κίνησιν τοῦ μάγματος προσπαθοῦντος νὰ διανοίξῃ δρόμον διὰ μέσου τῶν πετρωμάτων τὰ ὅποια διέσχισε. Εἰς τὰ βαθύτερα σημεῖα, ἐντὸς τῶν χαραδρῶν αἱ ὅποιαι διαχωρίζουν τὰ ἡφαιστεια αὐτά, διακρίνεται σαφῶς ἡ ρευστικὴ διάταξις τῆς λάβας. Ἰδιαιτέρως τυπικὴν τοιαύτην εἰκόνα συναντῶμεν εἰς τὴν χαράδραν μεταξὺ Σφῆνες—Παπαδιὰς καὶ εἰς ἔκεινην βορείως τοῦ Κάτω Κατρίς. Εἰς τὴν τελευταίαν μάλιστα συνηντήθησαν μεγάλοι ὅγκοι βράχων διαμέτρου 3-4 μέτρων οἱ

όποιοι άποτελούνται από ύλικόν ομοίου μὲ τὸ τῆς Σκόρνας ἐκ συγκεντρώσεως μεγάλων σανιδίνων.

Τὰ πετρώματα τῶν ἀνωτέρω ἥφαιστείων κέντρων ἀνήκουν εἰς τὸν αὐτὸν πετρογραφικὸν τύπον. Εἶναι λευκά ύπότεφρα μὲ τραχειτικὴν ὅψιν τῆς ἀφανιτικῆς μάζης, καὶ φαινοκρυστάλλους σανιδίνου μεγέθους μερικῶν ἑκατοστῶν πλακώδεις κατὰ (010), ὡς καὶ βιοτιτικά πέταλα ποικίλλοντα ποσοτικῶς ἀπὸ δείγματος εἰς δεῖγμα.

‘Υπὸ τὸ πολωτικὸν μικροσκόπιον ἐμφανίζονται φαινοκρύσταλλοι πλαγιοκλάστων ζώνων ὁρατοῖς καὶ πολύδυμοι. Μετρήσεις διὰ τῆς περιστρέπτου τραπέζης ἀπέδειξαν ὅτι καὶ ἐνταῦθα τὰ πλαγιόκλαστα εἰναι ἀνδεσίνης μέσης περιεκτικότητος $33 - 34\%$. Απὸ μὲ μέγιστον ὅριον 37% , καὶ ἐλάχιστον ἐντὸς τῆς περιοχῆς τοῦ δλιγοκλάστου 28% . Απ., ἥτοι ἐνταῦθα τὰ πλαγιόκλαστα ἔχουν μετατοπισθῆ πρὸς δξινῶτερα ὅρια ἐν συγκρίσει μὲ τὰ πλαγιόκλαστα τῆς περιοχῆς Γκολογκερέο—Μπαλτατοσούκο. Παρέχομεν κατωτέρω δύο μετρήσεις ἐκ τῶν γενομένων διὰ τῆς τραπέζης Fedorov ἐπὶ παρασκευάσματος ἥφαιστείου τῶν Σφηνῶν.

Τρίδυμος Πλαγιοκλάστου.

Τμῆμα I	$N=9$	$H=218$	E.S. (010)
	$N=11$	$H=1,58$	Z
	$N=101$	$H=18$	X
Τμῆμα II	$N=319$	$H=24\alpha$	$\Psi K=4$ O.A.
	$N=34$	$H=33\delta$	$Z \quad 2V_x=80^\circ$
	$N=258$	$H=48\delta$	X
Τμῆμα III	$N=350$	$H=10,5\delta$	Z
	$N=249$	$H=48\delta$	X $2V_x=80^\circ$
	$N=269$	$H=40\alpha$	$\Psi K=26$ O.A.
Τμήματα I-II	εἰς διδυμ. Karlsbad		
	$\Psi\Lambda\Psi=66^\circ \dots 33\%$	An	
	$Z\Lambda Z=39^\circ \dots 34\%$	An	
	$\chi\Lambda\chi=53^\circ \dots 30\%$	An	
Τμήματα I-III	εἰς διδυμ. Albit—Karlsbad.		
	$\Psi\Lambda\Psi=52^\circ (128^\circ) \dots 35\%$	An	
	$\chi\Lambda\chi=123^\circ \dots 34,5\%$	An	
	$Z\Lambda Z=22^\circ \dots 35\%$	An	
Τμήματα II-III	εἰς διδυμ. Albit		
	$Z\Lambda Z=46^\circ \dots 34\%$	An	
	$\Psi\Lambda\Psi=45^\circ \dots 34\%$	An	
Λαμβάνοντες εἰς τὰς ζώνας τοῦ κρυστάλλου τὴν μεγίστην τι-			

μήν διά τάς ἀντιστοίχους γωνίας κατασβέσεως X' Λ (010) εύρισκομεν αύτην κυματινομένην μεταξύ τῶν τιμῶν 16° — 25° , ἡτοὶ ἡ περιεκτικότης κυματίνεται ἀπό 28 — 37% . Απ.

Δίδυμος. Τμῆμα I	N= 26	H=238	E.Σ. (001)
(Ζωνώδης)	N=292	H=158	E.Σ. (010)
	N=268	H= 88	Z $2V_x = 79^{\circ}$
Τμῆμα II	N= 2	H=248	Ψ K=330 O.A., 49 O.A.
	N=286	H=178	E.Σ. (010)
	N=309	H=248	Z $2V_x = 81^{\circ}$
	N= 49	H=18,5δ	Ψ K=345 O.A

Τμήματα I—II εἰς διδυμίαν Manebach 33% . Απ. Διὰ προσανατολισμοῦ τῆς τομῆς εἰς θέσιν κάθετον πρὸς τὸν ἄξονα α, μετροῦντες τὴν κατασβεστικὴν γωνίαν X' Λ (001) εύρισκομεν δι' αύτὴν τὰς τιμὰς 61° εἰς τὸν πυρῆνα τοῦ κρυστάλλου καὶ 67° εἰς τὴν περιφέρειαν, ἡτοὶ ἡ περιεκτικότης εἶναι 37% . Απ (πυρῆν) καὶ 30% , Απ (περιφέρεια). Ἡ περιεκτικότης εἰς Απ δὲν μειοῦται κανονικῶς ἐκ τοῦ πυρῆνος πρὸς τὴν περιφέρειαν τοῦ κρυστάλλου, ἀλλὰ καὶ ἐνταῦθα παρατηρεῖται τὸ φαινόμενον τῆς ἐναλλαγῆς αύτῆς.

Ἐπίσης ὑπάρχουν δλίγοι φαινοκρύσταλλοι σανιδίνου εἰς διδύμους κατὰ Karlsbad (Πιν. VI εἰκ. 2) μὲ δόπτικὰ χαρακτηριστικὰ δμοια τῶν εὑρεθέντων εἰς τὸν τραχείτην τοῦ Πέτερνικ. Ἐλάχιστοι κρύσταλλοι ἀνορθοκλάστων μὲ $2V_x = 54^{\circ}$ — 56° . Ἐκ τῶν φεμικῶν συστατικῶν κυριαρχεῖ ὁ βιοτίτης ἐν μέρει διαβεβρωμένος. Αύγιτου κρύσταλλοι σπάνιοι δεικνύοντες μαγματικὴν διάβρωσιν. Ἡ θεμελιώδης ἀφανιτικὴ μᾶζα εἶναι δλοκρυσταλλική, κοκκώδης μὲ μικροκρυστάλλους σανιδίνου πλαγιοκλάστων καὶ δλίγου χαλαζίου. Ἡ ἐμβαδομέτρησις τῶν συστατικῶν ἔδωσε τὴν ἔξης κατ' ὅγκον ἑκατοστιαίαν ἀναλογίαν αύτῶν:

Αφανατικὴ μᾶζα $61,68\%$	Σανιδίνου $3,24\%$
Πλαγιοκλαστα $30,83\%$	Βιοτίτης (καὶ ἐπουσιώδη) $4,25\%$

Τὸ πέτρωμα διὰ μόνης τῆς μικροσκοπικῆς ὁδοῦ θὰ ἔχαρακτηρίζετο ὡς τραχειανδεστίτης. Ὡς ἐλέχθη καὶ προηγουμένως θεωροῦνται ἀπαραίτητα διὰ τὸν ἀσφαλῆ προσδιορισμὸν τὰ δεδομένα τῆς χημικῆς ἀναλύσεως, ἀτινα περιλαμβάνονται εἰς τὸ πετροχημικὸν τμῆμα τῆς παρούσης μελέτης.

Τὸ δεῖγμα τῆς Κακουροῦ μακροσκοπικῶς καὶ μικροσκοπικῶς εἶναι προσόμοιον πρὸς τὸ τῶν Σφηνῶν—"Ανω Κατρίς. Παρουσιάζει ἀφθονωτέρους φαινοκρυστάλλους πλαγιοκλάστων, ὡς ἐπὶ τὸ πολὺ ζωνώδους δομῆς μὲ σαφῶς διακρινομένας ζώνας καὶ ἐγκλείσματα

κατά στιβάδας (Πιν. VI εἰκ. 3), τής αύτης συστάσεως μὲ τὸ προ-
ηγούμενον, ὡς ἐμφαίνεται ἐκ τῆς παρατιθεμένης μετρήσεως διὰ τῆς
τραπέζης Fedorov ἐπὶ τριδύμου πλαγιοκλάστου.

Τμῆμα I N=148 H=13,5δ E.Σ. (010)

N=129 H= 6δ Z 2V_x=77°

N=221 H=19δ Ψ K=328 O.A., 45 O.A.

Τμῆμα II N=162 H= 0 Z

N=253 H=46δ X 2V_x=76°

N=252 H=44α Ψ K=38 O.A.

Τμῆμα III N=202 H=28α Ψ K=352 O.A.

N=308 H=26α Z 2V_x=76°

N=252,5 H=50δ X

Τμήματα I-II εἰς διδυμ. Karlsbad

ΨΛΨ=110° (70°) ...34%, An

ZΛZ = 34° ...32%, An

XΛX = 59° ...35%, An

Τμήματα I-III εἰς διδυμ. Albit—Karlsbad

ΨΛΨ= 50° (130°) ...32%, An

ZΛZ = 20°,5 ...33%, An

XΛX = 55° (125°) ...32,5%, An

Τμήματα II-III εἰς διδυμ. Albit

ΨΛΨ=43° ...33%, An

ZΛZ =42° ...32%, An

Αἱ ζῶναι τοῦ κρυστάλλου ἔναλλάσσονται εἰς περιεκτικότητα
εἰς An ἀπὸ 32%—42% (ἀνδεσίνης). Ὁλιγοι κρύσταλλοι σανιδίνου
μὲ τὸν αὐτὸν ὡς καὶ εἰς τὰ προηγούμενα πετρώματα εὑρεθέντα ὅπτι-
κὸν προσανατολισμόν. Παρέχομεν μέτρησιν σανιδίνου διὰ τῆς τρα-
πέζης Fedorov :

N=233 H= 8α Ψ K=12 O.A., 50 O.A.

N=237 H= 1,5α E.Σ. (001) 2V_x=38°

N=148,5 H=31δ E.Σ. (010)=Z, Z//b, XΛa=7°

Ἐκ τῶν φεμικῶν συστατικῶν ύπάρχουν κυρίως βιοτίτης δια-
βεβρωμένος, ἐπίσης καὶ αύγίτης ἀποσαθρωθεὶς ἐξ ἀποσυνθέσεως
λόγῳ πνευματολυτικῆς ἥφαιστείου ἐπιδράσεως ἐπ' αὐτοῦ, ύπάρχον-
τος μόνον ὡς προϊόντος ἀλλοιώσεως ὀπαλλίου εἰς ψευδομόρφωσιν
κατ' αύγίτην. Εἰς μίαν δόκταγωνικὴν τομὴν τοιαύτης ψευδομόρφω-
σεως κάθετον πρὸς τὸν ἀξονα c ἐμετρήθη ἡ χαρακτηριστικὴ γωνία
τῶν 87° τῶν ἑδρῶν (110) (110), πρᾶγμα τὸ ὅποιον ἐπιβεβαιοῖ τὴν
ὕπαρξιν ὡς πρωτογενοῦς δρυκτοῦ τοῦ αύγίτου.

Τὸ δεῖγμα τῆς Παπαδιᾶς προσόμοιον πρὸς τὸ τῆς Κακουροῦ,

ξέξαιρέσει τοῦ σκοτεινοτέρου ύποπρασίνου χρώματος, περιέχει καὶ αὐτὸ σανίδινον, πλαγιόκλαστα τῆς αὐτῆς ὡς ἀνωτέρω συστάσεως, βιοτίτην δλίγον διαβεβρωμένον κατὰ τὴν περιφέρειαν καὶ κατὰ τι περισσότερον τοῦ δείγματος Κακουροῦ, ὡς καὶ προΐόντα ἀποσυνθέσεως αὐγυτῶν εἰς ψευδομορφώσεις ἀποτελουμένας ἐξ ἀσβεστίτου καὶ ὁπαλλίου.

’Απολύτως ἵδιας συστάσεως πρὸς τὸν ἀντιπροσωπευτικὸν τύπον τῶν Σφηνῶν—”Ανω Κατρὶς εἶναι καὶ ὁ ἡφαιστίτης τοῦ Κάτω Κατρὶς καὶ τῆς Λοκβότας, ὁ τελευταῖος δόμως εἶναι λίαν ἀποσαθρωμένος.

Παρὰ τὴν θέσιν Λοκβότα εἰς ἐπαφὴν πρὸς τὰς ΝΑ κλιτδὲς αὐτῆς συναντῶνται πετρώματα χρώματος λευκοῦ ὑπερύθρου στιφρᾶς συσσωματώσεως. Ἡ μικροσκοπικὴ ἔξετασις ἔδειξε συσσωμάτωμα κρυστάλλων χαλαζίου καὶ ἀλουνίτου (Πιν. VI εἰκ. 4), ὃστις ὡς γνωστὸν σχηματίζεται κατὰ τὴν ἀλλοίωσιν τῶν ἀστρίων λόγῳ ἐπιδράσεως τῶν ἡφαιστείων ἀτμίδων ἐπὶ τοῦ ἡφαιστίου.

Ἡ τελευταῖως περιγραφεῖσα περιοχὴ ἡφαιστείων ἀπὸ Γκράβιτσας μέχρι Κακουροῦ (ὑπ’ ἄριθ. 10, 11, 12, 13) παρουσιάζει πετρογραφικοὺς τύπους, οἱ δόποιοι ἀπὸ μικροσκοπικῆς ἀπόψεως θεωρούμενοι περιλαμβάνονται μεταξὺ τραχείτου καὶ τραχειανδεσίτου μὲ δλας τὰς δυνατὰς μεταβάσεις αἱ δόποιαι ἐκδηλώνονται εἰς διαφορὰν ἀναλογίας σανίδινου πρὸς πλαγιόκλαστα καὶ εἴδους καὶ ποστήτος τῶν φεμικῶν. Χαρακτηριστικῶς ἀπουσιάζει ἀπὸ ὅλα τὰ πετρώματα τῆς περιοχῆς αὐτῆς ὡς φεμικὸν συστατικὸν ἡ κεροστίλβη. Οἱ μεταβατικοὶ οὖτοι τύποι παρουσιάζονται πολλάκις εἰς τὸ αὐτὸ κοίτασμα καὶ εἰς μικρὰν ἀπ’ ἀλλήλων ἀπόστασιν, ὥστε νὰ δεικνύουν διαφοροποίησιν ὀρυκτολογικῆς συστάσεως τοῦ μάγματος.

Ἡ ἀσυνήθης αὐτὴ ἀνομογένεια τῶν ἡφαιστείων δύναται νὰ ἔρμηνευθῇ μὲ τὴν κλασματικὴν κρυστάλλωσιν τῶν συστατικῶν των, καὶ τὴν συγκέντρωσιν καὶ ἄνισον κατανομὴν αὐτῶν ἐντὸς τοῦ βραδέως ψυχομένου μαγματικοῦ ὅγκου, συνεπείᾳ ρευμάτων μεταφορᾶς τὰ δόποια ἥτο φυσικὸν νὰ ἀναπτυχθοῦν λόγῳ τῆς ἀνίσου ψύξεως τοῦ περιφερικοῦ τούτου μάγματος. Ἡ ἀσυνήθως μεγάλη ποστῆς σανίδινων, τὰ δόποια παρουσιάζονται συγκέντρωμένα εἰς τὸ κοίτασμα τῆς Σκόρνας ὡς καὶ εἰς ὠρισμένα ἄλλα σημεῖα εἰς βαθμόν, ὥστε μεγάλων διαστάσεων ὅγκοι νὰ ἀποτελοῦνται ἀποκλειστικῶς ἀπὸ σανίδινον, μόνον οὕτω δύναται νὰ ἔρμηνευθῇ. Ἡ ἐμφάνισις εἰς μικροσκοπικάς τομάς σανίδινων διαβεβρωμένων μαγματικῶς δεικνύει, ὅτι, ὑπὸ ὠρισμένας συνθήκας, ἔγινε μερικὴ ἀνάτηξις αὐτῶν

καὶ κατὰ συνέπειαν ἐμπλουτισμὸς τοῦ τῆγματος εἰς ἀλκάλεα, τὰ δόποια ἔδωσαν τοὺς ἀλκαλιούχους ἀστρίους τῆς ἀφανιτικῆς μάζης.

ΣΥΜΠΕΡΑΣΜΑΤΑ

Συγκεφαλαιοῦντες τὰ ἀποτελέσματα τῆς μακροσκοπικῆς καὶ μικροσκοπικῆς ἔξετάσεως τῶν τριτογενῶν, ἐντὸς τοῦ ἑλληνικοῦ ἔδαφους ἡφαιστείων κέντρων τῆς Ἀλμωπίας διακρίνομεν τρεῖς κυρίως ὅμαδας, εἰς τὰς δόποιας δύνανται γενικώτερον νὰ ὑπαχθοῦν, παρὰ τὰς ἐπὶ μέρους διαφορὰς εἰς τὰς λεπτομερείας, τὰ πετρώματα ταῦτα.

Μίαν κατηγορίαν πετρωμάτων μὲ ἀφθονίαν φαινοκρυστάλλων καὶ ἰδίᾳ μεγάλῃ ἀνάπτυξιν τῶν φαινοκρυστάλλων τῆς κεροστίλβης. ‘Ο τύπος οὗτος εἶναι δ συνηθέστερος εἰς τὰς ἐμφανίσεις ἀπὸ τῆς Γκρέδας κατὰ μῆκος τῶν συνόρων μέχρι καὶ τοῦ Μπαλτατσοῦκο.

Ίδιαν ὅμαδα ἀποτελοῦν τὰ πετρώματα κατὰ τὰ ΒΔ ὅρια τῆς ἐκρηκτιγενοῦς περιοχῆς (Πόλοβιτς—Καμήλα) χαρακτηριζόμενην ἀπὸ λάβας σκοτεινοτέρου χρώματος μὲ φαινοκρυστάλλους λίαν μικρῶν διαστάσεων.

Τούναντίον τὸ ΝΔ καὶ νότιον τμῆμα τῆς περιοχῆς περιλαμβάνει λάβας ἀνοικτοτέρου χρώματος, ὅψεως συνήθως τραχειτικῆς, μὲ μεγάλους φαινοκρυστάλλους σανιδίνου κατὰ τὸ μᾶλλον ἡ ἥττον ἀφθονοῦντας καὶ ἀπουσίαν φαινοκρυστάλλων κεροστίλβης. ‘Η παρουσία εἰς τὰ τελευταῖα πετρώματα βιοτίου ἀντὶ κεροστίλβης συμβαδίζει μὲ τὴν ἀφθονωτέραν παρουσίαν κρυστάλλων σανιδίνου ἐντὸς αὐτῶν.

Ἐντὸς τῆς τελευταίας περιοχῆς ἵδιον τύπον ἀποτελοῦν τὰ πετρώματα τῆς Γκράβιτσας—Ποποβολάζι—“Ανω Πέτερνικ, ἀτινα ἔχουν ώς φεμικὸν συστατικὸν τὸν ἐν ἀφθονίᾳ ἀπαντῶντα αὐγίτην.

‘Ἄξιοσημείωτον εἶναι δτὶ οἱ φαινοκρύσταλλοι τῶν πλαγιοκλάστων ὅλων τῶν ἡφαιστιτῶν, πλὴν τοῦ ἡφαιστίου τῆς Σαμομπούκα, εὑρίσκονται εἰς τὴν περιοχὴν τοῦ ἀνδεσίνου ώς πρὸς τὴν περιεκτικότητα εἰς ἀνορθίτην.

ΠΕΤΡΟΧΗΜΙΚΗ ΤΑΞΙΝΟΜΗΣΙΣ ΤΩΝ ΗΦΑΙΣΤΙΤΩΝ ΤΗΣ ΑΛΜΩΠΙΑΣ

‘Η ἀνωτέρω ἐκτεθεῖσα μακροσκοπικὴ καὶ μικροσκοπικὴ ἔξετασις τῶν ἡφαιστιτῶν τῆς Ἀλμωπίας, ἀπαραίτητος διὰ τὴν περιγραφὴν τῶν διαφόρων μορφῶν ὑπὸ τὰς δόποιας ἐκρυσταλλώθη τὸ μάγμα,

δὲν παρέχει ἀκριβεῖς πληροφορίας περὶ τῆς χημικῆς συστάσεως αὐτοῦ οὕτε κἀν εἰς πολλὰς περιπτώσεις εἶναι ἀσφαλής διὰ τὸν χαρακτηρισμὸν τοῦ πετρογραφικοῦ τύπου, εἰς τὸν δποῖον δέον νὰ ὑπαχθῇ τὸ ὑπὸ ἔξετασιν δεῖγμα. Ἐνῷ προκειμένου περὶ ὀλοκρυσταλλικῶν πλούτωντῶν μίᾳ ποσοτικὴ ἐκτίμησις τῆς ὀρυκτολογικῆς καὶ μὲ ἴκανοποιητικὴν προσέγγισιν καὶ τῆς χημικῆς συστάσεως τοῦ πετρώματος εἶναι δυνατὴ διὰ μετρήσεων ἐπὶ μικροσκοπικῶν τομῶν τοῦ ἐμβαδοῦ τῶν συνιστώντων τὸ πέτρωμα ὀρυκτῶν, τοιαύτῃ ἐργασίᾳ δὲν εἶναι δυνατὴ ἐπὶ ἡφαιστιτῶν. Εἰς αὐτοὺς μέγα μέρος τῶν ὀρυκτῶν εὑρίσκεται εἰς τὴν ἀφανιτικὴν μάζαν ὑπὸ μορφὴν μικρολίθων, ἐπὶ τῶν δποίων εἶναι ἀδύνατον νὰ ἐφαρμοσθοῦν ποσοτικαὶ μετρήσεις. Κατά μείζονα λόγον εἶναι ἀνεπαρκής ἡ μικροσκοπικὴ ἔξετασις, ὅταν εἰς τὴν ἀφανιτικὴν μάζαν συμμετέχει καὶ ἀμορφὸς ὄχαλος, ἥτις δὲν ἔχει καθωρισμένην τὴν χημικὴν σύστασιν. Τὴν πετρογραφίαν ἐνδιαφέρει ἐκ παραλήλου πρὸς τὴν ὀρυκτολογικὴν σύστασιν καὶ τὸν ἰστὸν τοῦ πετρώματος κατὰ πρώτιστον λόγον ἡ ποσοτικὴ χημικὴ αὐτοῦ σύστασις, διότι μόνον αὐτὴ δύναται νὰ ἀποτελέσῃ ἔνιαταν καὶ σταθερὰν βάσιν ταξινομήσεως. Ἔν καὶ τὸ αὐτὸ διαγματαὶ ὑπὸ διαφόρους συνθήκας κρυσταλλώσεως θὰ ἔδιδεν ἔκχυτα πετρώματα εἰς περισσοτέρους τοῦ ἐνὸς λιθολογικούς τύπους, ὅταν ἀποβλέψῃ τις εἰς τὸ εἶδος καὶ τὸν ἀριθμὸν τῶν φαινοκρυστάλλων καὶ τῶν κρυστάλλων τῆς ἀφανιτικῆς μάζης καὶ τὴν ποσοτικὴν σχέσιν φαινοκρυστάλλων πρὸς ἀφανιτικὴν μάζαν. Τυπικὸν παράδειγμα τοιαύτης περιπτώσεως συνηντήσαμεν, ὡς ἀνεφέραμεν ἀνωτέρω, εἰς τὰς λάβας τῶν ἡφαιστείων Δεσπότη καὶ Λιασέλλας τῆς Ἀλμωπίας. Τὰ δύο ταῦτα ἡφαιστεια κέντρα μοιονότι τὸ τροφοδοτῆσαν αὐτὰ μάγμα εἶχε τὴν αὐτὴν σχεδὸν χημικὴν σύστασιν ἐμφανιζούν δύο καὶ μακροσκοπικῶς ἀκόμη διαφόρους ἀπ' ἀλλήλων λιθολογικούς τύπους.

Προκειμένου νὰ ἐκλέξωμεν μεταξὺ τοῦ συνόλου τῶν συλλεγέντων δειγμάτων τὰ κατάλληλα πρὸς χημικὴν ἀνάλυσιν, τὰ δποῖα θὰ ἀντεπροσώπευον τοὺς διαφόρους λιθολογικούς τύπους τῶν ἡφαιστιτῶν τῆς περιοχῆς αὐτῆς, ἐστηρίχθημεν εἰς τὴν προηγηθεῖσαν μικροσκοπικὴν ἔξετασιν. Βάσει αὐτῆς τὰ ἔξετασθέντα δείγματα ὑπήχθησαν εἰς 10 διάδας διακρίτους ἀπ' ἀλλήλων, ἐξ ἑκάστης τῶν δποίων ἔξελέγη τὸ καταλληλότερον πρὸς ἀνάλυσιν δεῖγμα. Ἡτο ἐνδεχόμενον μὲ τὸν τρόπον αὐτὸν ἐπιλογῆς τύπου ἐμφανιζόμενοι μικροσκοπικῶς διάφοροι νὰ ἔχουν τὴν αὐτὴν χημικὴν σύστασιν, δπως ἀνωτέρω ἀνεφέραμεν, πρᾶγμα τὸ δποῖον ἀπεδείχθη ὅτι συμβαίνει δι' ὠρισμένα δείγματα. Τὰ ἀποτελέσματα τῶν ἀγαλύσεων τούτων συγκεντροῦνται εἰς τὸν πίνακα (I).

Προκειμένου νὰ χρησιμεύσουν τὰ δεδομένα τῶν ἀναλύσεων αὐτῶν διὰ τὸν χαρακτηρισμὸν τοῦ χημισμοῦ τῶν λαβῶν καὶ τοῦ εἴδους τοῦ πετρώματος ἐγένετο χρῆσις ἀμφοτέρων τῶν μεθόδων πετροχημικοῦ ὑπολογισμοῦ, τῆς δυνητικῆς συστάσεως (C.I.P.W.) ὡς ἔτροποποιήθη ὑπὸ τοῦ Lacroix, καὶ τοῦ χαρακτηρισμοῦ τοῦ μαγματικοῦ τύπου τοῦ πετρώματος κατὰ Niggli. Ἡ δυνητικὴ σύστασις τῶν ἀναλυθέντων δειγμάτων παρέχεται εἰς τὸν πίνακα (II), τὰ δὲ χημικὰ μεγέθη κατὰ Niggli εἰς τὸν πίνακα (III). Οἱ αὖξοντες ἀριθμοὶ εἰς τοὺς πίνακας (II) καὶ (III) ἀντιστοιχοῦν εἰς τοὺς ἀριθμοὺς τῶν δειγμάτων τοῦ πίνακος (I).

Π Ι Ν Α Ε (I)

Ἐκατοστιαία χημικὴ σύστασις τῶν ἥφαιστιτῶν τῆς Ἀλμωπίας

	1	2	3	4	5	6	7	8	9	10
SiO ₂	60,33	58,91	63,00	63,24	61,71	61,38	54,42	57,29	66,01	60,90
Al ₂ O ₃	17,31	17,92	17,00	17,15	16,83	16,97	17,77	17,83	18,41	16,39
Fe ₂ O ₃	1,79	2,76	3,15	3,42	1,94	2,08	3,42	2,86	0,60	2,42
FeO	2,20	1,62	1,00	0,73	1,43	1,47	3,14	2,01	0,10	1,61
MnO	0,07	0,10	0,09	0,08	0,08	0,09	0,15	0,11	0,02	0,12
MgO	2,71	3,31	1,69	1,68	1,87	2,48	3,04	2,10	0,40	2,36
CaO	5,28	5,73	4,05	3,89	3,83	3,85	6,48	4,21	1,40	3,93
Na ₂ O	5,00	3,51	4,20	4,14	4,16	4,35	5,60	5,99	6,72	5,15
K ₂ O	3,05	3,54	4,40	4,22	4,69	4,70	3,02	5,38	6,22	4,82
P ₂ O ₅	0,20	0,48	0,28	0,35	0,35	0,38	0,33	0,44	0,17	0,28
TiO ₂	0,45	0,73	0,54	0,47	0,43	0,55	0,89	0,70	0,29	0,54
H ₂ O (+)	1,80	1,13	0,73	0,64	2,18	1,40	1,38	0,79	0,32	1,16
H ₂ O (-)	0,23	0,48	0,19	0,40	0,33	0,70	0,62	0,10	0,29	0,17
Σύνολον	100,42	100,22	100,32	100,41	99,83	100,40	100,26	99,81	100,95	99,85

‘Ἡ ἀνάλυσις ὑπὸ’ ἀριθ. 1 παρέχει τὴν χημικὴν σύστασιν τοῦ ἥφαιστίου τοῦ Γκολογκερέο. Αἱ ἔξ αὐτῆς ὑπολογιζόμεναι μαγματικαὶ παράμετροι: εἶναι ’II. ’5. 2’. 4. Λαμβανομένης ὑπὸ ὅψιν καὶ τῆς λίαν μικρᾶς τιμῆς Or/Plag=0,30 καθ’ ἣν τὰ πλαγιόκλαστα εἶναι πολὺ ἐπικρατέστερα τοῦ ὀρθοκλάστου τὸ πέτρωμα δέον νὰ χαρακτηρισθῇ ὡς ἀνδεσινικὸς ἀνδεσίτης μὲ κεροστίλβην καὶ βιοτίτην. ‘Ο μαγματικὸς τύπος κατὰ Niggli εἶναι essexit-dioritisch (kassaitisch).

‘Ἡ ὑπὸ’ ἀριθ. 2 χημικὴ ἀνάλυσις ἀναφέρεται εἰς τὸν ἥφαιστίην τοῦ Μπαλτατσοῦντο. Αἱ μαγματικαὶ παράμετροι ’II. (4) 5. 3 (4). ἐν συνδυασμῷ πρὸς τὴν ὑπεροχὴν τῶν πλαγιοκλάστων ἔναντι τοῦ

όρθοκλάστου κατατάσσουν ἐπίσης τὸ πέτρωμα εἰς τοὺς ἀνδεσίτας. Κατὰ Lacroix δέον νὰ χαρακτηρισθῇ ὡς ἀνδεσινικὸς ἀνδεσίτης μὲ κεροστίλβην. Ὁ μαγματικὸς τύπος κατὰ Niggli εἶναι si-monzonitisch/essexitakeritisch.

Π Ι Ν Α Ζ (II)

Δυνητικὴ ὄρυκτολογικὴ σύστασις

	1	2	3	4	5	6	7	8	9	10
Qz	5,82	9,96	12,06	13,32	10,06	7,98			1,26	3,60
Or	17,79	20,85	26,13	25,02	27,80	27,80	17,79	31,69	36,70	28,36
Ab	42,44	29,34	35,63	35,11	35,11	36,68	39,35	37,17	56,59	43,49
An	15,85	22,66	14,46	15,57	13,34	12,79	14,46	5,84	1,67	7,51
Ne							4,23	7,40		
Di	7,32	1,98	2,81	1,30	2,64	3,04	12,57	9,56	2,16	7,81
Wo									0,35	
En		7,38	2,90	3,60						
Hy	5,29				3,93	5,05				2,53
Ol							2,50	0,73		
Mt	2,55	3,48	1,86	1,16	2,78	3,02	4,87	4,18		3,48
Hm		0,40	1,84	2,56					0,58	
Il	0,91	1,37	1,06	0,91	0,82	1,06	1,67	1,37	0,24	1,06
Sph									0,39	
Ap	0,48	1,14	0,67	0,84	0,84	0,91	0,67	1,01	0,38	0,67
H ₂ O	2,03	1,61	0,92	1,04	2,51	2,10	2,00	0,89	0,61	1,33
Σύνολον	100,48	100,17	100,34	100,43	99,83	100,43	100,11	99,84	100,93	99,84
An%	27	43,5	29	30,5	27,5	26	27	13,5	3	14,5
Or/Pl	0,30	0,40	0,52	0,49	0,57	0,56	0,30	0,73	0,63	0,56

‘Η χημικὴ σύστασις τοῦ ἥφαιστίτου τοῦ Δεσπότη παρέχεται ἀπὸ τὴν ὑπ’ ἀριθ. 3 ἀνάλυσιν. Αἱ ἔξ αὐτῆς ὑπολογιζόμεναι μαγματικαὶ παράμετροι εἶναι I(II). 4(5). 2. 3’. Κατὰ τὴν συστηματικὴν Lacroix τὸ πέτρωμα ἔδει νὰ χαρακτηρισθῇ ὡς μονζονιτικὸς ρυολιθοειδῆς μὲ πλαγιόκλαστα. Παραπλησίας συστάσεως πετρώματα ἐπὶ τοῦ γιουγκοσλαվικοῦ ἔδαφους ἀναλυθέντα ὑπὸ τοῦ Tajder ἔχαρακτηρίσθησαν ὡς δελλενίται. Ἐάν περιορισθῶμεν εἰς τὴν συστηματικὴν κατὰ Lacroix διὰ νὰ χαρακτηρισθῇ τὸ πέτρωμα ὡς δελλενίτης θά ἔπρεπε ἡ σχέσις Or/Plag νὰ περιλαμβάνεται μεταξὺ τῶν τιμῶν 1,6—0,6. Τοιαύτη εἶναι ἡ σχέσις εἰς τὸν ἥφαιστίτην τὸν περιγραφέντα μὲ τὸ δνομα τοῦτο ὑπὸ τοῦ Brögger (19 σελ. 52). ‘Υπὸ ἄλλων συγγραφέων ὁ δρος αὐτὸς ἐπεξετάθη καὶ διὰ τιμὴν τοῦ λόγου τούτου μικροτέραν τῆς ὀρικῆς 0,60, τοὺς ὀποίους ἀκο-

λουθῶν καὶ ὁ Tajder ὀνόμασε πετρώματα ἐκ τοῦ γιουγκοσλαυϊκοῦ ἔδαφους ἀναλόγου συστάσεως ὑπ' αὐτοῦ ἀναλυθέντα δελλενίτας (17). Ἐπροτιμήσαμεν κατὰ παρέκκλισιν ἀπὸ τὴν συστηματικὴν τοῦ Lacroix τὴν ἐπέκτασιν τοῦ δρου δελλενίτης καὶ εἰς τὴν ἰδικήν μας περίπτωσιν.

‘Ο ήφαιστίτης τῆς Λιασέλλας (χημ. ἀνάλ. ὑπ' ἀριθ. 4) ἔχων παραπλησίας μαγματικάς παραμέτρους· ἥτοι **I (II). 4 (5). 2'. 3 (4)** δέον νὰ χαρακτηρισθῇ καὶ αὐτὸς ὡς δελλενίτης.

Π Ι Ν Α Ξ (III)

Τιμαὶ μεγεθῶν Niggli τῶν ήφαιστιτῶν τῆς Ἀλμωπίας

	1	2	3	4	5	6	7	8	9	10
si	202	192	232	237	232	220	160	183	276	212
al	34,1	34,1	37	37,7	37,3	35,7	30,8	33,5	45,2	33,7
fm	24,5	27,7	21,3	21,3	20,8	23,7	29	22,5	4,8	23,6
c	18,8	19,9	16	15,7	15,5	14,8	20,4	14,4	6,3	14,7
alk	22,6	18,3	25,7	25,3	26,4	25,8	19,8	29,6	43,7	28
k	.28	.40	.41	.40	.43	.42	.29	.37	.38	.38
mg	.56	.58	.44	.44	.51	.56	.46	.45	.53	.52

‘Ο ήφαιστίτης τοῦ Κρόπ (χημ. ἀνάλ. ὑπ' ἀριθ. 5) καὶ τῆς Καμήλας (χημ. ἀνάλ. ὑπ' ἀριθ. 6) ἔχουν ἀπολύτως τὰς αὐτὰς μαγματικάς παραμέτρους **I (II). 4. 2. 3',** αἱ δοποῖαι διαφέρουν ἀπὸ τὰς τοῦ ήφαιστίτου τοῦ Δεσπότη μόνον κατὰ τὴν παράμετρον q, ἥτις εἰς τὸν τελευταῖον εἶναι **4 (5),** ἐνῷ ἐνταῦθα **(4) 5.** Ἡ μεταβολὴ αὐτὴ τῆς παραμέτρου μετατοπίζει εἰς τὴν συστηματικὴν τοῦ Lacroix τὰ πετρώματα ταῦτα πρὸς τοὺς λατίτας, εἰς τοὺς δοποῖους ἡ τιμὴ Or/Plag ἔχει ὡς δρίον τὸ 0,6. Εἰς τὸν ήφαιστίτην τοῦ Κρόπ ἡ τιμὴ αὕτη εἶναι 0,57 καὶ εἰς τὸν ήφαιστίτην τῆς Καμήλας 0,56. Νομίζομεν ὅτι ἡ ἀσήμαντος αὐτὴ διαφορὰ τοῦ αὐθαιρέτως τεθειμένου δρίου 0,6 πρέπει νὰ παραμερισθῇ, δι' ὃ καὶ χαρακτηρίζομεν ἀμφότερα τὰ πετρώματα ταῦτα ὡς λατίτας. Συγκρίνοντες εἰς τὸν πίνακα III τὰ μεγέθη Niggli τῶν 4 τελευταίων πετρωμάτων (χημ. ἀνάλ. 3—6) παρατηροῦμεν ὅτι ἔχουν μὲν μεγάλην προσέγγισιν τὰς αὐτὰς τιμάς al, fm, c, alk, καὶ k, μὲν διαφορὰς τιμῶν si μικράς (si=220—237). Ἐπίσης αἱ τιμαὶ mg, δευτερευούσης σημασίας, κυμαίνονται ἀπὸ 44—56. Παραπλησίας τιμάς ἔχαιρέσει τῶν τιμῶν si παρουσιάζουν τὰ μάγματα τῶν τύπων granodioritisch, adamelitisch καὶ monzonitsyenitisch. Κατὰ Niggli (12 σελ. 173) ἡ

σύστασις τῶν δελλενιτῶν κυμαίνεται μεταξὺ normalgranitisch καὶ adamelitisch, ἀλλὰ τὸ si τοῦ τελευταίου μαγματικοῦ τύπου εἶναι πολὺ ψηλὸν (=300), ἐνῷ αἱ τιμαὶ si τῶν περὶ ὃν πρόκειται πετρωμάτων εἶναι χαμηλαῖ. Ἐξ ἀλλού τὸ μάγμα τύπου monzonitsyenitisch μὲν μεγέθη Niggli τὰ αὐτὰ περίπου μετὰ τοῦ τύπου adamelitisch ἔχει si κατὰ μέγιστον ὅρον 225. Ἐπομένως δυνάμεθα νὰ χαρακτηρίσωμεν τὸν μαγματικὸν τύπον τῶν 4 τούτων πετρωμάτων ὡς adamelitisch/monzonitsyenitisch. Ἡ μικροτέρα τιμὴ si τῶν ἡφαιστιτῶν τοῦ Δεσπότη καὶ τῆς Λιασέλλας ἔναντι τοῦ τυπικοῦ δελλενίτου ἐπιτρέπει νὰ χρησιμοποιήσωμεν τὸν ὅρον λατιτικὸς δελλενίτης, τοῦ ὁποίου χρῆσιν ἔκαμε ὁ Tajder (17) διὰ πετρώματα παρομοίας συστάσεως ἀναλυθέντα ὑπ' αὐτοῦ. Διὰ τὰ ὑπόλοιπα πετρώματα τοῦ Κρόπη καὶ τῆς Καμῆλας διαφοροποιηθέντα ὡς ἀνωτέρω διὰ τῶν μαγματικῶν παραμέτρων θὰ διατηρήσωμεν τὸν ὅρον λατιτικό.

‘Ο ἡφαιστίτης τῆς Σαμομπούμκα εἰς ὃν ἀναφέρεται ἡ ὑπ’ ἀριθ. 7 χημικὴ ἀνάλυσις ἔχει μαγματικὰς παραμέτρους **II. 5. 2. 4.** καὶ χαρακτηρίζεται κατὰ Lacroix ὡς ἀνδεσινικὸς ἀνδεσίτης μὲν κεροστίλβην καὶ αὐγίτην. Ἀνήκει εἰς τὸν μαγματικὸν τύπον essexiticsh.

‘Η ὑπ’ ἀριθ. 8 χημικὴ ἀνάλυσις ἐγένετο ἐπὶ πετρώματος τοῦ αὐγίτικοῦ τραχείτου τοῦ “Ανω Πέτερνικ, τοῦ τύπου τῆς Γκράβιτσας—Ποποβολόζι. ‘Ως ἀνεφέραμεν εἰς τὴν μικροσκοπικὴν περιγραφὴν τοῦ τύπου αὐτοῦ, τὸ πέτρωμα ἐντὸς τῆς περιοχῆς αὐτῆς παρουσιάζει διαφοράς τινας ὡς πρὸς τὴν ποσότητα τῶν φεμικῶν. Αἱ διαφοραὶ αὗται ἐκδηλοῦνται καὶ εἰς τὰ ἀποτελέσματα τῆς ὑφ’ ἡμῶν ἐκτελεσθείσης χημικῆς ἀναλύσεως ἐν συγκρίσει πρὸς τὴν δημοσιευμένην ὑπὸ τοῦ Tajder ἐπὶ δείγματος προερχομένου ἀπὸ τὸν θόλον τῆς Γκράβιτσας. Αἱ μαγματικαὶ παράμετροι τοῦ ὑφ’ ἡμῶν ἀναλυθέντος δείγματος εἶναι **II. 5'. 1 (2). (3) 4.** ἔναντι τῶν παρεχομένων διὰ τὸ δείγμα τῆς Γκράβιτσας τὸ ἀναλυθέν ὑπὸ τοῦ Tajder **II. 5. 2. 3.** Ἀναλυτικῶτερον ἐμφανίζονται αἱ διαφοραὶ αὗται εἰς τὴν σύγκρισιν τῶν μεγεθῶν Niggli τῶν δύο δειγμάτων παρεχομένων κατωτέρω.

	si	al	fm	c	alk	k	mg	al-alk	c/fm
Γκράβιτσα	180	34	22	18,5	25,5	0,49	0,46	8,5	0,84
“Ανω Πέτερν.	183	33,5	22,5	14,4	29,6	0,37	0,45	3,9	0,64

‘Ο Tajder ἔχαρακτήρισε τὸ ὑπ’ αὐτοῦ ἀναλυθὲν πέτρωμα ὡς

«άρσοϊτην», ώς έχον παραπλησίαν χημικήν καὶ ὀρυκτολογικήν σύστασιν καὶ τὰς αὐτάς μαγματικάς παραμέτρους πρὸς τὸν αὐγιτικὸν ὄλιβινικὸν τραχεῖτην τοῦ Arso ἐπὶ τῆς νήσου Ischia τῆς Ἰταλίας. Ὁ μαγματικὸς τύπος εἰς δὲ ἀνήκει τὸ πέτρωμα τοῦτο εἶναι monzonitsyenitisch / leukosommaaitisch. Τὸ ύφ' ἡμῶν ἀναλυθὲν δεῖγμα ἐκ τοῦ "Ανω Πέτερνικ συγκρινόμενον πρὸς τὸν ἀρσοϊτην παρουσιάζει μικρὰν ύπεροχὴν τοῦ Na₂O ἔναντι τοῦ K₂O, ηδημένην περιεκτικότητα εἰς ἀλκάλεα καὶ ἥλαττωμένον τὸ CaO. Ἡ προβολὴ εἰς τὸ τετράεδρον Niggli βάσει τῶν χαρακτηριστικῶν αὐτοῦ μεγεθῶν εὑρίσκεται ἔγγυτα πρὸς τὴν προβολὴν τοῦ μαγματικοῦ τύπου lardalitisch. Κατὰ τὸ σύστημα Lacroix χαρακτηρίζεται ὡς νατριούμχος τραχείτης μὲ αὐγίτην.

Ἡ ύπ' ἀριθ. 9 χημικὴ ἀνάλυσις ἀναφέρεται εἰς τὸν τραχεῖτην τὸν ἀπαντῶντα μεταξὺ "Ανω καὶ Μικροῦ Πέτερνικ. Ὡς ἔξετέθη ἥδη εἰς τὴν περιγραφὴν τῶν μικροσκοπικῶν χαρακτηριστικῶν τῶν ἡφαιστιτῶν, διμοίου τύπου εἶναι καὶ ὁ ἡφαιστίτης τῆς Σκόρνας. Μολονότι ὁ τελευταῖος οὖτος καταλαμβάνει πολὺ μεγαλυτέραν ἔκτασιν, προεκρίθη διὰ τὴν ἀνάλυσιν τὸ δεῖγμα τοῦ Πέτερνικ, διότι ἡτο ἀναλλοίωτον, ἐνῷ τὰ ἐκ τῆς Σκόρνας συλλεγέντα ἥσαν ἐν μέρει ἀποσαθρωμένα. Αἱ μαγματικοὶ παράμετροι εἶναι I. 5. 1. 3 (4) καὶ ὁ μαγματικὸς τύπος albititisch. Τὸ πέτρωμα εἶναι ὄρθοκλαστικὸς τραχείτης μὲ βιοτίτην.

Οὐοτοῦ Ὁ ἡφαιστίτης τῶν Σφηνῶν (ἀνάλυσις ύπ' ἀριθ. 10) ἔχει μαγματικὰς παραμέτρους II. 5. 2. 3 (4) κατατασσόμενος κατὰ Lacroix εἰς τοὺς ἀσβεσταλκαλικούς τραχείτας. Ὡς καταφαίνεται ἐκ τῆς συγκρίσεως τῶν μεγεθῶν Niggli τῶν ἀναλύσεων 6, 10 καὶ 8, ὁ ἡφαιστίτης τῶν Σφηνῶν ἀποτελεῖ μεταβατικὸν τύπον μεταξὺ τοῦ λατίτου τῆς Καμήλας καὶ τοῦ αὐγιτικοῦ τραχείτου τοῦ "Ανω Πέτερνικ παρατηρουμένης κατὰ τὴν μετάβασιν ἀπὸ τοῦ πρώτου πρὸς τὸν δεύτερον αὐξήσεως τῶν τιμῶν alk καὶ μειώσεως τῶν τιμῶν si. Ἡ προβολὴ τοῦ εἰς τὸ τετράεδρον Niggli καταλαμβάνει θέσιν μεταξὺ τῶν μαγματικῶν τύπων natronsyenitisch, monzonitsyenitisch.

ΓΕΝΙΚΑΙ ΠΑΡΑΤΗΡΗΣΕΙΣ ΕΠΙ ΤΟΥ ΧΗΜΙΣΜΟΥ ΤΩΝ ΗΦΑΙΣΤΙΤΩΝ ΤΗΣ ΑΛΜΩΠΙΑΣ

Μία ἐπισκόπησις τῶν δεδομένων τῆς πετροχημικῆς ἀναλύσεως τῶν ἡφαιστιτῶν τῆς Ἀλμωπίας παρέχει τὰ ἐξῆς γενικὰ συμπεράσματα.

Αἱ λάβαι αῦται ἀνήκουν εἰς τὰς πλουσίας εἰς ἀλκάλεα. Πράγματι ἀν προβάλη κανεὶς τὰς τιμάς αἱ, alk ἐπὶ διαγράμματος ὅλαι σχεδὸν αἱ λάβαι ἔξαιρέσει τῆς λάβας τοῦ Μπαλτατσοῦκο προβάλλονται ἐντὸς τοῦ τομέως τῶν σχετικῶς πλουσίων εἰς ἀλκάλεα πετρωμάτων.

Τὴν μεγαλυτέραν ἐπιφανειακὴν ἔκτασιν καταλαμβάνουν αἱ λάβαι τοῦ δυτικοῦ τμήματος, εἰς τὸ ὁποῖον ἐμφανίζονται καὶ τὰ περισσότερα κέντρα ἐκρήξεων. Ἐκ τῶν λαβῶν τούτων σαφῶς διαφορισμέναι εἰς ἄκρους τύπους ἐμφανίζονται αἱ τῶν ἡφαιστείων κέντρων τῆς Σαμομποῦκα (ἀνδεσίτης) καὶ Σκόρνας (δρυθοκλαστικὸς τραχείτης.) Αἱ λάβαι τῶν ὑπολοίπων κέντρων ἔχουν σύστασιν κυμαινομένην μεταξὺ δελλενίτου, λατίτου καὶ ἀσβεσταλκαλικοῦ τραχείτου μὲ δλας τὰς δυνατὰς μεταβάσεις μεταξὺ τῶν τριῶν αὐτῶν τύπων, εἰς τρόπον ὥστε τὰ ὅριά των νά συγχέωνται. Διὰ τὰς τελευταίας λάβας, τῶν ὁποίων δ διαφορισμὸς δὲν παρουσιάζει σαφῇ ὅρια, ἡ προέλευσις ἀπὸ κοινὴν μαγματικὴν ἐστίαν εἶναι ἀναμφισβήτητος. Ἀλλὰ καὶ διὰ τοὺς δύο ἄλλους ἄκρους τύπους, καὶ μεταξύ των, καὶ ὡς πρὸς τὴν προηγουμένως περιγραφεῖσαν ὅμάδα, αἱ διαφοραὶ δὲν εἶναι μεγάλαι, εἰς τρόπον ὥστε ἡ προέλευσις δλων τῶν ἐμφανίσεων ἀπὸ κοινὸν μάγμα εἶναι πιθανή, τῶν διαφορῶν των ὀφειλομένων εἰς διαφορισμὸν διὰ κλασματικῆς κρυσταλλώσεως καὶ μετακινήσεως τοῦ μάγματος, ὡς προηγουμένως ἔχομεν ἀναφέρει. Διαφορισμὸς δι' ἀφομοιώσεως τῶν περικλειόντων τὸ μάγμα πετρωμάτων δὲν εἶναι πιθανοφανής.

Αἱ ἐμφανίσεις τοῦ ἀνατολικοῦ τμήματος, ἀνήκουσαι εἰς ἀνδεσίτας, διακρίνονται ἀπὸ τὰς τοῦ δυτικοῦ ἐκ τοῦ δτι εἶναι περισσότερον βασικαί. Πάντως ἀπὸ τὰς τριτογενεῖς ἐκρήξεις τῆς Ἀλμωπίας ἐλλείπουν οἱ ἄκρως δξινοὶ καὶ οἱ ἄκρως βασικοὶ τύποι. Αἱ ἐκρήξεις τοῦ γιουγκοσλαυικοῦ τμήματος κατὰ τὴν μελέτην τοῦ Tajder κατὰ τὸ μέγιστον μέρος αὐτῶν εἶναι λατίται καὶ λατιτικοὶ δελλενίται. Ἐλλείπουν ἀνδεσίται καὶ ἀλκαλικοὶ τραχεῖται. Ἐσημειώθη δμως μία μόνον μικρὰ βασαλτικὴ ἐμφάνισις, ἡ τῆς Bara.

Συνδυάζοντες τὰ δεδομένα τῆς ἡμετέρας πετρογραφικῆς ἔξετάσεως πρὸς τὰ τῆς μελέτης τοῦ Tajder καταλήγομεν εἰς τὸ συμπέρασμα δτι δ ἀντιπροσωπευτικῶτερος τύπος ἀπὸ ἀπόψεως ποσοτικῆς τῶν λαβῶν τῆς Ἀλμωπίας εἶναι δ τοῦ λατίτου—δε λα εντου καὶ δτι ἡ σύστασις τοῦ τροφοδοτήσαντος τὰς ἐκρήξεις τῶν ἡφαιστείων μάγματος προσεγγίζει περισσότερον τὴν τοῦ τύπου τούτου.

ΒΙΒΛΙΟΓΡΑΦΙΑ

1. Burri C. und Niggli F. Die jungen Eruptivgesteine des Mediteranen Orogens. Zürich, 1945, 1949.
2. Cvijic J. Grundlinien der Geographie und Geologie von Mazedonien und Altserbien. Pettermans Mitteilungen, 1908.
3. De Lapparent J. Leçons de Pétrographie. Paris, 1923.
4. Georgalas G. Beiträge zur Kenntnis einiger jungtertiärer Eruptivgesteine der Insel Imbros. Bulletin Volcanologique, Serie II, Tome X, 1950.
5. Georgalas G. Contribution à la connaissance des roches éruptives de l'île de Mételin. Ibid. Serie II, Tome IX, 1949.
6. Hintze C. Handbuch der Mineralogie. Bd II. Leipzig, 1897.
7. Jacob J. Chemische Analyse der Gesteine und silikatischen Mineralien. Basel, 1952.
8. Kossamat F. Geologie der zentralen Balkanhalbinsel. Berlin, 1924.
9. Kténas C. Le groupe d'îles de Santorin. Contribution à l'étude des laves tertiaires et quaternaires de la Mer Egée. Athènes, 1935.
10. Lacroix A. Classification des roches éruptives. Paris, 1933.
11. Liatsikas N. Beiträge zur Kenntnis der jungtertiären Eruptivgesteine in der Umgebung von Fere (West-Thracien), Praktika de l' Académie d'Athènes, 13, 1938.
12. Niggli P. und Beger J. P. Gesteins—und Mineralprovinzen. Berlin, 1923.
13. Osswald K. Geologische Geschichte von Griechisch—Nord Makedonien Athènes, 1938.
14. Παπασταμάτιον I. Τὸ Νεογενὴ ἥφαιστεια τῆς Κρομμυωνίας. Αθῆναι, 1937.
15. Reinhard M. Universal Drehtischmethoden. Basel, 1931.
16. Rosenbusch H. Mikroskopische Physiographie, Bd I. Hälfte 2. Stuttgart, 1927.
17. Tajder M. Kozuf Petrografija i petrogenesa vulkanskikh stijena Kozufa. Beograd, 1940.
18. Tajder M. Arsoit sa kravickoga Kamena i Latit sa Tumbe Zagreb, 1940.
19. Tröger W. E. Spezielle Petrographie der Eruptivgesteine. Berlin, 1935.
20. Tröger W. E. Tabellen zur optischen Bestimmung der gesteinbildenden Minerale. Stuttgart, 1952.
21. Winchell A. Elements of Optical Mineralogy. New York, 1951.

ΕΠΙΣΤΡΟΦΙΚΕΣ ΕΝΩΣΙΩΝ

- ΠΙΝΑΚΑΣ Ι** Εικ. 1 Τετράπλος τόμος βραχίονων από την "Ανα Κοπή—Σελίνας Καρέας Κέρκυρας Κασσινού", Εθνικός Λαζαρέτος του Β.Α.
- Εικ. 2 Προφέτης κοντά στον πίνακα που απεικονίζεται ο Β.Α. του "Αρτούρου".
- ΠΙΝΑΚΑΣ ΙΙ** Εικ. 1 "Ο φραγκός Βίλος της Κοκκινού".
Εικ. 2 Ο ίδιος φραγκός Βίλος "Ανα Πίτερων (βίληρων)" και λαζαρέτος Βίλος.
- ΠΙΝΑΚΑΣ ΙΙΙ** Εικ. 1 Ηρακλείος πάνης της Σαρηών διαδ. A.
Εικ. 2 "Ο θάλασσας Κοκκινού, θαυμασμός της τάραν της έργων του ήρωαντος".
Εικ. 3 Κάποια Ρωμαϊκά.
- ΠΙΝΑΚΑΣ ΙV** Εικ. 1 Τετράπλος τόμος κριτανώλας πλαγιοκλήτων άδυτων (100). Γραμ. Μεγεθ. 1:25 Επαναλαμβάνεται καθετά από θαυμασμόν.
- Εικ. 2 Ρυθμίζοντας Ποσειδώνα πάντοτε αλλοί χριστίους θαυμασμόν μαγυρισμάδας. Ή η τομή διασχίζεται από φλέρες σεμιτίτος. Γραμ. Μεγ. 1:25 Επαναλαμβάνεται καθετά είς διαταξιμόν.
- Εικ. 3 Ανθεκτική Ηλεκτροσόδικη θαυμαστάτικη πλαγιοκλίστικην από την έπονη έπονην έπονην διαθράσκεται. Μένος φρινοκόπιτσικούς κεραυνούληρης πρόκτη γενεθλίου κριτανώλαδούς με καρδιάνια μνοτετεργάνια κεραυνούληρης πατισθετούς διορίος, πρός την τάχη κριτανώλαν της διατέρου γερετής. Γραμ. Μεγ. 1:25 Επαναλαμβάνεται.
- Εικ. 4 Αργυρικός δελλειάτης Δεοντότη Σελίνης με έγκλεισματα μάζισμαν ήν συμβόσην ποδός δινθερών. Τοσοί κεραυνούληρης μη δλοκάληρες διαθράσκουμένης μαγυρισμάδας. Γραμ. Μεγ. 1:25 Επαναλαμβάνεται πολλοτής είς διατάρασσήν.
- ΠΙΝΑΚΑΣ V** Εικ. 1 Αστέρης του Κράτους Θεονομούλας διθεσίνου αρχίτοις και θεούτοις εντός ουλέδος αρσανικής μάζης μέρευτικήν θρήνου. Γραμ. Μεγ. 1:20 Επαναλαμβάνεται.
- Εικ. 2 Αιβαστής Σελινιτικός Κυριοτελήρη μαγυρισμάδος διαθεράσκεται κατά την περιφέρεσην. Ή είς τό κέντρον μέγας φαναρές σταλλός κεραυνούληρης ήν αμφέψα με ακύτης. Γραμ. Μεγ. 1:25 (διατάρασσή).
- Εικ. 3 Αλγυτήρς προσετές "Ανα Πίτερων, θαυμαστάτικης μνοθέτου με περίθλασμα δινοσθικλάστου, Αρσανική μάζης πρωτεύεται" λατεῖ. Γραμ. Μεγ. 1:25 Ισοδιλητης και πολιτικης είς διαταξιμόν.
- Εικ. 4 Αλγυτήρς προσετές "Ανα Πέτερων, θαυμαστάτικης μνοθέτου έγκλεισμας θεοτήτων και αμύτην. Γραμ. Μεγ. 1:25 (διατάρης και πολιτικης είς διαταξιμόν).
- ΠΙΝΑΚΑΣ VI** Εικ. 1 Τρεχετής μετούδη "Ανα καὶ Μικρό Πέτερων, θαυμαστάτη-

ΟΙΚΙΑ ήταν μερικές πλατείες στην οποία διέθεταν κάθισμα και
τραπέζια για την απόδοση των επιστολών τους.
Επίσης στην ίδια πλατεία έγινε η συνέλευση των αρχηγών των
πολιτειών της Ελλάς.

ΕΠΕΞΗΓΗΣΙΣ ΕΙΚΟΝΩΝ

Εικόνα 1 Η πρώτη εικόνα απεικονίζει την Ανώ Κατρίς στην Αίγανη.

ΠΙΝΑΞ Ι Εἰκ. 1 Γενική άποψη των ήφαιστείων θόλων "Ανω Κατρίς—Σφήνες Κάτω Κατρίς, Κακούριο, Πέτερνικ άπό ΒΔ.

Εἰκ. 2 Παρείσακτος κοίτη άνδεσίτου μεταξύ φυλλιτών ΒΔ του Αετοχωρίου.

ΠΙΝΑΞ ΙΙ Εἰκ. 1 Ο ήφαιστειος θόλος της Κακούριος.

Εἰκ. 2 Οι ήφαιστειοι θόλοι "Ανω Πέτερνικ (κέντρον) και Λοκβότα (δεξιά).

ΠΙΝΑΞ ΙΙΙ Εἰκ. 1 Ήφαιστειος σωλήν των Σφηνῶν άπό Α.

Εἰκ. 2 Ο θόλος Κακούριο, ξέμπρωσθεν οι τόφφοι του ήφαιστείου.

Εἰκ. 3 Κάτω Κατρίς.

ΠΙΝΑΞ ΙV Εἰκ. 1 Άνδεσίτης Γκολογκερέο. Πολύδυμοι κρύσταλλοι πλαγιοκλάστων. Δίδυμος κεροστίλβης κατά (100). Γραμ. Μεγεθ. 1:25 (άναλυτής και πολωτής είς διασταύρωσιν).

Εἰκ. 2 Ρυδλίθις Πασσάδ. Φαινοκρύσταλλοι χαλαζίου διαβεβρωμένοι μαγματικώς. Η τομή διασχίζεται άπό φλέβας σερικίτου. Γραμ. Μεγ. 1:10 (άναλυτής και πολωτής είς διασταύρωσιν).

Εἰκ. 3 Άνδεσίτης Μπαλτατσάμικο. Φαινοκρύσταλλοι πλαγιοκλάστων με εύρειαν έσωτερικήν ζώνην διαβεβρώσεως. Μέγας φαινοκρύσταλλος κεροστίλβης πρώτης γενεδάς κρυσταλλώσεως με περίβλημα άνοικτοχρώμου κεροστίλβης συντάσσεως δύοιας πρόδης την τών κρυστάλλων της δευτέρας γενεδάς. Γραμ. Μεγ. 1:25. (άνευ άναλυτού).

Εἰκ. 4 Λατιτικός δελλενίτης Δεσπότη. Σανίδινον με έγκλείσματα άνδεσίνου έν συμφύσει πρόδης άνδεσίνην. Τομαλ κεροστίλβης έξ δόλοκλήρου διαβεβρωμένης μαγματικώς. Γραμ. Μεγ. 1:25 (άναλυτής και πολωτής είς διασταύρωσιν).

ΠΙΝΑΞ V Εἰκ. 1 Λατίτης τοῦ Κρόπ. Φαινοκρύσταλλοι άνδεσίνου αύγίτου και βιοτίτου έντος υπαλώδους άφανιτικής μάζης με ρευστικήν ύφήν. Γραμ. Μεγ. 1:30 (άνευ άναλυτού).

Εἰκ. 2 Άνδεσίτης Σαμομπούκα. Κεροστίλβη μαγματικώς διαβεβρωμένη κατά τήν περιφέρειαν. Εἰς τὸ κέντρον μέγας φαινοκρύσταλλος κεροστίλβης έν συμφύσει με αύγίτην. Γραμ. Μεγ. 1:25 (άνευ άναλυτού).

Εἰκ. 3 Αύγιτικός τραχείτης Ανω Πέτερνικ. Φαινοκρύσταλλοι άνδεσίνου με περίβλημα άνορθοκλάστου. Άφανιτική μάζα τραχειτικού ίστού. Γραμ. Μεγ. 1:25 (άναλυτής και πολωτής είς διασταύρωσιν).

Εἰκ. 4 Αύγιτικός τραχείτης Ανω Πέτερνικ. Φαινοκρύσταλλος σανίδινον έγκλείστος βιοτίτην και αύγίτην. Γραμ. Μεγ. 1:25 (άναλυτής και πολωτής είς διασταύρωσιν).

ΠΙΝΑΞ VI Εἰκ. 1 Τραχείτης μεταξύ Ανω και Μικρό Πέτερνικ. Φαινοκρύσταλ-

λοι σανδίδινου εἰς διδύμους κατὰ Karlsbad. Γράμ. Μεγ. 1:10.
(ἀναλυτής καὶ πολωτής εἰς διασταύρωσιν).

- Εἰκ. 2 Ἀσβεσταλκαλικός τραχείτης Σφηνῶν—"Ανω Κατρίς. Φαινοκρύσταλλοι ἀνδειόνου, σανιδίνου εἰς δίδυμον κατά Karlsbad καὶ βιοτίου. Γραμ. Μεγ. 1:25 (ἀναλυτής καὶ πολωτής εἰς διασταύρωσιν).

Εἰκ. 3 Ἀσβεσταλκαλικός τραχείτης Κακουροῦ. Φαινοκρύσταλλοι πολυδύμου πλαγιοκλάστου μὲ ναλώδη ἔγκλεισματα, καὶ φαινοκρύσταλλοι σανιδίνου. Γραμ. Μεγ. 1:25 (ἀναλυτής καὶ πολωτής εἰς διασταύρωσιν).

Εἰκ. 4 Ἀλουνίτης μετά χαλαζίου. Γραμ. Μεγ. 1:25 (ἀναλυτής καὶ πολωτής εἰς διασταύρωσιν).



Εἰκ. 1



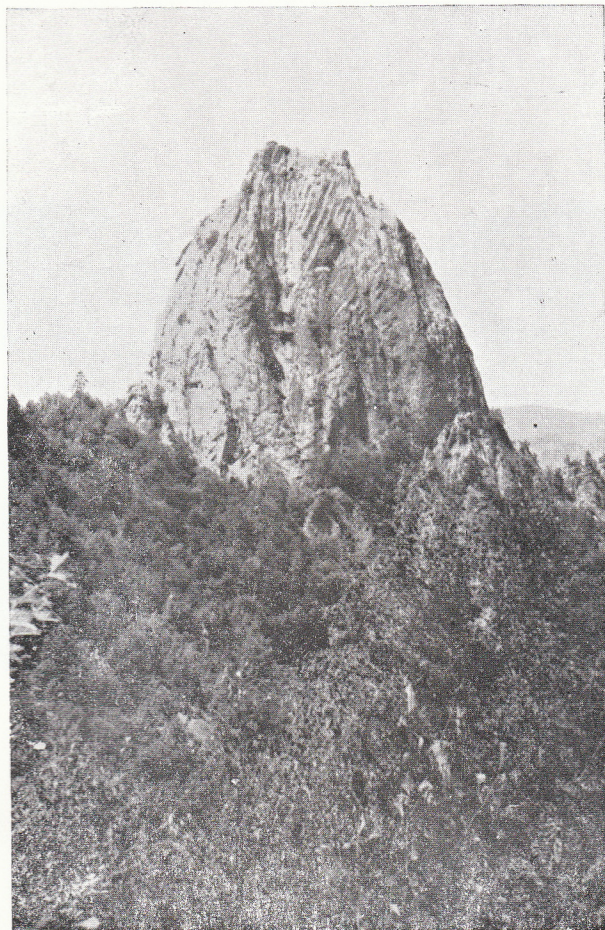
Εἰκ. 2



Εἰκ. 1



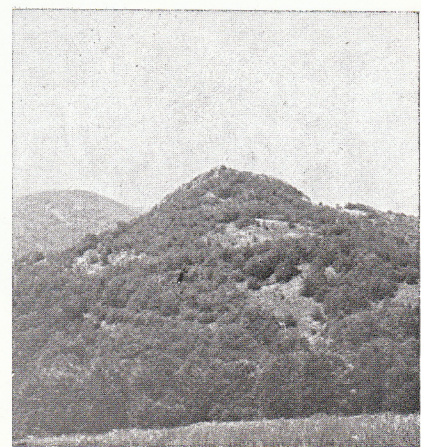
Εἰκ. 2



Εἰκ. 1



Εἰκ. 2



Εἰκ. 3



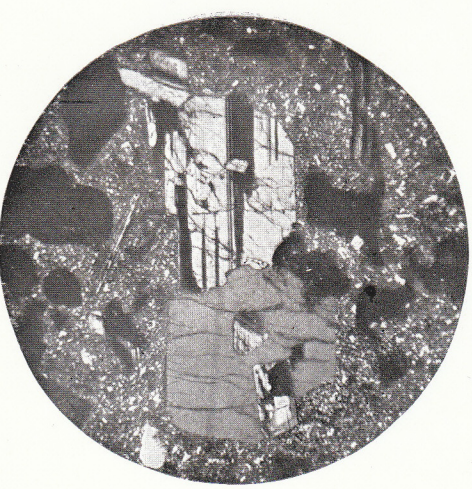
Eik. 1



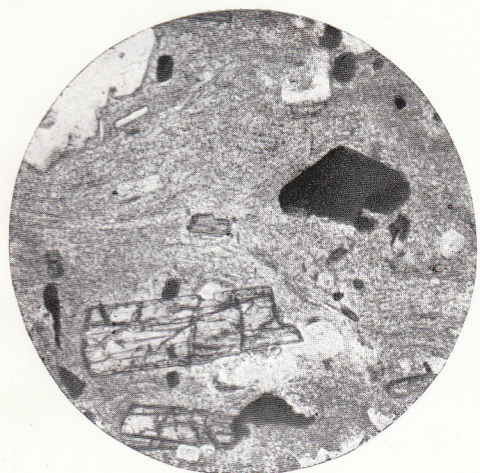
Eik. 2



Eik. 3



Eik. 4



Eík. 1



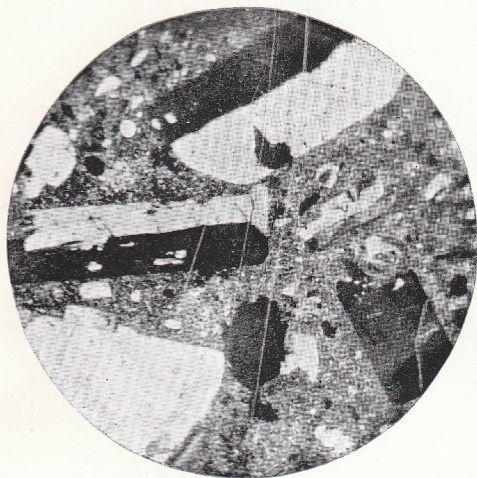
Eík. 2



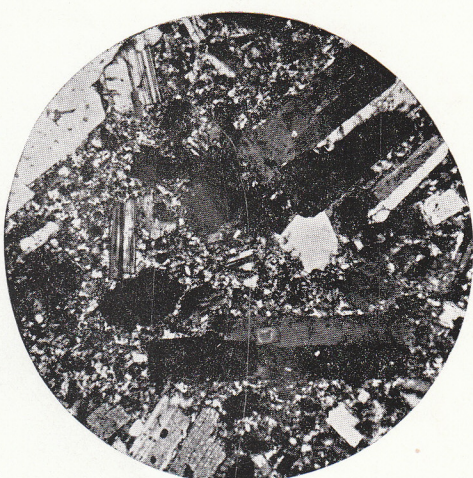
Eík. 3



Eík. 4



Eik. 1



Eik. 2

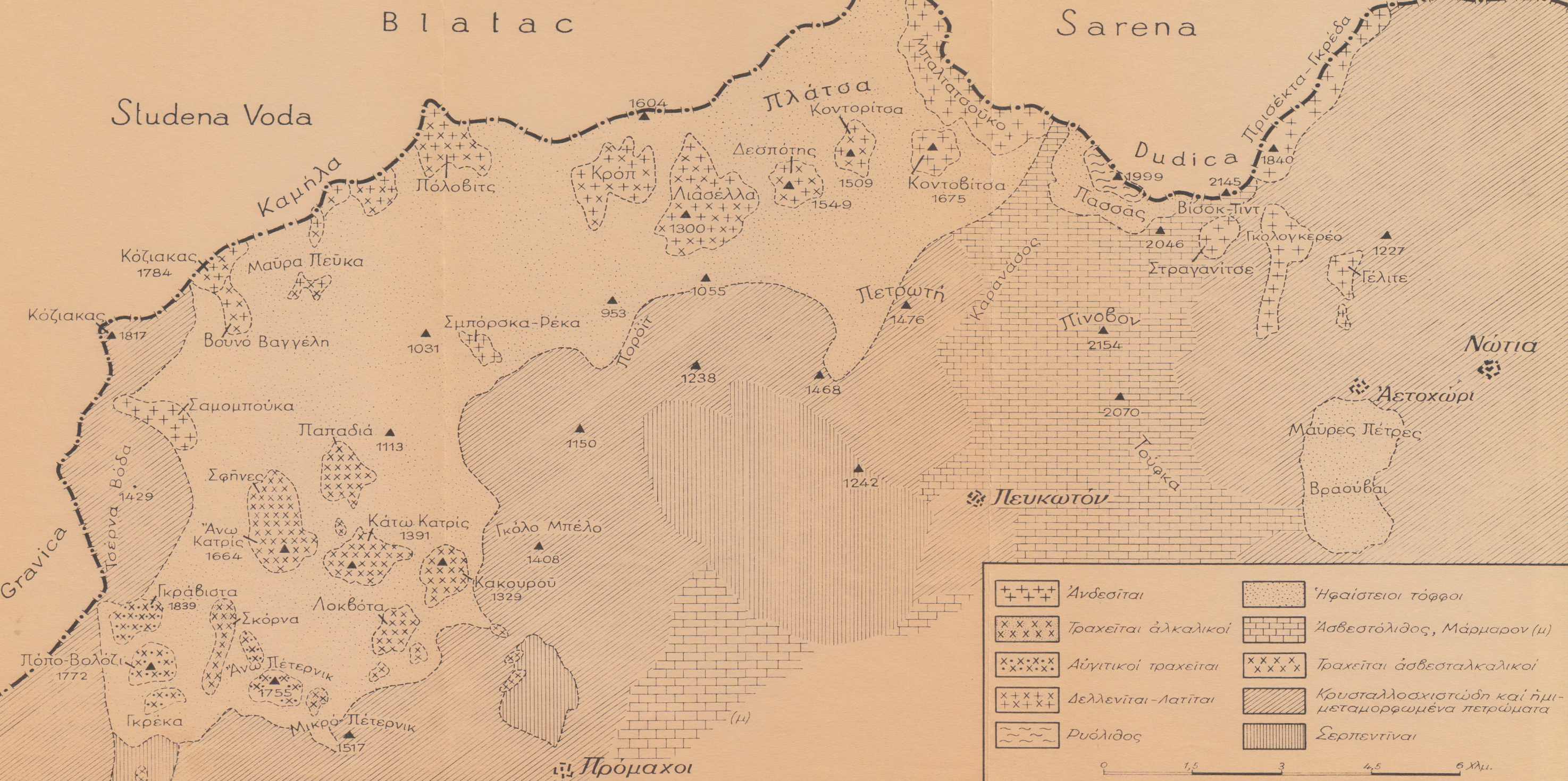


Eik. 3



Eik. 4

ΓΙΟΥΓΚΟΣΛΑΒΙΑ



ΤΥΠΟΙΣ : Μ. ΤΡΙΑΝΤΑΦΥΛΛΟΥ ΥΙΟΙ ΘΕΣΣΑΛΟΝΙΚΗ